



**HAL**  
open science

# Expérimentation des méthodes itératives de Newton et Gauss-Seidel en variables discrètes

Ze Qu Jiang

► **To cite this version:**

Ze Qu Jiang. Expérimentation des méthodes itératives de Newton et Gauss-Seidel en variables discrètes. Modélisation et simulation. Université Joseph-Fourier - Grenoble I, 1982. Français. NNT : . tel-00300405

**HAL Id: tel-00300405**

**<https://theses.hal.science/tel-00300405>**

Submitted on 18 Jul 2008

**HAL** is a multi-disciplinary open access archive for the deposit and dissemination of scientific research documents, whether they are published or not. The documents may come from teaching and research institutions in France or abroad, or from public or private research centers.

L'archive ouverte pluridisciplinaire **HAL**, est destinée au dépôt et à la diffusion de documents scientifiques de niveau recherche, publiés ou non, émanant des établissements d'enseignement et de recherche français ou étrangers, des laboratoires publics ou privés.

# THESE

*présentée à*

**l'Université Scientifique et Médicale de Grenoble**

*pour obtenir le grade de*

**DOCTEUR DE L'UNIVERSITE**

**Mathématiques Appliquées  
(Analyse numérique)**

*par*

**Ze Qu JIANG**



**EXPERIMENTATION DES METHODES ITERATIVES  
DE NEWTON ET GAUSS-SEIDEL  
EN VARIABLES DISCRETES**



**Thèse soutenue le 31 mars 1982 devant la Commission d'Examen :**

**Monsieur N. GASTINEL : Président**

**Messieurs C. BENZAKEN  
E. GOLES  
F. ROBERT  
M. SOUTIF**

**Examineurs**



Stagiaire chinois n'ayant au départ aucune expérience de la vie et du travail à l'étranger, je suis très reconnaissant à F. ROBERT de m'avoir chaleureusement accueilli et proposé un sujet de recherche : itérations discrètes, qui m'intéresse beaucoup. D'ailleurs, au cours de mon travail, j'ai été constamment soutenu par ses conseils et suggestions qui m'étaient indispensables.

Je suis très heureux d'avoir appris que M. N. GASTINEL avait accepté d'être le président de mon jury, ainsi que M. M. SOUTIF, M. C. BENZAKEN, M. F. ROBERT et M. E. GOLES seraient membres de ce jury.

Je remercie vivement M. A. EBERHARD et M<sup>elle</sup> C. DICRESCENZO de m'avoir donné beaucoup d'assistance au cours de mon apprentissage de l'utilisation de l'ordinateur.

Je voudrais aussi remercier M<sup>me</sup> Cl. MEYRIEUX d'avoir pris des soins pour la frappe et la réalisation de ce travail ainsi que pour les autres choses concernant mon stage à l'équipe d'analyse numérique.

Je voudrais encore remercier tous mes collègues qui m'ont aidé et qui m'ont exprimé la gentillesse et l'amitié.

Z. JIANG



# T A B L E   D E S   M A T I E R E S

	page
INTRODUCTION	
CHAPITRE 1 : MÉTHODES DE NEWTON	
I.1. Contexte et matériel nécessaires.....	1
I.1.1. Contexte et opérations.....	1
I.1.2. Voisinage.....	2
I.1.3. Convergence.....	2
I.2. Dérivée et dérivation de fonctions dans $\mathbb{Z}/p$ .....	3
I.2.1. Définitions de dérivées.....	3
I.2.2. Exemples de dérivées diverses.....	5
I.2.3. Dérivation de fonctions dans $\mathbb{Z}/p$ .....	6
I.2.4. Exemples de dérivation.....	8
I.3. Méthodes itératives de Newton.....	10
I.3.1. Méthode de Newton simplifiée.....	11
I.3.2. Méthode de Newton standard.....	11
I.3.3. Une méthode pour résoudre le système linéaire (3).....	12
I.4. Le comportement itératif de Newton pour $F(x)$ donné arbitrairement.....	16
I.4.1. Newton simplifiée.....	16
(i) Configuration du graphe itératif.....	16
(ii) Convergence locale.....	18
I.4.2. Newton standard.....	19
(i) Configuration du graphe itératif.....	19
(ii) Convergence locale.....	21
(iii) Cas de singularité.....	23

I.5.	Le comportement itératif de Newton pour $F(x)$ donné par des expressions polynomiales.....	26
I.5.1.	$F(x)$ linéaire.....	26
I.5.2.	$F(x)$ presque linéaire.....	27
I.5.3.	$F(x)$ quadratique homogène.....	27
I.5.4.	$F(x)$ quadratique générale.....	29
I.5.5.	$F(x)$ ayant des composantes identiques.....	29
I.5.6.	Symétries sur certaines sortes de fonctions	30
I.5.7.	Une série de $F_n(x)$ ayant la structure analogue.....	32
I.5.8.	$F(x) : (\mathbb{Z}/p)^n \longrightarrow (\mathbb{Z}/p)^n$ avec $n$ ou $p$ assez grand.....	33

## CHAPITRE 2 : MÉTHODE DE GAUSS-SEIDEL

II.1.	Préparations nécessaires.....	36
II.2.	Les éléments propres dans $(\mathbb{Z}/2)^n$ .....	37
II.3.	Le comportement itératif de Gauss-Seidel pour $F(x)$ donnée arbitrairement.....	40
II.3.1.	Configuration du graphe d'itération.....	40
II.3.2.	Convergence locale.....	42
II.4.	Le comportement itératif de Gauss-Seidel pour $F(x)$ donnée par des expressions polynomiales.....	45
II.4.1.	Les composantes de $F(x)$ ayant la forme triangulaire inférieure par rapport aux variables.....	45
II.4.2.	$F(x)$ obtenue par permutation des composantes de $F(x)$ .....	46
II.4.3.	$F(x) : (\mathbb{Z}/p)^n \longrightarrow (\mathbb{Z}/p)^n$ avec $p^n$ assez grand.....	47

## CHAPITRE 3 : COMPARAISONS DES MÉTHODES

III.1. Comparaison des configurations.....	50
III.2. Comparaison des convergences.....	51
III.3. Indications pratiques.....	54
III.4. Comparaison des temps de calcul.....	55
III.5. Conclusion.....	56
ANNEXE 1 Algorithmes et programmes	59
ANNEXE 2 Quelques tableaux théoriques et expérimentaux	64
ANNEXE 3 Collections des figures	70
RÉFÉRENCES.	99



## I N T R O D U C T I O N

Le comportement d'itérations dans un cadre discret avec une notion de convergence stationnaire provenant d'un outil métrique a été étudié par F. Robert qui l'a rédigé dans son polycopié "Itérations discrètes" [1]. Il s'agit d'une transposition dans un contexte discret de résultats classiques d'analyse d'itérations dans le cadre continu.

Voilà la raison qui m'a attirée de me consacrer à ce sujet que j'entrepris en démarrant par la réalisation de la méthode de Newton dans  $(\mathbb{Z}/2)^n$  à la fois simplifiée et standard.

Ce travail se consiste principalement en deux parties : le procédé d'itération et la résolution d'un système d'équations ayant la variable  $X$  dans  $(\mathbb{Z}/2)^n$  et la fonction  $F(x)$  donnée soit par une table, soit par des expressions polynomiales.

Ayant recours aux méthodes usuelles, j'ai obtenu un algorithme qui peut être utilisé pour  $n$  étant petit ainsi que pour  $n$  assez grand (par exemple,  $n = 20$ , dans ce cas, pensons que le nombre des éléments dans  $(\mathbb{Z}/2)^n$  dépasse un million  $\dagger$  ( $2^{20} = 1048576$ )) et qui se trouve en annexe 1.

Pour qu'on puisse effectuer l'itération de Newton dans  $(\mathbb{Z}/p)^n$ , ( $p$  premier) j'ai étendu l'application de mon algorithme qui enfin devient principalement utilisable pour  $p$  et  $n$  quelconques, et qui nous permet d'expérimenter beaucoup d'exemples et d'examiner des propriétés diverses en relation avec l'étude théorique de la méthode faite par Melle. S. EL BERNOUSSI [3].

Tous ce qui concerne la méthode de Newton se trouve dans le premier chapitre où on peut aussi trouver quelques préparations nécessaires, une méthode pour résoudre un système d'équations linéaires dans  $(\mathbb{Z}/p)^n$  et quelques idées sur le calcul de dérivée discrète dans  $(\mathbb{Z}/p)^n$ .

Pour bien comparer, je transpose une méthode de Gauss-Seidel dans  $(\mathbb{Z}/p)^n$  et fournis quelques résultats obtenus qui se trouvent dans le deuxième chapitre où on peut aussi trouver quelques notions sur les éléments propres d'une matrice à éléments dans  $\mathbb{Z}/2$ .

A la fin, les comparaisons de ces trois méthodes et la conclusion se trouvent dans le troisième chapitre.

Le principal but de mon travail consiste non seulement à présenter l'expérimentation de certaines méthodes d'itérations discrètes et l'analyse des résultats divers, mais à révéler les problèmes et les difficultés qui existent à la fois théoriquement et expérimentalement dans ces méthodes afin d'attirer l'attention pour les résoudre.

D'après un proverbe chinois qui dit :

*" D'un petit flacon sortira une jarre de vin "*

je serais très heureux si ce que j'ai fait est de valeur utile même si petite pour les grands succès d'autrui dans ce domaine.

A cause de la limitation de mes connaissances, ainsi que des difficultés de la langue, je prie d'excuser les problèmes et les fautes qui existent certainement dans le texte qui suit.

2. JIANG

*Effectivement, nous avons jugé bien préférable de conserver tout son arôme à la syntaxe utilisée par Monsieur JIANG !*

P. ROBERT

## C H A P I T R E I

### MÉTHODES DE NEWTON

Rappelons, dans le contexte d'itérations sur  $\mathbb{R}^n$ , la méthode itérative de Newton :  $x^{r+1} = x^r - A_r^{-1} F(x^r)$  pour la recherche d'une racine  $a$  de l'application  $F$  donnée de  $\mathbb{R}^n$  dans  $\mathbb{R}^n$  ( $F(a) = 0$ ).

Si l'on prend pour  $A_r$  une matrice constante non singulière, on obtient la méthode dite Newton-simplifiée ; si  $A_r = F'(x^r)$ , la méthode est appelée celle de Newton-standard qui est très usuelle et fondamentale, au point de vue à la fois expérimental et théorique (référence [2]). A partir de là une idée s'est produite : est-ce possible de transposer ces méthodes dans le contexte de variables discrètes, par exemple dans  $(\mathbb{Z}/p)^n$  (au lieu de  $\mathbb{R}^n$ ) ? A l'aide de la notion de dérivée discrète et des opérations dans  $\mathbb{Z}/p$ , cette transposition est devenue possible :

#### I.1. LE CONTEXTE ET LE MATERIEL NECESSAIRE

##### I.1.1. CONTEXTE ET OPERATIONS

Soit  $X = \{ x \mid x = (x_1, \dots, x_n)^T \} = (\mathbb{Z}/p)^n$

avec  $x_i \in \mathbb{Z}/p = \{ 0, 1, \dots, p-1 \}$  ( $i=1, \dots, n$  ;  $p$  premier)

et  $F$  une application de  $(\mathbb{Z}/p)^n$  dans  $(\mathbb{Z}/p)^n$  (cf [6]). On notera  $f_i$  les composantes de  $F$ , de sorte que la relation  $y = F(x)$  s'écrit

$$y_i = f_i(x_1, \dots, x_n) \text{ avec } x_j \in \mathbb{Z}/p, i=1, 2, \dots, n, y_i \in \mathbb{Z}/p.$$

On rappelle que pour  $a$  et  $b$  dans  $\mathbb{Z}/p$  on utilise les opérations suivantes :

addition  $\oplus$  dans  $Z/p$  :  $a \oplus b = \begin{cases} a+b & \text{si } a+b < p \\ a+b-p & \text{sinon} \end{cases}$

soustraction  $\ominus$  :  $a \ominus b = \begin{cases} a-b & \text{si } a \geq b \\ p+a-b & \text{sinon} \end{cases}$

multiplication  $\otimes$  :  $a \otimes b = r$ ,  $r$  vérifiant  $ab = p.q+r$   
avec  $q \in \{0,1,\dots\} = \mathbb{N}$   
+ - . sont dans les sens habituels.

Avec  $\oplus$ ,  $\ominus$ ,  $\otimes$  on peut aussi définir les opérations de matrice et de vecteurs dont les éléments ou les composantes sont dans  $Z/p$ .

### I.1.2. VOISINAGE

Le voisinage immédiat d'un point  $x \in (Z/2)^n$  est l'ensemble noté  $V_x$ , des points de la forme :  $\bar{x}^j = x \oplus e_j$  ( $j = 1, 2, \dots, n$ ) (où  $e_j \equiv (0, \dots, \underset{j}{1}, \dots, 0)^T \in (Z/2)^n$ ),  $x^j$  est le  $j$ ème voisin de  $x$ .

#### DEFINITION

Dans  $(Z/p)^n$ , ( $p > 2$ ), l'ensemble des points  $V_d = \{\bar{x}^j | \bar{x}^j = x \oplus e_j\}$  seront appelé le voisinage à droite de  $x$ .

De même  $V_g = \{\bar{x}^j | \bar{x}^j = x \ominus e_j\}$  serait appelé le voisinage à gauche de  $x$ ,  $\forall x \in (Z/p)^n$ ,  $j = 1, 2, \dots, n$ .

#### REMARQUE

Puisque dans  $(Z/2)^n$ , l'opération  $\oplus$  est identique à  $\ominus$ ,  
On a  $V_x \equiv V_d \equiv V_g$  pour tout  $x \in (Z/2)^n$ .

### I.1.3. CONVERGENCE

#### DEFINITION

Une suite de points dans  $(Z/p)^n$ ,  $x^0, x^1, \dots, x^r, \dots$  sera dite convergente vers un point  $\xi \in (Z/p)^n$ , s'il existe un entier naturel  $m$  tel qu'à partir du point  $x^m$ ,  $x^m = \xi$  (convergence stationnaire en  $\xi$ ).

REMARQUE

Si cette suite est engendrée par une itération  $x^{r+1} = F(x^r)$  démarrant d'un point de départ  $x^0$  quelconque dans  $(Z/p)^n$ , on dira que cette itération est convergente. Ce  $\xi$  bien entendu est alors un point fixe de  $F$ .

DEFINITION

On dira qu'une itération a une convergence globale, si elle atteint le même (unique) point fixe en démarrant de tout point de  $(Z/p)^n$  pour point initial  $x^0$ . Quant à la convergence locale on emprunte une définition de [1] :

DEFINITION

Soit  $\xi = F(\xi)$  un point fixe de  $F$ , dans  $(Z/p)^n$ , sera dit attractif dans un voisinage  $V_\xi$  de  $\xi$  si les deux conditions suivantes sont réalisées :

- a)  $F(V_\xi) \subset V_\xi$
- b) pour tout  $x^0$  pris dans  $V_\xi$ , l'itération  $x^{n+1} = F(x^n)$ , finit par stationner en  $\xi$  au bout d'au plus  $n$  pas.

Si  $p > 2$ ,  $V_\xi$  peut être soit le voisinage à droite, soit celui à gauche de  $\xi$ .

1.2. DERIVEE ET DERIVATION DE FONCTION DANS  $Z/p$

1.2.1. DEFINITION DE DERIVEE

DEFINITION 1

$\frac{\partial f(x)}{\partial x_j}$  sera appelée dérivée partielle (en la variable  $x_j$ ) d'une fonction  $f(x) \equiv f(x_1, \dots, x_j, \dots, x_n) : (Z/p)^n \rightarrow Z/p$ , avec par définition si  $\frac{\partial f(x)}{\partial x_j} = f(x \oplus e_j) \ominus f(x) \equiv f(x_1, \dots, x_j \oplus 1, \dots, x_n) \ominus f(x_1, \dots, x_j, \dots, x_n)$ , ( $x_j \in Z/p$ ,  $j=1, \dots, n$ ).

DEFINITION 2

Dans la définition précédente, si  $p > 2$ , on appellera pour cette dérivée partielle, la dérivée à droite, notée  $\frac{\partial f(X)}{\partial x_j} \Big|_d \equiv A$ , si l'on remplace dans la définition 1  $x \ominus e_j$  par  $x \ominus e_j$ , ainsi que  $x_j \ominus 1$  par  $x_j \ominus 1$ , on appellera la dérivée à gauche, notée  $\frac{\partial f(X)}{\partial x_j} \Big|_g \equiv B = f(x) - f(x \ominus e_j)$ .

DEFINITION 3

Une matrice  $(n, n)$  dont les éléments appartiennent à  $Z/p$  sera dite la matrice de dérivée en  $x$  notée  $F'(x)$  d'une fonction vectorielle

$F(x) \equiv F(x_1, \dots, x_j, \dots, x_n) : (Z/p)^n \rightarrow (Z/p)^n$ , si son jème vecteur colonne  $\Delta_j = F(x \ominus e_j) \ominus F(x)$ , pour tout  $j=1, \dots, n$ .

De la même façon que la définition 1 et 2 on a par analogie, la

DEFINITION 4

Pour  $p > 2$ , dans la définition, on appellera :

la matrice de dérivée à droite, si  $\Delta_j = F(x \ominus e_j) \ominus F(x)$  ;

la matrice de dérivée à gauche, si  $\Delta_j = F(x) \ominus F(x \ominus e_j)$ .

REMARQUE

Nous présenterons ici deux formules utiles :

Soit  $a$  une racine de  $F(x)$  dans  $(Z/p)^n$ , ( $F(a) = 0$ ) ;  
 $\bar{x}^0 \in V_d(a)$  ;  $x^0 \in V_g(a)$  ( $\bar{x}^0 - a = e_j$  ;  $a - x^0 = e_j$ )

Alors, on a selon la définition 4 :

$$F(\bar{x}^0) = F'_d(a) \otimes (\bar{x}^0 \ominus a) = F'_d(a) \otimes e_j, \dots, (\alpha) ;$$

$$F(x^0) = F'_g(a) \otimes (a \ominus x^0) = F'_g(a) \otimes e_j ; \quad (\beta)$$

$$\text{En général } F(x^r \ominus e_j) \ominus F(x^r) = F'_d(x^r) \otimes e_j ; \quad (\alpha')$$

$$F'(\bar{x}^r \ominus e_j) \ominus F(\bar{x}^r) = F'_g(\bar{x}^r) \otimes e_j ; \quad (\beta')$$

1.2.2. EXEMPLES DE DERIVEES DIVERSES

1  $f(X) : (\mathbb{Z}/2)^2 \rightarrow \mathbb{Z}/2$  donnée par une table

X	f(X)		
a	0	0	0
b	0	1	0
c	1	0	1
d	1	1	1

$$\frac{\partial f(a)}{\partial X_1} = f(c) \ominus f(a) = 1$$

$$\frac{\partial f(a)}{\partial X_2} = f(b) \ominus f(a) = 0$$

2  $f(X) : (\mathbb{Z}/3)$   $\mathbb{Z}/3$ , donnée par une table

X	f(X)		
a	0	0	1
b	0	1	0
c	0	2	1
d	1	0	2
e	1	1	0
f	1	2	0
g	2	0	1
h	2	1	2
i	2	2	1

$$\frac{\partial f(a)}{\partial X_1} \Big|_d = f(d) \ominus f(a) = 1$$

$$\frac{\partial f(a)}{\partial X_1} \Big|_g = f(g) \ominus f(a) = 0$$

$$\frac{\partial f(a)}{\partial X_2} \Big|_d = f(b) \ominus f(a) = 2$$

$$\frac{\partial f(a)}{\partial X_2} \Big|_g = f(c) \ominus f(a) = 0$$

3  $F(X) : (\mathbb{Z}/2)^2 \rightarrow (\mathbb{Z}/2)$  ; donnée par sa table

X	F(X)		
0	0	0	1
0	1	0	0
1	0	1	0
1	1	1	1

$$F'(a) = \begin{pmatrix} 1 & 0 \\ 1 & 1 \end{pmatrix}$$

$$F'(d) = \begin{pmatrix} 1 & 0 \\ 1 & 1 \end{pmatrix}$$

4       $F(X) : (Z/3)^n \times (Z/3)^n$ , donnée par sa table

X			F(X)	
a	0	0	1	2
b	0	1	0	0
c	0	2	1	0
d	1	0	2	1
e	1	1	0	2
f	1	2	0	1
g	2	0	1	0
h	2	1	2	1
i	2	2	1	1

$$F'_d(a) = \begin{pmatrix} 1 & 2 \\ 2 & 1 \end{pmatrix}, F'_g(a) = \begin{pmatrix} 0 & 0 \\ 1 & 1 \end{pmatrix}$$

$$F'_d(d) = \begin{pmatrix} 2 & 1 \\ 2 & 1 \end{pmatrix}, F'_g(d) = \begin{pmatrix} 2 & 1 \\ 1 & 0 \end{pmatrix}$$

### I.2.3. DERIVATION DE FONCTION DANS $Z/p$

L'obligation de suivre les définitions des dérivées pour les dérivation nous amène a se demander si la dérivation peut être effectuée selon des règles usuelles pour  $f(x) : (Z/p)^n \rightarrow (Z/p)$  donnée par un polynôme.

#### PROPRIETE 1 : Formules de dérivation dans $Z/2$

Etant donné  $f(x) : (Z/2)^n \rightarrow Z/2$ , on a des règles de base :

a)  $\frac{\partial f(X)}{\partial X_j} = 0$ , pour tout  $j=1, \dots, n$ , ssi  $f(x) = C$  (constante  $\in Z/2$ )

b)  $\frac{\partial f(X)}{\partial X_{ij}} = \prod_{\substack{\ell=1 \\ \ell \neq j}}^k x_{i_\ell}$ , si  $f(X) = \prod_{\ell=1}^k x_{i_\ell}$  ( $1 \leq i_\ell \leq n$ ,  $1 \leq k \leq n$ ,  $1 \leq j \leq k$ )

( $\prod$  étant le produit dans  $Z/2$ )

Il est facile de les prouver.

En outre, on en a encore deux concernant deux fonctions (polynômes)

c)  $\frac{\partial (f_1(X) \oplus f_2(X))}{\partial X_j} = \frac{\partial f_1(X)}{\partial X_j} \oplus \frac{\partial f_2(X)}{\partial X_j}$

d)  $\frac{\partial (f_1(X) \otimes f_2(X))}{\partial X_j} = \frac{\partial f_1(X)}{\partial X_j} \otimes f_2(X \oplus e_j) \oplus \frac{\partial f_2(X)}{\partial X_j} \otimes f_1(X)$   
 $= \frac{\partial f_2(X)}{\partial X_j} \otimes f_1(X \oplus e_j) \oplus \frac{\partial f_1(X)}{\partial X_j} \otimes f_2(X)$

Pour prouver d). On a selon la définition :

$$\begin{aligned} \frac{\partial (f_1(x) \otimes f_2(x))}{\partial X_j} &= f_1(x \otimes e_j) \otimes f_2(x \otimes e_j) \otimes f_1(x) \otimes f_2(x) \\ &= \{ [f_1(x \otimes e_j) \otimes f_2(x \otimes e_j)] \otimes [f_1(x) \otimes f_2(x \otimes e_j)] \} \otimes \\ &\quad \{ [f_1(x) \otimes f_2(x \otimes e_j)] \otimes [f_1(x) \otimes f_2(x)] \} \\ &= f_2(x \otimes e_j) \otimes \frac{\partial f_1(x)}{\partial X_j} \otimes f_1(x) \otimes \frac{\partial f_2(x)}{\partial X_j}. \end{aligned}$$

Pour obtenir la 2ème égalité de d , il suffit qu'on change les positions de  $f_1(x)$  et  $f_2(x)$ .

### REMARQUE

Il n'est que d, qui diffère un peu de la dérivation usuelle. Soit  $F(x) = (f_1(x), \dots, f_n(x))^T$  dont  $f_i(x) : (Z/2)^n \rightarrow Z/2$  sont des polynômes, alors  $F'(x)$  peut se donner d'après les dérivées partielles de  $f_i(x)$  de la façon usuelle :

$$F'(x) = \left( \frac{\partial f_i(x)}{\partial X_j} \right).$$

### PROPRIETE 2

Formule de dérivation dans  $Z/p$  . ( $p > 2$  , premier)

Etant donné  $f(x) : (Z/p)^n \rightarrow Z/p$  , Notons que

$$A = \left. \frac{\partial f(x)}{\partial X_j} \right|_d, \quad B = \left. \frac{\partial f(x)}{\partial X_j} \right|_g, \quad \text{alors on a les formules suivantes :}$$

a')  $A = B = 0$  , pour tout  $j=1, \dots, n$  , ssi  $f(x) = C$  (constante de  $Z/p$ )

$$b') A = B = C \prod_{\substack{\ell=1 \\ \ell \neq j}}^K x_{i_\ell}, \quad \text{si } f(x) = C \prod_{\ell=1}^K x_{i_\ell}$$

$$(1 \leq i_\ell \leq n, \quad 1 \leq K \leq n, \quad 1 \leq j \leq K)$$

(la droite de l'égalité étant le produit dans  $Z/p$ )

c')  $A = A_1 \otimes A'_2$  ,  $B = B_1 \otimes B_2$  , si  $f(x) = f_1(x) \otimes f_2(x)$

$$A_i = \left. \frac{\partial f_i(x)}{\partial X_j} \right|_d, \quad B_i = \left. \frac{\partial f_i(x)}{\partial X_j} \right|_g \quad (i=1, 2)$$

$$d') \quad A = A_1 \otimes f_2(x \otimes e_j) \otimes f_1(x) \otimes A_2 = A_2 \otimes f_1(x \otimes e_j) \otimes f_2(x) \otimes A_1$$

$$B = B_1 \otimes f_2(x \otimes e_j) \otimes f_1(x) \otimes B_2 = B_2 \otimes f_1(x \otimes e_j) \otimes f_2(x) \otimes B_1$$

Si  $f(x) = f_1(x) \otimes f_2(x)$ .

Pour la dérivation de puissance :  $x_j^m$ ,  $2 \leq m \leq p-1$ )

e) Si  $f(x) = x_j^m$ , alors  $A = [x_j \otimes 1]^m \otimes x_j^m$  ;

$$B = x_j^m \otimes [x_j \otimes 1]^m .$$

Soit une fonction vectorielle dans  $(Z/P)^n$ ,  
 $F(x) = (f_1(x), \dots, f_n(x))^T$  dont  $f_i(x) : (Z/P)^n \rightarrow Z/p$  sont des polynômes, alors les matrices de dérivée :  $F'_d(x)$ , celle à droite ;  $F'_g(x)$  celle à gauche peuvent se donner d'après les dérivées respectives de  $f_i(x)$ , ou bien

$$F'_d(x) = \left( \frac{\partial f_i(x)}{\partial X_j} \Big|_d \right) , \quad F'_g(x) = \left( \frac{\partial f_i(x)}{\partial X_j} \Big|_g \right) .$$

Ce qui suit sont des exemples sur les matrices de dérivée d'une fonction  $F(x)$  donnée par des polynômes dans  $(Z/p)^n$ .

#### I.2.4. EXEMPLES DE DERIVATIONS

(Ici, on remplace  $\otimes$ ,  $\theta$ ,  $\otimes$  par +, -, . pour simplifier les écritures).

1.  $p=2$ ,  $n=3$

$$F(x) = \begin{cases} f_1 = (1-x_1)(1-x_2) + x_2 x_3 \\ f_2 = (1-x_1)(1-x_2) + x_1(1-x_3) \\ f_3 = (1-x_2)(1-x_3) + x_1(1-x_2) \end{cases}$$

étant équivalente à une table.

x	F(x)				
0	0	0	1	1	1
0	0	1	1	1	0
0	1	0	0	0	0
0	1	1	1	0	0
1	0	0	0	1	0
1	0	1	0	0	1
1	1	0	0	1	0
1	1	1	1	0	0

Selon les règles précédentes, on obtient la matrice de dérivée notée

$$F'_1(x) = \begin{pmatrix} x_2^{-1} & x_1 + x_3^{-1} & x_2 \\ x_2^{-x_3} & x_1^{-1} & -x_1 \\ 1-x_2 & x_3^{-x_1-1} & x_2^{-1} \end{pmatrix}$$

A l'autre aspect, on peut l'obtenir selon la table, notée  $F'_2(x)$ , Après un travail laborieux, on vérifie que :

$$F'_1(a) = \begin{pmatrix} 1 & 1 & 0 \\ 0 & 1 & 0 \\ 1 & 1 & 1 \end{pmatrix} = F'_2(a) ; F'_1(e) = \begin{pmatrix} 1 & 0 & 0 \\ 0 & 0 & 1 \\ 1 & 0 & 1 \end{pmatrix} = F'_2(e), \dots$$

$$\dots, F'_1(h) = \begin{pmatrix} 0 & 1 & 1 \\ 0 & 0 & 1 \\ 0 & 1 & 0 \end{pmatrix} = F'_2(h)$$

2.  $p=3, n=2$

$$F(x) = \begin{cases} f_1 = x_1^2 + x_1 x_2 + 1 \\ f_2 = x_1 + x_2^2 - x_1 x_2 \end{cases}$$

x	F(x)			
a	0	0	1	0
b	0	1	1	1
c	0	2	1	1
d	1	0	2	1
e	1	1	0	1
f	1	2	1	0
g	2	0	2	2
h	2	1	1	1
i	2	2	0	2

Selon les règles précédentes, on obtient les matrices de dérivées suivantes :

$$F'_{d_1}(x) = \begin{pmatrix} 2x_1 + x_2 + 1 & x_1 \\ 1 - x_2 & 2x_2 - x_1 + 1 \end{pmatrix}$$

$$F'_{g_1}(x) = \begin{pmatrix} 2x_1 + x_2 - 1 & x_1 \\ 1 - x_2 & 2x_2 - x_1 - 1 \end{pmatrix}$$

A l'autre aspect, on peut les obtenir, selon la table, notées  $F'_{d_2}(x)$  et  $F'_{g_2}(x)$ , alors on a :

$$F'_{d_1}(a) = \begin{pmatrix} 1 & 0 \\ 1 & 1 \end{pmatrix} = F'_{d_2}(a) \quad ; \quad F'_{g_1}(a) = \begin{pmatrix} 2 & 0 \\ 1 & 2 \end{pmatrix} = F'_{g_2}(a)$$

$$F'_{d_1}(b) = \begin{pmatrix} 2 & 0 \\ 0 & 0 \end{pmatrix} = F'_{d_2}(a) \quad ; \quad F'_{g_1}(b) = \begin{pmatrix} 0 & 0 \\ 0 & 1 \end{pmatrix} = F'_{g_2}(a)$$

. . . .

$$F'_{d_1}(i) = \begin{pmatrix} 1 & 2 \\ 2 & 0 \end{pmatrix} = F'_{d_2}(i) \quad ; \quad F'_{g_1}(i) = \begin{pmatrix} 2 & 2 \\ 2 & 1 \end{pmatrix} = F'_{g_2}(i)$$

### I.3. METHODES ITERATIVES DE NEWTON.

Soit  $F$  une application de  $(Z/p)^n$  dans  $(Z/p)^n$ , pour laquelle on cherche une racine  $a$  dans  $(Z/p)^n$  :  $F(a) = 0$ .

On transposera la méthode générale de Newton (référence [ 2 ]) de la façon suivante : on se donne une suite de matrices  $A_r$  ( $n, n$ ) à éléments dans  $Z/p$ , un vecteur initial  $x^0$  dans  $(Z/p)^n$  et l'on définit la suite  $x^0, x^1, \dots, x^r, \dots$ , de la façon suivante :  $x^r$  état connu, on calcule  $F(x^r)$  et  $A_r$ .

On résoud, si possible, le système linéaire

$$(1) \quad \begin{cases} A_r \theta z = F(x^r) & (1') \\ \text{et l'on pose } x^{r+1} = x^r \theta z & (1'') \end{cases}$$

Selon le choix de  $A_r$ , on obtiendra différentes méthodes dont voici les deux plus courantes :

### 1.3.1. METHODE DE NEWTON SIMPLIFIEE

Dans le système (1) , si  $A_r$  est à la fois constante et non singulière, on note  $A_r = A$  indépendant à la fois de  $x$  et de  $\gamma$  , on appellera la méthode de Newton simplifiée, (1) peut devenir une seule formule suivante :

$$x^{r+1} = x^r \ominus A^{-1} \otimes F(x^r) \dots (2)$$

$A^{-1}$  étant l'inverse de  $A$  (  $A \otimes A^{-1} = A^{-1} \otimes A = I$  )

#### REMARQUE 1

Evidemment pour que  $a$  soit une racine de la fonction  $F(x)$  dans  $(Z/p)^n$  , ( $F(a) = 0$ ), il faut et il suffit que  $a$  soit un point fixe de l'itération (2).

#### REMARQUE 2

Si nous posons  $N(x) = x \ominus A^{-1} \otimes F(x)$  , l'itération de Newton simplifiée est la méthode d'approximations successives (itération parallèle),  $x^{r+1} = N(x^r)$  , ( $r=0,1,2,\dots$ ).

Particulièrement, si on prend  $A = I$  , on obtiendra la forme la plus simple de (2) :  $x^{r+1} = x^r \ominus F(x^r)$  itération destiné à résoudre l'équation  $F(x) = 0$ .

La réalisation de cette méthode est si simple qu'il n'en est rien à dire. Le comportement de l'itération sera décrit plus loin.

### 1.3.2. METHODE DE NEWTON STANDARD.

Dans le système (1) , si  $A_r = F'(x^r)$  , (1) deviendra

$$(3) \quad \begin{cases} F'(x^r) \otimes z = F(x^r) & (3') \\ x^{r+1} = x^r \ominus z & (3'') \end{cases}$$

On appelle (3) la méthode de Newton-Standard.

REMARQUE 3

Bien entendu  $F'(x^r)$  peut être la dérivée à droite  $F'_d(x^r)$  ou la dérivée à gauche  $F'_g(x^r)$ . En raison de la similitude de ces deux dérivées j'ai effectué mes exemples toujours avec  $F'_d(x^r)$ .

REMARQUE 4

Si  $F'(x^r)$  est régulière, le système (3) sera résoluble de façon unique ; dans ce cas, on pourrait écrire (3) sous la forme suivante :

$$x^{r+1} = x^r \theta [F'(x^r)]^{-1} F(x^r)$$

Si  $F'(x^r)$  est singulière, dans ce cas, l'existence de solution de (3) dépend de la cohérence de  $R[F'(x^r)]$  et  $R[\bar{F}'(x^r)]$  qui sont les rangs de  $F'(x^r)$  et de  $\bar{F}'(x^r)$  respectivement où  $\bar{F}'(x^r)$  étant matrice  $(n, n+1)$  est constitué par  $F'(x^r)$  en ajoutant  $F(x^r)$  comme son dernier vecteur colonne.

REMARQUE 5

La réalisation de cette méthode est présentée dans mon algorithme qui se trouve à l'annexe 1. J'utilise souvent un procédé avec lequel lorsqu'un point fait sa parution de nouveau, l'itération doit reprendre un nouveau point de départ (pour éviter procéder infiniment) ainsi de suite jusqu'à ce que l'itération totale dans  $(Z/p)^n$  soit obtenue.

I.3.3. UNE METHODE POUR RESOUDRE LE SYSTEME LINEAIRE (3).

Dans le contexte de variable continues, la méthode de Gauss est très usuelle grâce à son économie et à sa stabilité. Nous allons adapter cette méthode au cas des variables discrètes (système linéaire dans  $(Z/p)^n$ ).

1. Introduction

Ce qui suit nous montre brièvement quelques exemples typiques

avec  $p=n=3$ .

$$1^\circ \quad \begin{array}{c} F'(x^r) \\ \left| \begin{array}{cccc} 0 & 2 & 0 & 1 \\ 1 & 1 & 2 & 0 \\ 2 & 1 & 2 & 2 \end{array} \right| \end{array} \xrightarrow{\textcircled{3} \ominus 2 \textcircled{1} \textcircled{2}} \begin{array}{c} F(x^r) \\ \left| \begin{array}{cccc} 0 & 2 & 0 & 1 \\ 1 & 1 & 2 & 0 \\ 0 & 2 & 1 & 2 \end{array} \right| \end{array} \xrightarrow{\textcircled{1} \oplus \textcircled{2}} \begin{array}{c} \left| \begin{array}{cccc} 0 & 1 & 0 & 2 \\ 1 & 1 & 2 & 0 \\ 0 & 2 & 1 & 2 \end{array} \right| \end{array} \xrightarrow{\textcircled{2} \ominus \textcircled{1}}$$

$$\xrightarrow{\textcircled{3} \ominus 2 \textcircled{1} \textcircled{2}} \begin{array}{c} \left| \begin{array}{cccc} 0 & 1 & 0 & 2 \\ 1 & 0 & 2 & 1 \\ 0 & 0 & 1 & 1 \end{array} \right| \end{array} \xrightarrow{\textcircled{2} \oplus 2 \textcircled{3}} \begin{array}{c} \left| \begin{array}{cccc} 0 & 1 & 0 & 2 \\ 1 & 0 & 0 & 2 \\ 0 & 0 & 1 & 1 \end{array} \right| \end{array} \quad \text{d'où } z = \begin{pmatrix} 2 \\ 2 \\ 1 \end{pmatrix}$$

$$2^\circ \quad \begin{array}{c} \left| \begin{array}{cccc} 0 & 2 & 0 & 1 \\ 1 & 1 & 2 & 0 \\ 2 & 1 & 1 & 2 \end{array} \right| \end{array} \xrightarrow{\textcircled{3} \ominus 2 \textcircled{1} \textcircled{2}} \begin{array}{c} \left| \begin{array}{cccc} 0 & 2 & 0 & 1 \\ 1 & 1 & 2 & 0 \\ 0 & 2 & 0 & 2 \end{array} \right| \end{array} \xrightarrow{1 \oplus 2} \begin{array}{c} \left| \begin{array}{cccc} 0 & 1 & 0 & 2 \\ 1 & 1 & 2 & 0 \\ 0 & 2 & 0 & 2 \end{array} \right| \end{array} \xrightarrow{\textcircled{2} \ominus \textcircled{1}} \begin{array}{c} \left| \begin{array}{cccc} 0 & 1 & 0 & 2 \\ 1 & 0 & 2 & 1 \\ 0 & 0 & 0 & 1 \end{array} \right| \end{array} \xrightarrow{\textcircled{3} \ominus 2 \textcircled{1}}$$

$$\begin{array}{c} \left| \begin{array}{cccc} 0 & 1 & 0 & 2 \\ 1 & 0 & 2 & 1 \\ 0 & 0 & 0 & 1 \end{array} \right| \end{array} \quad \text{la troisième équation est contradictoire} \\ \text{alors, il n'y a pas de solution pour } z .$$

$$\begin{array}{c} \left| \begin{array}{cccc} 0 & 2 & 0 & 1 \\ 1 & 1 & 2 & 0 \\ 2 & 1 & 1 & 1 \end{array} \right| \end{array} \xrightarrow{\textcircled{3} \ominus 2 \textcircled{1} \textcircled{2}} \begin{array}{c} \left| \begin{array}{cccc} 0 & 2 & 0 & 1 \\ 1 & 1 & 2 & 0 \\ 0 & 2 & 0 & 1 \end{array} \right| \end{array} \xrightarrow{\textcircled{1} \div \textcircled{2}} \begin{array}{c} \left| \begin{array}{cccc} 0 & 1 & 0 & 2 \\ 1 & 1 & 2 & 0 \\ 0 & 2 & 0 & 1 \end{array} \right| \end{array} \xrightarrow{\textcircled{2} \ominus \textcircled{1}} \begin{array}{c} \left| \begin{array}{cccc} 0 & 1 & 0 & 2 \\ 1 & 0 & 2 & 1 \\ 0 & 2 & 0 & 1 \end{array} \right| \end{array} \xrightarrow{\textcircled{3} \ominus 2 \textcircled{1}}$$

$$\begin{array}{c} \left| \begin{array}{cccc} 0 & 1 & 0 & 2 \\ 1 & 0 & 2 & 1 \\ 0 & 0 & 0 & 0 \end{array} \right| \end{array} \quad \text{Il est évident que la troisième composante des} \\ \text{solutions du système peut être choisie arbitraire} \\ \text{dans } \mathbb{Z}/3.$$

Dans ce cas, il y a trois solutions pour  $z$ ,

$$z_1 = \begin{pmatrix} 1 \\ 2 \\ 0 \end{pmatrix}, \quad z_2 = \begin{pmatrix} 2 \\ 2 \\ 1 \end{pmatrix}, \quad z_3 = \begin{pmatrix} 0 \\ 2 \\ 2 \end{pmatrix} .$$

Bien entendu, tous ces opérations utilisent la division  $\oplus$ , l'inverse de multiplication  $\otimes$ , qui existe effectivement lorsque  $p$  est un nombre premier, ( $\mathbb{Z}/p$  est alors un corps) (on y voit  $1 \oplus x$  se paraître sous la forme du nombre inverse de  $x$ ).

En cas général,  $p$  premier,  $n$  entier positif, en faisant le même procédé (combinaisons linéaires de lignes) on passe du système donné :

$$\left[ \begin{array}{cccc|c}
 \overbrace{a_{11} \ a_{12} \ \dots \ a_{1n}}^{F'(X^r)} & f_1(X) \\
 a_{21} \ a_{22} \ \dots \ a_{2n} & f_2(X) \\
 \dots & \dots \\
 \dots & \dots \\
 a_{n1} \ a_{n2} \ \dots \ a_{nn} & f_n(X)
 \end{array} \right] \xrightarrow{\text{au système équivalent}} \left[ \begin{array}{ccc|c}
 \overbrace{\dots \ x \ \dots}^A & \bar{f}_1 \\
 x \ \dots & x \ \dots & \bar{f}_2 \\
 \dots & \dots & \dots \\
 \dots & \dots & \dots \\
 \dots & \dots & x \ \bar{f}_n
 \end{array} \right] B$$

Les  $X$  représentent les éléments non nuls, les autres sont nuls. La matrice finale  $A$  est alors caractérisée de la façon suivante :

- 1) Chaque colonne a un élément non nul au plus.
- 2) En suite, on utilise un ensemble noté  $T = \{t_1, \dots, t_\ell\}$  où  $t_1, \dots, t_\ell$  sont les numéros des lignes de  $A$  identiquement nulles ( $0 \leq \ell \leq n$ ).

REMARQUE 6

Les positions des  $X$ , ou bien la forme du système final  $A$  dépend du choix des lignes participant aux combinaisons linéaires. Bien que cette forme de  $A$  puisse varier, les solutions du système original ne pourrait jamais être changées.

2. Solutions du système (3).

PROPOSITION 1

Lorsqu'il est soluble, le nombre  $m$  de solutions du système (3) va être donné par la formule suivante :  $m = p^l$ .

En effet, si  $l = 0$ , c'est-à-dire, si  $A$  n'a aucune ligne nulle il est clair alors que chaque ligne a un et seulement un élément non nul.

Dans ce cas, le système (3) a une solution unique :  $m = p^0 = 1$ . Si  $1 \leq l < n$ , il existe au moins une ligne numérotée  $t$  avec  $t \notin T$ . Dans cette ligne, on marque  $i$  le numéro de la colonne où le premier élément non nul est situé. On fait de même sur toutes les lignes dont les numéros n'appartiennent pas à  $T$ . On obtient  $\{i_1, \dots, i_k\} \equiv I$ , évidemment  $K = n - l$ . Les numéros des autres colonnes sont  $\{j_1, \dots, j_l\} \equiv J$ ,

i) Si  $\bar{f}_t = 0$ ,  $\forall t \in T$ , cela signifie que le système (3) est soluble. Sans perdre de généralité, on peut supposer que les composantes  $x_{j_1}, \dots, x_{j_l}$  des solutions soient indépendantes. Les autres composantes  $x_{i_1}, \dots, x_{i_k}$  dépendent éventuellement de  $x_{j_1}, \dots, x_{j_l}$ .

N'importe quel membre de  $Z/p$  peut se donner à  $x_j$ , pour  $\forall j \in J$ , même pour  $l = n$ , toutes les composantes sont indépendantes. C'est-à-dire que toutes les possibilités de combinaisons de  $x_{j_1}, \dots, x_{j_l}$  dans  $Z/p$  conviennent, d'où les  $p^l$  solutions du système, selon une formule de combinaison (dans l'exemple précédent,  $l = 1$ ,  $p = 3$ , alors  $m = 3^1 = 3$ ).

ii) Si pour certain  $t \in T$ , on a  $\bar{f}_t \neq 0$ , il est clair que le système est impossible. En effet, pour qu'on puisse conclure que le système (3) n'a pas de solution, il faut et il suffit qu'il existe au moins un  $t \in T$  vérifiant  $\bar{f}_t$  non nul. Dans ce cas on obtient au moins une équation contractoire du système (3).

#### I.4. LE COMPORTEMENT ITERATIF DE NEWTON POUR $F(x)$ DONNEE ARBITRAIREMENT.

Une fonction  $F(x) : (Z/p)^n \rightarrow (Z/p)^n$ , peut être donnée de façon différente, généralement, soit par  $n$  polynômes de degré  $\leq p-1$  à coefficients dans  $Z/p$ , soit par une table tirée au hasard. Dans ce paragraphe, on parlera surtout de cette dernière façon qu'on utilisera souvent pour expérimenter le comportement itératif de la méthode.

##### I.4.1. NEWTON SIMPLIFIÉ

###### i) Configuration du graphe itératif

Rappelons la méthode :  $x^{r+1} = x^r \ominus [A^{-1} \ominus F(x^r)]$  (2)

##### PROPOSITION 1

Dans le graphe de Newton simplifié, un point quelconque dans  $(Z/p)^n$ , a un et seulement un successeur qui va poursuivre jusqu'à ce qu'un point fixe ou un cycle apparaisse.

##### DEMONSTRATION

C'est assez évident, puisque  $A$  est inversible :  $x^{r+1}$ , est déterminé de façon unique. Par ailleurs, puisque  $(Z/p)^n$  est un ensemble fini ( $p^n$  éléments), la suite engendrée va certainement finir sur un point déjà itéré ; il se forme conséquemment un cycle (pour un cycle de longueur 1, on dit aussi un point fixe).

##### REMARQUE 1

La longueur du transitoire (c'est-à-dire le nombre de pas qu'il faut pour obtenir un point du cycle) est très variable selon les cas, parmi nombreux exemples. Quelque fois elle est bien supérieur à  $n$ , (cf. Fig. 1.1). Quelque fois il existe beaucoup de points de départ pour lesquels la longueur du transitoire est inférieure à  $n$  (cf. Fig. 2.1). En général, il n'y a pas de liaison évidente, la longueur du transitoire et la dimension  $n$ . On peut simplement dire que le transitoire croît lorsque  $n$  croît.

REMARQUE 2

Les longueurs des cycles qui se paraissent dans des différents exemples effectués en méthode de Newton simplifiée sont variables. Un cycle de longueur 2 avec  $p=2$ ,  $n=4$ , se trouve dans Fig. 3.5, celui de longueur 3 avec  $p=5$ ,  $n=2$  se trouve dans Fig. 5.1 ; celui de longueur 5 avec  $p=n=3$ , se trouve dans Fig. 4.1.

REMARQUE 3

Le nombre de cycles n'est pas grand par rapport au nombre de points de  $(\mathbb{Z}/p)^n$  ( $p^n$ ). Expérimentalement, la fréquence de ce nombre vibre à l'environ de 2 parmi nombreux exemples, (cf. Fig. 1.1 avec  $p=2$ ,  $n=5$  ; Fig. 2.2. avec  $p=2$ ,  $n=5$  ; Fig. 3.2 avec  $p=2$ ,  $n=4$  ; Fig. 3.5 avec  $p=2$ ,  $n=4$  ; Fig. 4.1 avec  $p=n=3$  ; Fig. 5.1 avec  $p=5$ ,  $n=2$ , etc...).

REMARQUE 4

Une fois que A est choisie, le changement de la position d'une racine de F, ou l'augmentation de la quantité de ses racines ne peut largement influencer sur le graphe itératif de Newton simplifié. En effet, d'après (2), la modification de la valeur de  $F(x^r)$  ne peut influencer que sur  $x^{r+1}$ , (cf. de Fig. 2.1. à Fig. 2.2.).

REMARQUE 5

Le choix de A va beaucoup intervenir dans le comportement itératif. Après l'observation de deux graphes (cf. Fig. 3.1. et Fig. 3.2), on y trouve une grande différence (F(x) donnée par une même table), même pour une petite variation de A : là

$$A_1 \neq A_2 = \begin{pmatrix} 0 & 0 & 0 & 0 \\ 0 & 0 & 0 & 0 \\ 1 & 0 & 0 & 0 \\ 0 & 0 & 0 & 0 \end{pmatrix} \text{ pour } p=2, n=4,$$

et qu'il y a quatre points qui ont changé leurs successeurs.

De plus, entre les deux autres graphes (cf. Fig. 3.4 et Fig. 3.5), six points (numéro 1, 2, 4, 6, 12, 14) ont changés leurs successeurs pour

$$A_4 \theta A_5 = \begin{pmatrix} 0 & 0 & 0 & 0 \\ 0 & 0 & 0 & 1 \\ 0 & 0 & 0 & 0 \\ 0 & 0 & 0 & 0 \end{pmatrix} \quad (\text{pour } p=2, n=4)$$

et même table de  $F(x)$ .

Malheureusement, on n'a pas encore trouvé dans notre contexte un bon moyen avec lequel un choix  $A$  pouvant favoriser la recherche de racine, pourrait être fourni.

Néanmoins, ce qui suit, sont des choix particuliers de  $A$  qui peuvent être des conditions nécessaires et suffisantes de certaines sortes de convergence locale.

## ii) Convergence locale

### PROPOSITION 3

Dans (2), pour que  $x^{r+1}$  soit une racine  $a$  de  $F(x)$  (si elle existe dans  $(\mathbb{Z}/p)^n$ ) pour  $x^r \in V_d(a)$ , ( $V_g(a)$ , resp.), il faut et il suffit qu'on mette  $A = F'_d(a)$ , ( $F'_g(a)$  resp.) (non singulière).

### DEMONSTRATION

Condition suffisante : selon 1.2, remarque 3, on a

$$F(x^r) = F'_d(a) \theta (x^r \theta a) \quad \text{et revient à (2)}$$

$$x^{r+1} = x^r \theta A^{-1} \theta F(x^r) = x^r \theta [F'_d(a)]^{-1} \theta F'_d(a) \theta (x^r \theta a) = x^r \theta x^r \theta a = a$$

$$\text{Condition nécessaire : } a = x^{r+1} = x^r \theta A^{-1} \theta F(x^r) = x^r \theta a = A^{-1} \theta F(x^r)$$

On pose qu'ici  $x^r \theta a = e_j$ , ( $j=1,2,\dots,n$ ), alors on a :

$e_j = A^{-1} \theta F'_d(a) \theta e_j$ . Cela illustre que  $\Delta_j = e_j$ , où  $\Delta_j$  est le jème vecteur colonne de la matrice  $A^{-1} \theta F'_d(a)$ , c'est à dire

$$A^{-1} \theta F'_d(a) = I, \quad A = F'_d(a).$$

COROLLAIRE

Dans (2) pour que  $x^{r+1}$  soit une racine  $a$  de  $F$  (si elle existe dans  $(Z/p)^n$ ) pour  $\forall x^r \quad V(a) = V_d(a) = V_g(a)$ , il faut et il suffit que les deux conditions suivantes soient satisfaites :

- 1)  $F'_d(a) = F'_g(a)$
- 2) on prend  $A = F'_d(a) = F'_g(a)$ .

Deux exemples se présentent dans la Fig. 4.3 avec  $p=n=3$ , et la Fig. 5.3 ( $p=5, n=2$ ).

REMARQUE 6

Dans  $(Z/2)^n$ , pour qu'une racine soit attractive dans son voisinage immédiat, une condition nécessaire et suffisante est la suivante :

- 1) La matrice  $I \otimes [A^{-1} \otimes F'(a)]$  ait au plus un 1 par colonne
- 2) Cette matrice possède le rayon spectral booléen nul (c'est-à-dire qu'il existe une matrice de permutation  $p$  telle que  $p^t [I \otimes (A^{-1} \otimes F'(a))] p$  soit triangulaire inférieure stricte (cf. [1]).

On peut trouver une vérification dans la figure 3.1.

1.4.2. NEWTON STANDARD

i) Configuration de graphe itératif

Rappelons la méthode (3) 
$$\begin{cases} F'(x^r) \otimes z = F(x^r) \\ x^{r+1} = x^r \otimes z \end{cases}$$

PROPOSITION 4

Dans le graphe de Newton standard, le successeur d'un point quelconque dans  $(Z/p)^n$  soit n'existe pas (système linéaire impossible), soit existe, dans ce dernier cas le nombre de successeurs peut être  $p^k$  ( $k$  entier,  $0 \leq k \leq n$ ). L'itération d'un point initial quelconque de  $(Z/p)^n$  va s'arrêter soit en cas de la présence d'un cycle soit en cas d'impossibilité.

DEMONSTRATION

En effet, le successeur d'un point est tout à fait dépendant de l'état des solutions de (3). D'après I.3 proposition 1, si la solution de (3) existe, son nombre sera  $p^l$  ( $p$  premier,  $l$  entier  $0 \leq l \leq n$ ). Si (3) est un système incompatible, sa solution n'existe pas, alors le successeur n'existe non plus. On dit qu'on est tombé dans un puits.

REMARQUE 7

Expérimentalement, la longueur maximum  $l$ , du transitoire (vers un cycle, point fixe ou vers un puits) est effectivement assez petite par rapport à celle de la méthode de Newton simplifiée. Parmi nombreux exemples, semble-t-il, qu'elle ne dépasse pas  $n$ , quelque soit  $n$  et  $p$ .

Dans la figure 1.2,  $l = 4 < 5 = n$  ; dans la figure 2.3,  $l = 3 < 5 = n$  ; dans la figure 4.2,  $l = 3 = n$ , dans la figure 5.2,  $l = 2 = n$ . J'ai trouvé un exemple exceptionnel, (très rarement), dans la figure 4.4 : numéro 23  $1 \quad 21 \quad 6 \quad 3$ ,  $l = 4 > 3 = n$ , (mais 3 est un puits).

REMARQUE 8

Expérimentalement, le nombre de cycles obtenu dans Newton standard est toujours assez petit et ces cycles sont eux mêmes très courts (voir plus loin). Cette caractéristique est presque la même que pour la méthode de Newton simplifiée. Il semble que ce nombre ne croisse pas lorsque  $n$  croît, et qu'il croisse un peu lorsque  $p$  croît. Il faut dire que dans pas mal d'exemples, il n'existe pas de cycle (mis à part les points fixes) (cf. fig. 2-3, fig. 4-2) dans un graphe partiel avec  $n = 20$  (cf. fig. 13-2).

REMARQUE 9

Puisque pour un point il existe éventuellement plusieurs successeurs on devrait classer des cycles en deux sortes : ceux qui n'ont aucune sortie de boucle, noté cycle  $C$ , ceux qui ont au moins une sortie de boucle, noté cycle  $\bar{C}$ .

Expérimentalement, la longueur des cycles C ne dépasse p (cf. fig. 5.2) ; et la longueur des cycles  $\bar{C}$  ne dépasse p dans la plupart des exemples, (cf. Fig. 1-2, figu. 10-2, fig. 12-1, ...), mais il existe parfois des contres exemples (cf. Fig. 6-2, longueur 5 contre  $p=3$ ).

REMARQUE 10

Si l'on modifie la position d'une racine de F, cela ne changera que les successeurs du voisinage correspondant de cette racine. Eventuellement cela va accroître le nombre de points conduisant vers la racine beaucoup plus que la méthode de Newton simplifiée, surtout en cas de plusieurs racines (cf. Fig. 1-2, et Fig. 1.3, Fig. 4-4 et Fig. 4-2).

ii) Convergence locale

PROPOSITION 5

Dans (3), soit a une racine de  $F : (Z/p)^n \rightarrow (Z/p)^n$ . Pour que  $x^{r+1} = a$ ,  $\forall x^r \in V_g(a) (V_d(a), \text{ resp.})$  il faut et il suffit qu'on choisisse  $F'_d(x^r)$  ( $F'_g(x^r)$ , resp.) pour la dérivée  $F'(x^r)$ .

DEMONSTRATION

Condition suffisante : selon I.2 remarque 3, on a

$$F(x^r) \otimes e_j \otimes F'(x^r) = F'_d(x^r) \otimes e_j \text{ et puis : } F(x^r) = F(x^r \otimes e_j) \otimes F'_d(x^r) \otimes e_j$$

$$\text{on revient à (3) : } F'_d(x^r) \otimes z = F(x^r \otimes e_j) \otimes F'_d(x^r) \otimes e_j$$

car  $x^r \in V_g(a)$ , sans perdre la généralité, on pose  $x^r = a \otimes e_j$ .

c'est-à-dire  $F(x^r \otimes e_j) = F(a) = 0$ , alors il reste le système

$$\text{suisant } F'_d(x^r) \otimes z = -F'_d(x^r) \otimes e_j.$$

c'est-à-dire  $z = -e_j$ , étant une solution de (3)' on l'amène à (3)"

$$x^{r+1} = x^r \otimes (-e_j) = x^r \otimes e_j = a.$$

Condition nécessaire : posons  $x^{r+1} = a$  ,  $x^r = a\theta e_j$

On revient à (1):  $A_r \theta z = F(x^r) = F(x^r \theta e_j) \theta F'_d(x^r) \theta e_j = -F'_d(x^r) \theta e_j$

à d'autre aspect :  $x^{r+1} = x^r \theta z \Rightarrow z = x^r \theta x^{r+1} = a \theta e_j \theta a = -e_j$

on revient au précédent :  $A_r \theta (-e_j) = -F'_d(x^r) \theta e_j$

$$[A_r \theta F'_d(x^r)] \theta e_j = 0$$

cela illustre que la jème colonne de la matrice  $A_r \theta F'_d(x^r)$  soit nulle, alors pour tout  $j=1, \dots, n$  ce qui signifie

$$A_r \theta F'_d(x^r) = 0 \Rightarrow A_r = F'_d(x^r).$$

### PROPOSITION 6

Dans (1), soit  $A_r \neq 0$  , matrice nulle,  $p > 2$  , alors qu'il n'existe pas d'autre choix de  $A_r$  pour que  $x^{r+1}$  soit la racine  $a$  de  $F(x) : (Z/p)^n \xrightarrow{\quad} (Z/p)^n$  , pour  $\forall x^r \in V(a) = V_g(a) \cup V_d(a)$ .

En effet, s'il existe certaine  $A_r \neq 0$  dont les éléments appartiennent à  $Z/p$  , pour que la conclusion soit vraie. D'après les deux propositions précédentes et (1') ,  $z_1 = e_j$  ,  $z_2 = -e_j$  sont les solutions de (1)". Ainsi, on obtient deux égalité suivantes

$$A_r \theta e_j = F(x^r) , -A_r \theta e_j = F(x^r) , \text{ on en réduit une seule } A_r \theta e_j = -A_r \theta e_j .$$

En cas de  $p > 2$  , cette égalité n'est vraie que la jième colonne de  $A_r$  est nulle, pour  $\forall j=1, \dots, n$  , c'est que  $A_r = 0$  , cela est contradictoire de la supposition.

Sur l'attraction d'une racine de  $F(x)$  dans  $(Z/p)^n$  , on peut trouver la référence dans [3].

Dans les exemples que j'ai fais en méthode de Newton standard, le voisinage à gauche d'une racine, converge vers cette racine dans un seul coup, car j'ai utilisé la dérivée à droite, (cf. fig. 4-2, fig. 4-3, fig. 5-2, ...).

Bien que la convergence locale soit partiellement garantie en cette méthode, le problème de singularité existe encore, surtout pour  $p = 2$ . Il est donc naturel de s'engager à l'étude de singularité.

iii) Cas de singularité.

Sur un point  $x^r$  de  $(Z/p)^n$ , le système (3), avec la dérivée à droite peut s'écrire de la façon suivante :

$$\begin{cases} (\Delta_j) \theta z = F(x^r) \\ x^{r+1} = x^r \theta z \end{cases}$$

d'où  $\Delta_j = F(x^r \theta e_j) \theta F(x^r)$ , ( $j=1, 2, \dots, n$ ),  
jème vecteur colonne de  $F'_d(x^r)$

\* Soit  $F'_d(x^r)$  singulière,  $\Delta_{i_1}, \dots, \Delta_{i_\ell}$  étant les vecteurs indépendants ( $0 \leq \ell \leq n-1$ ),  $\{i_1, \dots, i_\ell\} \subset \{1, 2, \dots, n\}$ , dans ce cas on a :

PROPOSITION 7

Pour que le système (3) soit soluble, il faut et il suffit que  $F(x^r)$  soit une combinaison linéaire de  $\Delta_{i_1}, \dots, \Delta_{i_\ell}$ , où vecteur nul, c'est-à-dire que :

$$(e) \quad \left\{ \begin{array}{l} F(x^r) = \sum_{k=1}^{\ell} \alpha_k \theta \Delta_{i_k}, \text{ si } \ell \neq 0 \text{ (}\ell \text{ entier positif)} \\ F(x^r) = 0 \text{ (vecteur nul) si } \ell = 0 \end{array} \right.$$

d'où  $\alpha_k$  entier :  $0 \leq \alpha_k \leq p-1$ , ( $1 \leq k < \ell$ )

La démonstration est presque la même que celle dans  $\mathbb{R}^n$ .

COROLLAIRE

Soit  $p=2$ , pour que le système (3) ( $F'_d(x^r)$  singulière) soit soluble il faut et il suffit que  $F(x^r)$ , satisfasse l'une de trois conditions suivantes :

a) existe  $\ell'$  voisins de  $x^r$ , tels que  $\sum_{k=1}^{\ell'} F(x^r \theta e_{j_k}) = 0$   
(vecteur nul) d'où  $\ell'$  impair,  $1 \leq \ell' \leq n-1$ .

b) existe  $l'$  voisins de  $x^r$ , tels que  $\sum_{k=1}^{l'} F(x^r \oplus e_{j_k}) = F(x^r)$

d'où  $l'$  pair,

$$2 \leq l' \leq n-1, n \geq 3,$$

c)  $F(x^r) = 0$  (vecteur nul)

ici,  $\{j_1, \dots, j_{l'}\} \subset \{i_1, \dots, i_l\} \cdot \Delta_{i_1} \dots \Delta_{i_{l'}}$ , vecteurs indépendants. En effet, dans la proposition 7, puisque  $\alpha_k$  soit 0, soit 1, (e) devient :

$$F(x^r) = \sum_{k=1}^l \alpha_k \Delta_{i_k} = \sum_{k=1}^{l'} [F(x^r \oplus e_{j_k}) \oplus F(x^r)]$$

car  $p=2$ ,  $F(x^r) \oplus F(x^r) = 0$ , alors on a :

$$\sum_{k=1}^{l'} F(x^r \oplus e_{j_k}) = 0 \quad \text{si } l' \text{ impair}$$

$$\sum_{k=1}^{l'} F(x^r \oplus e_{j_k}) = F(x^r) \quad \text{si } l' \text{ pair.}$$

\* Soit  $F(x^r)$  donnée tout à fait arbitrairement ainsi que pour  $F'_d(x^r)$ . Supposons qu'il y ait  $R_k$  formations pour  $F'_d(x^r)$  singulière dont le rang appartient à l'ensemble  $\{0, 1, \dots, n-1\}$ , alors que  $R_k \cdot p^k$  formations correspondantes du système (3) seraient solubles.

En tout cas, il y a  $S1$  formations solubles pour le système (3) avec  $F'_d(x^r)$  singulière, d'où  $S1 = \sum_{k=0}^{n-1} R_k \cdot p^k$

A l'autre aspect, il y a  $S$  formations possibles pour former le système (3) avec  $F'_d(x^r)$  singulière, d'où

$$S = [p^{n^2} - (p^n - 1)(p^n - p) \dots (p^n - p^{n-1})] \cdot p^n, \text{ selon l'annexe 2 de [1].}$$

Alors, on obtient la

#### PROPOSITION 8

La proportion des formations solubles du système (3) sur un point  $x^r$  de  $(Z/p)^n$  avec  $F'_d(x^r)$  singulière, notée  $\lambda_n^p$  peut s'écrire de la façon suivante :

$$\lambda_n^p = \frac{S1}{S} = \frac{\sum_{k=0}^{n-1} R_k \cdot p^k}{[p^{n^2} - (p^n - 1)(p^n - p) \dots (p^n - p^{n-1})] \cdot p^n}$$

\* Dans l'annexe 2 de mon texte, une recherche de  $R_k$  et un tableau de  $\lambda_n^p$  seront présentés.

Soit  $F(x^r)$  donnée arbitrairement sauf vecteur nul, dans ce cas, on a :

COROLLAIRE

La proportion des formations solubles du système (3), sur un point  $x^r$ , de  $(Z/p)^n$ , avec  $F(x^r)$  non nul et  $F'_d(x^r)$  singulière, notée  $\bar{\lambda}_n^p$ , peut s'écrire de la façon suivante :

$$\bar{\lambda}_n^p = \frac{\bar{S}_1}{\bar{S}} = \frac{\sum_{k=0}^{n-1} R_k \cdot (p^k - 1)}{[p^n - (p^n - 1)(p^n - p) \dots (p^n - p^{n-1})] \cdot (p^n - 1)}$$

\* Supposons que dans  $(Z/p)^n$ ,  $F(x)$  possède  $l$  racines,  $a_i$  ( $F(a_i) = 0$ ) ( $i=1, \dots, l$ ). Sur lesquelles la proportion du système soluble est égale à 1 respectivement, et sur les autres  $(p^n - l)$  points de  $(Z/p)^n$ , cette proportion est égale à  $\bar{\lambda}_n^p$  respectivement.

Au point de vue globale, on note  $\lambda$  représentant la proportion moyenne des systèmes (3), solubles sur tous les points de  $(Z/p)^n$  alors on a :

PROPOSITION 9

$$\lambda = \begin{cases} \bar{\lambda}_n^p & l = 0 \text{ (pas de racine)} \\ \bar{\lambda}_n^p + \frac{l \cdot (1 - \bar{\lambda}_n^p)}{p^n} & 0 < l \leq p^n \end{cases}$$

En effet,

$$\lambda = \frac{\sum_{k=1}^l 1 + \sum_{k=1}^{p^n-l} \bar{\lambda}_n^p}{p^n} = \frac{l + (p^n - l) \bar{\lambda}_n^p}{p^n} = \bar{\lambda}_n^p + \frac{l(1 - \bar{\lambda}_n^p)}{p^n}$$

Evidemment, si  $l = 0$ ,  $\lambda = \bar{\lambda}_n^p$ .

REMARQUE 11

Cette formule nous montre que l'augmentation de la quantité de racines peut accroître sensiblement la proportion du système (3) soluble. Mais cette influence sera diminuée si  $p$  ou  $n$  croît.

iv) Une tendance d'accroissement de  $F'_d(x)$  régulière avec  $p$   
 D'après les figures que j'ai faites, en méthode de Newton  
 standard, avec  $F(x)$  donnée au hasard, on peut en tirer un ta-  
 bleau suivant :

figure	p	n	taux de $F'_d(x)$ régulière	
			expérimental	théorique(cf Annexe2 de 1
1_2	2	5	0.218	0.298
1_3	2	5	0.281	0.298
2_3	2	5	0.344	0.298
4_2	3	3	0.592	0.570
4_4	3	3	0.592	0.570
5_2	5	2	0.760	0.768
5_4	5	2	0.800	0.768

\* entre les taux expérimental et théorique, l'écart n'est pas grand.

\* La tendance d'accroissement de ce taux avec  $p$  est assez évi-  
 dente.

### I.5. LE COMPORTEMENT ITERATIF DE NEWTON POUR $F(x)$ DONNE PAR DES EXPRESSIONS POLYNOMIALES.

#### I.5.1. $F(x)$ LINEAIRE

i) Newton simplifié

Soit  $F(x) = Bx + C$ ,  $F(x) : (Z/p)^n \rightarrow (Z/p)^n$  ;

soit matrice  $B$  constante et inversible à éléments de  $Z/p$ ,  
 $C$  vecteur constant.

Alors,  $F$  admet  $a = -B^{-1}C$  pour unique racine.

Si l'on prend  $A=B$ , pour  $\forall x^0 \in (Z/p)^n$ , on aura  $x^1 = a$ .

En effet  $x = x^0 \theta A^{-1} \theta F(x^0) = x^0 \theta [B^{-1} \theta B \theta x^0 \theta B^{-1} \theta C] = -B^{-1} \theta C = a$

ii) Newton standard

Pour  $\forall x^r \in (Z/p)^n$ , selon la dérivation de fonction de I.2.3, on a  $F'_d(x^r)$  (ou  $F'_g(x^r)$ )  $B$ . Dans ce cas le système (3) devient

$$B \theta z = F(x^r), \quad B \theta z = B \theta x^r \theta C \text{ (soit } B \text{ inversible)}$$

$$\Rightarrow z = x^r \theta B^{-1} \theta C \Rightarrow x^{r+1} = x^r \theta x^r \theta B^{-1} \theta C = -B^{-1} \theta C = a .$$

I.5.2.  $F(x)$  PRESQUE LINEAIRE

Soit  $F(x) = B \theta x \theta C \theta U(x)$ , d'où  $U(x)$ , l'expression vectorielle non linéaire. Au cas où il existe beaucoup de points de  $(Z/p)^n$  tels que  $U(x) = 0$ . On obtient toujours de bons résultats sur la convergence, en utilisant les méthodes de Newton.

Tels exemples se trouvent dans la figure 7.1 et 7.2.

I.5.3.  $F(x)$  quadratique homogène.

Pour simplifier les écritures, dans ce qui suit, on remplace  $\theta$ ,  $\theta$ ,  $\theta$  par celles habituelles.

\* Soit  $F(x) = (f_1, \dots, f_n)^t$ ,  $f_i(x) = x_i(x_1 + \dots + x_i + \dots + x_n)$   
 $(Z/p)^n \rightarrow Z/p$ , alors ; on a les propriétés suivantes :

- (i)  $F(x)$  possède  $p^{n-1}$  racines (qui constituent un ensemble noté R)
- (ii)  $m = p^{n-1}$ ,  $m$ , le nombre des voisins différents à gauche de toutes les racines, (qui constituent un ensemble, noté S)
- (iii) Un point  $\bar{a}$  quelconque dans S possède  $p^{n-1}$  successeur qui ne sont pas d'autres que tous les points de R.

En utilisant Newton standard et  $F'_d(x)$ , selon la dérivation de I.2.3 on a

$$F'_d(x) = \begin{pmatrix} (x_1 + \dots + x_n) + x_1 + 1 & x_1 & \dots & x_1 \\ x_2 & (x_1 + \dots + x_n) + x_2 + 1 & \dots & x_2 \\ \dots & \dots & \dots & \dots \\ x_n & x_n & \dots & (x_1 + \dots + x_n) + x_n + 1 \end{pmatrix}$$

On peut trouver les illustrations de ces propriétés dans Fig. 8.1 8.2, 8.3, 8.4 avec p et n différents.

Soit  $F(x)$  donné en forme suivante :  $(\mathbb{Z}/3)^3 \rightarrow (\mathbb{Z}/3)^3$

$$F(x) = \begin{cases} f_1 = (\chi_{11} + \chi_{12})^2 \\ f_2 = (\chi_{21} + \chi_{22})^2 \\ f_3 = (\chi_{31} + \chi_{32})^2 \end{cases} \quad \text{ou} \quad F(x) = \begin{cases} f_1 = \chi_{11}^2 + \chi_{12}^2 \\ f_2 = \chi_{21}^2 + \chi_{22}^2 \\ f_3 = \chi_{31}^2 + \chi_{32}^2 \end{cases}$$

d'où  $\chi_{i1} \neq \chi_{i2}$ ,  $\chi_{ij} \in \{\chi_1, \chi_2, \chi_3\}$ , ( $i=1,2,3$ ,  $j=1,2$ )

Alors, en utilisant Newton standard et  $F'_d(x)$ , on a les propriétés suivantes :

- (i)  $F(x)$  possède une et seulement une racine  $a = (0,0,0)$
- (ii)  $F(x)$  possède (sauf  $a$ ) un autre point fixe  $b = (1,1,1)$  (ou  $b = (2,2,2)$  resp.)
- (iii) Dans le graphe itératif, il n'y a que le voisinage à gauche de  $a$  et celui à droite de  $b$  (lui même compris) convergent en un seul coup vers la racine  $a$  et les autres points de  $(\mathbb{Z}/3)$  sont isolés. (cf. Fig. h et Fig. k).

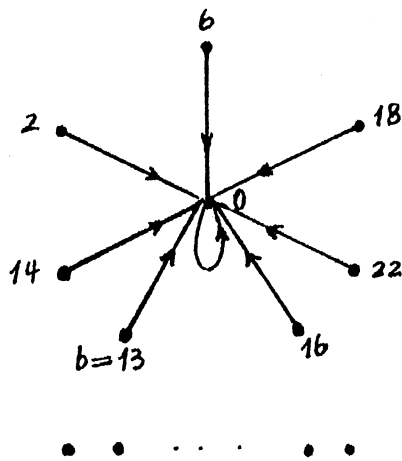


fig - h

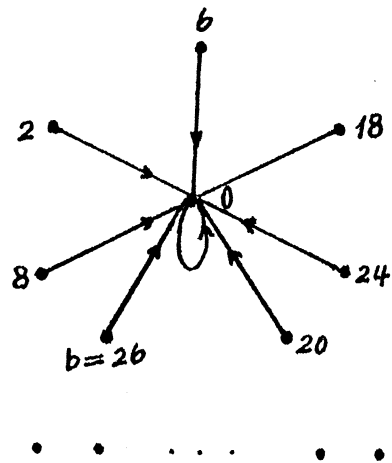


fig - k

\* Soit  $F(x)$  donné en forme suivante :  $(\mathbb{Z}/3)^n \rightarrow (\mathbb{Z}/3)^n$

$$F(x) = \begin{cases} f_1 = \chi_{11}^2 + \chi_{12} \chi_{13} \\ f_2 = \chi_{21}^2 + \chi_{22} \chi_{23} \\ f_3 = \chi_{31}^2 + \chi_{32} \chi_{33} \end{cases} \quad \begin{aligned} &\text{d'où } \chi_{i1} \neq \chi_{i2} \neq \chi_{i3} \\ &\chi_{i1} \neq \chi_{i3} \\ &\chi_{ij} \in \{\chi_1, \chi_2, \chi_3\} \quad \begin{cases} i=1,2,3 \\ j=1,2,3 \end{cases} \end{aligned}$$

Soit le point  $y = (y_1, y_2, y_3)$  de  $(Z/3)^3$  étant l'un des successeurs d'un point  $x = (x_1, x_2, x_3) \in (Z/3)^3$ , en utilisant la méthode de Newton standard et

$$F'_d(x) = \begin{pmatrix} 2x_1+1 & x_3 & x_2 \\ x_3 & 2x_2+1 & x_1 \\ x_2 & x_1 & 2x_3+1 \end{pmatrix}$$

Soit  $\bar{y}$  obtenu en échangeant les positions de deux composantes de  $y$  (par exemple, on échange  $y_1$  et  $y_2$  alors  $\bar{y} = (y_2, y_1, y_3)$ ).

Alors,  $\bar{y}$  est sûrement l'un des successeurs d'un point  $\bar{x}$  obtenu de la même façon qu'on a obtenu  $\bar{y}$  de  $y$ .

(Par l'exemple ci-dessus,  $\bar{x} = (x_2, x_1, x_3)$ ).

On peut vérifier cette propriété dans la fig. 6.1 sur laquelle certain genre de similitude s'exprime.

#### I.5.4. $F(x)$ quadratique général.

Étant donnée une fonction quadratique dans  $(Z/p)^n$  qui n'a pas de chose particulière, alors, sur laquelle, le graphe itératif de la méthode de Newton Standard se paraît plus général. Deux exemples se présentent dans les figures 9.1 et 9.2.

#### I.5.5. $F(x)$ ayant des composantes identiques.

Soit  $F(x) = (f_1, \dots, f_j, \dots, f_n)^t$ ,  $f_i(x); (Z/p)^n \rightarrow Z/p$ ,  $(i=1, 2, \dots, n)$  dont  $f_k(x) \equiv f_j(x)$ ,  $(\forall x \in (Z/p)^n, 1 \leq k, j \leq n)$ .

Dans ce cas, la matrice  $F'_d(x)$  (ou  $F'_g(x)$ ) est sûrement singulière. Néanmoins les systèmes (3) sur la plupart des points restent encore solubles.

Bien que chaque point ait plusieurs flèches et la configuration de l'itération soit un peu désordonnée, la situation de la convergence se paraît éventuellement bonne. La figure 10.2 nous donne un exemple :

$$F(x) = \begin{cases} f_1 = x_1^2 + x_2 x_3 + x_3 \\ f_2 = x_2 x_3 + p - 1 \\ f_3 = f_1 \end{cases} \quad F'_d(x) = \begin{pmatrix} 2x_1+1 & x_3 & 1+x_2 \\ 0 & x_2 & 1+x_2 \\ 2x_1+1 & x_3 & 1+x_2 \end{pmatrix}$$

(p=n=3)

Dans le graphe, on s'aperçoit que

- (i) seulement deux points isolés et trois puits (15, 24, 6, 11, 13)
- (ii) puisque le rang  $m$  de  $F'_d(x)$  est toujours égale à 2, chaque point à  $\ell$  flèches sorties ( $\ell = p^{n-m} = 3^1 = 3$ ) sauf les points isolé et puits.
- (iii) deux racines et deux cycles de longueur 2, non bloqués.
- (iv) tous les points sauf ceux isolés et puits, conduisent au moins à une racine, et le pas transitoire ne dépasse pas la dimension  $n$ .

#### I.5.6. Symétries sur certaines sortes de fonctions.

(1)  $F(x)$  indépendant de certaines variables.

Soit  $F(x) = (f_1, \dots, f_n)^t$ ,  $f_i(x_{j_1}, x_{j_2}, \dots, x_{j_k}) : (Z/p)^n \rightarrow Z/p$ ,  $i=1, 2,$

d'où  $1 \leq j_\ell \leq n$ , ( $\ell=1, \dots, k$ ),  $k < n$ , dans ce cas, la matrice  $F'_d(x)$  (ou  $F'_g(x)$ ) est aussi singulière, sur quelque soit  $x \in (Z/p)^n$ . Cette fois-ci expérimentalement les systèmes (3) sur la plupart des points ne restent éventuellement plus solubles, et la fréquence des présences des points isolés (puits) croître énormément. Mais tous les points de  $(Z/p)^n$  se paraissent dans le graphe itératif de Newton standard, tout à fait symétriquement (on l'appelle  $p$ -symétrie).

La figure 10.1 nous donne un exemple : (p=n=3)

$$F(x) = \begin{cases} f_1 = x_2^2 + x_2 + x_3 \\ f_2 = x_2 x_3 + p - 1 \\ f_3 = x_2 + x_3^2 + p - 2 \end{cases} \quad F'_d(x) = \begin{pmatrix} 0 & 2x_2+2 & 1 \\ 0 & x_3 & x_2 \\ 0 & 1 & 2x_3+1 \end{pmatrix}$$

Il est évident qu'il manque la variable  $x_1$  dans les expressions de  $f_i(x)$ , ( $i=1, 2, 3$ ). Dans le graphe, on peut constater la 3-symétrie. Un autre exemple caractérisé de I.5.5. et de I.5.6.(1) se trouve dans la fig. 11.1.



DEMONSTRATION

Puisque  $y$  est successeur de  $x$ ,  $z = x-y$  est une solution du système (3), sur le point  $x$ , c'est-à-dire que  $F'(x)(x-y) = F(x)$ . Et puis, on a une vérification suivante :

$$\begin{aligned} F'(\bar{x})(\bar{x}-y) &= F'(x) \begin{pmatrix} x_1+1-y_1 \\ x_2-y_2 \\ \vdots \\ x_n-y_n \end{pmatrix} = F'(x) \begin{pmatrix} x_1-y_1+1 \\ x_2-y_2+0 \\ \vdots \\ x_n-y_n+0 \end{pmatrix} = F'(x)(x-y) + \\ &+ F'(x) \begin{pmatrix} 1 \\ 0 \\ \vdots \\ 0 \end{pmatrix} = F(x) + (0, \dots, \underset{j_1}{1}, \dots, \underset{j_k}{1}, \dots, 0) \\ &= F(\bar{x}) \end{aligned}$$

Cela illustre que  $\bar{x}-y$  est une solution du système sur le point  $\bar{x}$ , et signifie  $y$  est un successeur de  $x$ .

Le graphe de l'exemple précédent se trouve dans la figure 11.2.

COROLLAIRE

Si  $\bar{N} \cong N$ , ce sera le cas linéaire, tous les voisins d'un point quelconque dans  $(Z/2)^n$ , ont des mêmes successeurs. En outre, si cet état est avec  $F'(x)$  (constante à ce moment) régulière, alors la conséquence est tout à fait la même que dans I.5.2 ii).

I.5.7. UNE SERIE DE  $F_n(x)$  AYANT LA STRUCTURE ANALOGUE.

Soit une série  $F_n(x)$  ayant la structure analogue, en cas de dimensions diverses, que nous donne-t-ils, les graphes itératifs dans les différents espaces de  $(Z/p)^n$  en utilisant Newton standard ? Expérimentalement, je m'aperçois que l'analogie des structures de  $F_n(x)$  ( $n$  différents) pourrait s'être trouvée entre les graphes qui correspondent à  $F_n(x)$ . Avec laquelle, on pourrait en tirer les propriétés communes des itérations.

Voilà trois exemples qui se présentent dans les fig. 12.1, - 12.3, ( $n=6,8,20$  resp.).

I.5.8.  $F(x) : (Z/p)^n \longrightarrow (Z/p)^n$ , avec  $n$  ou  $p$  assez grand).

Lorsque  $n$  et  $p$  s'accroissent les éléments de l'espace de  $(Z/p)^n$  vont énormément accroître. Ce nombre est si grand qu'on ne peut obtenir le graphe itératif total, et qu'il nous empêche naturellement de chercher les racines de  $F(x)$ .

Avec mon algorithme, on peut quand même effectuer l'itération et obtenir certains graphes partiels que l'on veut.

Une fois que les points initiaux sont bien choisis, les propriétés itératives pourraient quand même s'exprimer dans les graphes partiels, et les racines pourraient être trouvées. Surtout la réalisation de ce travail est utile pour savoir la configuration itérative dans les grands espaces.

Voilà deux exemples, qui se trouvent dans la Fig. 13.1 Fig. 13.2). Pour  $p=2$ ,  $n=20$ . Dans ce cas, le nombre des éléments de  $(Z/2)$  est égale à 1.048576.



C H A P I T R E 2

MÉTHODE DE GAUSS-SEIDEL

Pour accélérer la convergence d'une itération d'approximations successives vers un point fixe dans le cadre continu, on utilise couramment la méthode de Gauss-Seidel (cf. [4]) qui a été transposée par F. Robert (cf. [1]) dans le cadre discret, précisément dans  $X = \{0,1\}^n$ , en utilisant un opérateur noté  $G$ , associé à une application  $H(x)$ , ( $x \in X$ ) de  $X$  dans lui-même :

Etant donnée une itération  $x^{r+1} = H(x^r) \dots$  (5)  $r=0,1,2,\dots$ ) qui correspond au mode itération parallèle, on obtient la méthode de Gauss-Seidel sur  $H$ , qui correspond au mode purement série, et qui s'écrit ci-dessous :

$$(4) \quad \left\{ \begin{array}{l} x_1^{r+1} = h_1(x_1^r, x_2^r, \dots, x_n^r) \\ x_2^{r+1} = h_2(x_1^{r+1}, x_2^r, \dots, x_n^r) \\ \dots \dots \dots \\ x_n^{r+1} = h_n(x_1^{r+1}, \dots, x_{n-1}^{r+1}, x_n^r) \end{array} \right.$$

Dans ce chapitre, on va essayer de la retransposer dans  $(Z/2)^n$ , ainsi que dans  $(Z/p)^n$  ( $p$ , premier) afin qu'on puisse bien connaître le comportement itératif de cette méthode dans notre contexte.

## II.1. PREPARATION NECESSAIRE

On tient toujours à chercher les racines d'une application  $F$  de  $(\mathbb{Z}/p)^n$ , qui sont les points fixes du mode parallèle :

$$x^{r+1} = x^r \theta F(x^r) \quad (5') \quad (r=0,1,2,\dots)$$

d'où si on pose  $H(x^r) = x^r \theta F(x^r)$  cela devient  $x^{r+1} = H(x^r)$  (avec les opérations dans  $\mathbb{Z}/p$ ).

### REMARQUE 1

Les points fixes du mode série (4) sont évidemment les mêmes que ceux de (5).

### REMARQUE 2

Rappelons la méthode de Newton simplifiée :

$$x^{r+1} = x^r \theta A^{-1} \theta F(x^r) \quad (2)$$

dans laquelle, si l'on pose  $A=I$ , (2) sera devenu la forme (5') c'est-à-dire que le mode parallèle (5') est un cas particulier de la méthode de Newton simplifiée, sur lequel on va expérimenter la méthode de Gauss-Seidel.

Rappelons quelques notions standard dans le cadre d'itérations sur  $X = \{0,1\}^n$ , (cf. [1]).

1. Chaque matrice  $A$  ( $n,n$ ) booléenne possède au moins une valeur propre (soit 0, soit 1), dont la plus grande ( $0 < 1$ ) est appelée son rayon spectral booléen  $\rho(A)$  (cf. [1]).

2.  $\rho(B(H)) = 0$  est une condition nécessaire et suffisante pour que l'opérateur  $H(x)$  soit contractant (où  $B(H)$  est la matrice d'incidence de l'opérateur  $H$ ).

3. Cette condition est équivalente à  $[B(H)]^p = 0$  (à droite, la matrice nulle ; à gauche : la puissance booléenne, avec  $p$  entier  $\leq n$ ), et aussi à dire qu'il existe une matrice de permutation  $p$ , telle que  $p^t [B(H)] p$  soit une matrice triangulaire inférieure stricte.

4. La contraction de l'opérateur  $H$ , ( $\rho(B(H)) = 0$ ) est une condition suffisante, pour que premièrement il existe un seul point fixe  $\xi \in X$  de  $H$ ; deuxièmement l'itération (5) stationne en  $\xi$  au bout de  $p$  pas au plus ( $p \leq n$ ), quelque soit le point de départ, ce qui revient à dire que le graphe d'itération de  $H$  est simple (un seul bassin, avec un point fixe).

5. Sous la condition de  $H(x)$  contractant dans  $X = \{0,1\}^n$ , l'opérateur série  $G$ , est aussi contractant et au moins autant que  $H(x)$ . Donc le graphe de l'itération (4) est lui-aussi simple.

## 11.2. ELEMENTS PROPRES DANS $(Z/2)^n$

La seule différence entre l'addition  $1+1=1$  dans  $\{0,1\}^n$ , et l'addition  $1+1=0$  dans  $Z/2$  entraîne une grande différence quant à l'existence d'éléments propres de matrices à éléments dans  $\{0,1\}$  ou dans  $Z/2$ .

Avant d'effectuer l'itération dans  $(Z/2)^n$ , il est besoin de bien connaître les éléments propres dans  $Z/2$ , et leurs fonctions dans la convergence locale. Dans ce paragraphe on rappellera rapidement leurs définitions et quelques propriétés et conséquences principales.

Soit  $B(n,n)$  une matrice à éléments dans  $Z/2$ .

### DEFINITION

Un vecteur  $u$  ( $u \neq 0$ ) de  $(Z/2)^n$  est dit vecteur propre de  $B$ , s'il existe  $\lambda \in Z/2$  tel que :

$$B \otimes u = \lambda \otimes u \quad (\text{opérations de } Z/2)$$

sera alors appelée valeur propre de  $B$  attachée au vecteur propre  $u$ .

DEFINITION

(B) désignera "la plus grande valeur propre" de B, si B en possède au moins une (0 ou 1), celle-ci sera appelé le rayon spectral de B.

PROPOSITION 1

Pour qu'une matrice B à éléments dans  $Z/2$  admette 0 pour valeur propre, il faut et il suffit que B soit singulière.

PROPOSITION 2

Pour qu'une matrice B admette 1 pour valeur propre (i.e.  $\bar{\rho}(B) = 1$ ), il faut et il suffit que la matrice  $B = I \ominus B$  soit singulière.

Bien entendu, B et  $\bar{B}$  satisfont le système suivant

$$BX = \lambda X$$

$$BX = \bar{\lambda} X \quad \text{où } \lambda \in Z/2, \bar{\lambda} = \lambda \ominus 1$$

COROLLAIRE 1

Pour qu'une matrice B admette uniquement 0 pour valeur propre (i.e.  $\bar{\rho}(B) = 0$ ) il faut et il suffit que B soit singulière et  $\bar{B}$  soit régulière.

COROLLAIRE 2

Pour qu'une matrice B n'ait aucune valeur propre, il faut et il suffit que B et  $\bar{B}$  soient régulières.

Exemples

$$B = \begin{pmatrix} 1 & 1 \\ 1 & 0 \end{pmatrix}, \text{ alors } \bar{B} = \begin{pmatrix} 0 & 1 \\ 1 & 1 \end{pmatrix} \text{ sont régulières.}$$

Ni B ni  $\bar{B}$  n'admettent de valeurs propres.

Selon la définition, si B a une valeur propre soit 0, soit 1 alors B devrait satisfaire soit le système  $B \cdot X = x$ , soit le système  $B \cdot X = 0$ . Mais ni l'un ni l'autre ne peuvent être résolus dans  $(Z/2)^n$ .

REMARQUE

Si une matrice  $B(n,n)$  à éléments de  $Z/2$  admet uniquement 0 pour valeur propre (i.e.  $\bar{\rho}(B) = 0$ ), alors il existe un entier p tel que  $B^p$  (puissance dans  $Z/2$ ) soit matrice nulle, soit B elle-même.

Exemples

$$\begin{aligned}
 \text{i)} \quad B &= \begin{pmatrix} 0 & 0 & 0 \\ 1 & 0 & 0 \\ 0 & 0 & 0 \end{pmatrix}, \quad B^2 = 0 \quad ; \quad B = \begin{pmatrix} 1 & 1 & 0 \\ 0 & 0 & 1 \\ 1 & 1 & 0 \end{pmatrix} \quad B^4 = B. \\
 \text{ii)} \quad B &= \begin{pmatrix} 1 & 0 & 1 & 0 \\ 0 & 0 & 1 & 0 \\ 0 & 1 & 1 & 1 \\ 1 & 0 & 0 & 0 \end{pmatrix} \quad B^4 = 0 \quad ; \quad B = \begin{pmatrix} 1 & 0 & 1 & 0 \\ 0 & 0 & 1 & 0 \\ 0 & 1 & 1 & 1 \\ 1 & 0 & 1 & 0 \end{pmatrix} \quad B^8 = B.
 \end{aligned}$$

Rappelons dans (1), la condition "il existe un entier  $p \leq n$  tel que  $B^p = 0$  (puissance booléenne)" est celle nécessaire et suffisante pour que  $\rho(B) = 0$  (le rayon spectral booléen). La propriété correspondante dans  $(Z/2)^n$  n'existe plus, en réalité on a la :

PROPOSITION 3

Soit B une matrice à éléments dans  $Z/2$ .  
 s'il existe p un entier ( $\geq 1$ ) tel que  $B^p = 0$  (puissance dans  $Z/2$ )  
 alors  $\bar{\rho}(B) = 0$ .

Pour certaines matrices, on a par exemple la :

PROPOSITION 4

Soit une matrice  $B(n,n)$  à éléments de  $Z/2$  ayant au plus un seul 1 par colonne, si  $\bar{\rho}(B) = 0$  (rayon spectral dans  $Z/2$ )  
 alors, il existe un entier  $p \leq n$  tel que la puissance dans  $Z/2$   
 $B^p = 0$  (matrice nulle).

Bien qu'il y ait grande différence entre les éléments propres booléens et ceux dans  $Z/2$ , avec la proposition 3 et 4, on a quand même une condition nécessaire et suffisante qui correspond à celle dans [1].

PROPOSITION 5

Soit  $\xi = H(\xi)$  un point fixe de  $H$  dans  $(Z/2)^n$ , pour que  $\xi$  soit attractif dans son voisinage immédiat, il faut et il suffit que

- 1)  $H'(\xi)$  (dérivée dans  $(Z/2)^n$ ) ait au plus un seul 1 par colonne
- 2)  $\bar{\rho}(H'(\xi)) = 0$  (le rayon spectral dans  $Z/2$ ).

Oui, car pour des matrices  $B$  à éléments dans  $\{0,1\}$  ayant au plus un 1 par colonne, on a

$$\forall p \quad \overset{\otimes}{B^p} = B^p$$

puissance    puissance  
dans  $Z/2$     booléenne

Donc

$$\bar{\rho}(B) = 0 \quad \Leftrightarrow \quad \rho(B) = 0$$

dans  $Z/2$                       booléen

II.3. LE COMPORTEMENT ITERATIF DE GAUSS-SEIDEL POUR  $F(x)$   
DONNEE ARBITRAIREMENT.

En effectuant la méthode de Gauss-Seidel sur des exemples pris au hasard, j'ai eu l'impression générale que les graphes de l'itération (4) ( $H(x)$  associé à  $F(x)$ ) ressemblent à ceux de la méthode de Newton-simplifiée, mais en étant "plus contractants".

II.3.1. CONFIGURATION DU GRAPHE D'ITERATION

Rappelons la proposition 1 de I.4.1 ; parallèlement on a :

PROPOSITION 1

Dans le graphe de Gauss-Seidel, un point quelconque dans  $(Z/p)^n$  a un et seulement un successeur qui va poursuivre jusqu'à ce qu'un point fixe ou un cycle se paraisse.

En effet,  $x^{r+1}$  est défini de manière unique à partir de  $x^r$  et on itère sur un ensemble fini.

#### REMARQUE 1

La longueur du transitoire est variable selon les cas. Quelque fois elle est supérieure à  $n$  (cf. fig. 16.4), quelque fois elle est inférieure à  $n$  (cf. Fig. 14.2, fig. 15.2). En tout cas, elle est sûrement inférieure à celle du mode parallèle correspondant (comparaison fig. 14.1 et Fig. 14.2 ; Fig. 15.1 et Fig. 15.2 ; Fig. 15.3 et Fig. 15.4 ; Fig. 16.1 et Fig. 16.2 ; Fig. 16.3 et Fig. 16.4).

#### REMARQUE 2

Expérimentalement les longueurs des cycles en méthode de Gauss Seidel ne sont généralement pas grandes. La fréquence des cycles de longueur 2 paraît plus souvent que les autres (cf. Fig. 15.2 ,  $p=2$  ,  $n=5$  ; Fig. 17.2 ,  $p=2$  ,  $n=4$  ; Fig. 17.3 ,  $p=n=3$  ; Fig. 18.1 ,  $p=5$  ,  $n=2$ ) . Les cycles de grandes longueur sont rares, (cf. Fig. 14.2 , longueur 5 , avec  $p=2$  ,  $n=5$ ). En cas particulier, cette longueur peut dépasser beaucoup plus que  $n$  (cf. Fig. 21.1, Fig. 21.4). En tout cas, la longueur de cycle en méthode de Gauss-Seidel ne dépasse pas celle en mode parallèle correspondant associé à même table de  $F$ .

#### REMARQUE 3

Le nombre de cycles est effectivement faible (cf. Fig. 14 ~ Fig. 17)

#### REMARQUE 4

Lorsqu'on change la table de la fonction  $F(x)$  à laquelle  $H(x)$  est associée, en imposant qu'un point choisi  $x$  devienne racine, cela change non seulement (pour Gauss-Seidel) le successeur de ce point (qui devient  $x$  lui-même), mais éventuellement cela peut

changer les successeurs de ses voisins immédiats (cf. Fig. 15.2 et Fig. 15.4 ; Fig; 16.2, Fig. 17.3, Fig. 17.4).

II.3.2. CONVERGENCE LOCALE.

PROPOSITION 2

Dans l'itération de Gauss-Seidel (4), pour que  $x^{r+1}$  soit une racine  $a$  de  $F$ , lorsque  $x^r$  étant le  $j$ ème voisin à droite (ou à gauche) de  $a$  il faut et il suffit que la  $j$ ème colonne de la matrice  $F'_d(a)$  (ou  $F'_g(a)$ ), notée  $\Delta_j$ , vérifie la condition suivante :

$$\delta_1 = \dots = \delta_{j-1} = 0 \text{ (si } j > 1) \text{ et } \delta_j = 1$$

où  $\Delta_j = (\delta_1, \dots, \delta_{j-1}, \delta_j, \dots, \delta_n)^t$

DEMONSTRATION

L'itération (4) peut s'écrire de la façon suivante :

$$(4) \left\{ \begin{array}{l} \chi_1^{r+1} = \chi_1^r \ominus f_1(\chi_1^r, \dots, \chi_n^r) \\ \dots \\ \chi_{j-1}^{r+1} = \chi_{j-1}^r \ominus f_{j-1}(\chi_1^{r+1}, \dots, \chi_{j-2}^{r+1}, \chi_{j-1}^r, \dots, \chi_n^r) \\ \chi_j^{r+1} = \chi_j^r \ominus f_j(\chi_1^{r+1}, \dots, \chi_{j-1}^{r+1}, \chi_j^r, \dots, \chi_n^r) \\ \chi_{j+1}^{r+1} = \chi_{j+1}^r \ominus f_{j+1}(\chi_1^{r+1}, \dots, \chi_j^{r+1}, \chi_{j+1}^r, \dots, \chi_n^r) \\ \dots \\ \chi_n^{r+1} = \chi_n^r \ominus f_n(\chi_1^{r+1}, \dots, \chi_{n-1}^{r+1}, \chi_n^r) \end{array} \right.$$

d'où  $F(x) : (Z/p)^n \rightarrow (Z/p)^n$ ,  $F(x) = (f_1(x), \dots, f_n(x))$   
 $f_i(x) : (Z/p)^n \rightarrow Z/p$ ,  $(i=1, 2, \dots, n)$ .

Condition suffisante :

Selon I.2. remarque (3), on a  $F(x^r) = F'_d(a) \otimes (x^r \ominus a)$

qui devient :  $F(x^r) = F'_d(a) \otimes e_j = \Delta_j$ , ou bien :

$$f_i(x^r) = \begin{cases} 0 & i < j \\ 1 & i = j \dots (w) \\ \delta_i & n \geq i > j \end{cases}, \text{ d'ailleurs, on a } x_i^r = \begin{cases} a_i \ominus 1 & \text{si } i=j \\ a_i & \text{sinon} \end{cases} \quad (w')$$

Dans (4') selon (w) et (w') on a ( $j > 1$ )

$$x_1^{r+1} = x_1^r \ominus f_1(x^r) = x_1^r \ominus 0 = a_1 ;$$

Pour  $2 \leq i \leq j-1$ ,

$$\begin{aligned} x_i^{r+1} &= x_i^r \ominus f_i(x_1^{r+1}, \dots, x_{i-1}^{r+1}, x_i^r, \dots, x_n^r) = x_i^r \ominus f_i(a_1, \dots, a_{i-1}, x_i^r, \dots, x_n^r) \\ &= x_i^r \ominus f_i(x_i^r, \dots, x_n^r) = x_i^r = a_i ; \end{aligned}$$

Ensuite ( $j \geq 1$ )

$$\begin{aligned} x_j^{r+1} &= x_j^r \ominus f_j(x_1^{r+1}, \dots, x_{j-1}^{r+1}, x_j^r, \dots, x_n^r) = x_j^r \ominus f_j(a_1, \dots, a_{j-1}, x_j^r, \dots, x_n^r) \\ &= x_j^r \ominus f_j(x^r) = x_j^r \ominus 1 = a_j ; \end{aligned}$$

pour  $n \geq i \geq j+1$ ,

$$\begin{aligned} x_i^{r+1} &= x_i^r \ominus f_i(x_1^{r+1}, \dots, x_j^{r+1}, \dots, x_{i-1}^r, x_i^r, \dots, x_n^r) \\ &= x_i^r \ominus f_i(a_1, \dots, a_j, \dots, a_n) = x_i^r \ominus f_i(a) = x_i^r = a_i ; \end{aligned}$$

Finalement, on en résulte que  $x_i^{r+1} = a_i$ , ( $i=1, \dots, n$ ), soit  $x^{r+1} = a$ .

Condition nécessaire : Si l'on a (w)' et l'égalité suivante :

$$x_i^{r+1} = a_i, \quad (i=1, \dots, n)$$

On pourrait les ramener à (4)' :

$$f_1(x^r) = f_1(x_1^r, \dots, x_n^r) = x_1^r \ominus x_1^{r+1} = x_1^r \ominus a_1 = a_1 \ominus a_1 = 0 \quad (j > 1)$$

Pour  $2 \leq i \leq j-1$  :

$$\begin{aligned} f_i(x^r) &= f_i(a_1, \dots, a_{i-1}, x_i^r, \dots, x_n^r) = f_i(x_1^{r+1}, \dots, x_{i-1}^{r+1}, x_i^r, \dots, x_n^r) \\ &= x_i^r \ominus x_i^{r+1} = x_i^r \ominus a_i = 0 \end{aligned}$$

Pour  $i=j$  ( $j \geq 1$ ) :

$$\begin{aligned} f_j(x^r) &= f_j(a_1, \dots, a_{j-1}, x_j^r, \dots, x_n^r) = f_j(x_1^{r+1}, \dots, x_{j-1}^{r+1}, x_j^r, \dots, x_n^r) \\ &= x_j^r \ominus x_j^{r+1} = x_j^r \ominus a_j = a_j \oplus 1 \ominus a_j = 1 \end{aligned}$$

Quant aux autres  $f_i(x^r)$ , ( $n \geq i > j$ ), ils peuvent être quelconque dans  $Z/p$ . Ainsi on a établi l'égalité (w) qui illustre que  $\Delta_j$ , la  $j$ ième colonne de  $F'_d(x)$  (ou  $F'_g(x)$ ), possède la propriété énoncée.

On peut trouver quelques vérifications dans Fig. 17.1 et Fig. 17.2. Il en résulte donc la :

PROPOSITION 3

Dans l'itération de Gauss-Seidel (4), pour que  $x^{r+1}$  soit une racine  $a$  de  $F$ , quelque soit  $x^r$  dans  $V_d(a)$  (ou  $V_g(a)$  resp.) il faut et il suffit que  $F'_d(a)$  (ou  $F'_g(a)$ ) soit une matrice triangulaire inférieure à une diagonale pleine de 1.

Quelques exemples se trouvent dans Fig. 16.4, Fig. 19.2, et Fig. 19.6.

REMARQUE 5

Rappelons qu'en utilisant le mode parallèle, selon I.4.1 ii), " $F'_d(a)$  (ou  $F'_g(a)$ ) = I" est une condition nécessaire et suffisante pour que  $x^{r+1}$  soit une racine de  $F$  pour tout  $x^r \in V_d(a)$  (ou  $V_g(a)$ ).

Cette condition du point de vue de la convergence locale est beaucoup plus restrictive que celle de la proposition 3 ci-dessus en utilisant le mode-série (Gauss-Seidel) (cf. Fig. 16.3 et Fig. 16.4).

REMARQUE 6

Quant à l'attraction dans le voisinage immédiat d'une racine  $a$  de  $F$  dans  $(Z/2)^n$ , elle ne peut pas être garantie. La Fig. 14.3 et la Fig. 14.4 en donnent une illustration. Un exemple dans lequel une telle attraction a été vérifiée. Grâce à la structure de  $G'(x)$  se présente dans la Fig. 18.4 (comparer avec Fig. 18.3).

Dans l'itération de Gauss-Seidel 4 (ou (4)'), la détermination du successeur d'un point  $x^r$  quelconque appartenant à  $(Z/p)^n$  dépend des valeurs respectives de  $F$  aux points suivants :

$$x^r = (\chi_1^r, \dots, \chi_n^r), \quad c^1 = (\chi_1^{r+1}, \chi_2^r, \dots, \chi_n^r), \quad c^2 = (\chi_1^{r+1}, \chi_2^{r+1}, \chi_3^r, \dots, \chi_n^r), \\ \dots \quad c^{n-1} = (\chi_1^{r+1}, \dots, \chi_{n-1}^{r+1}, \chi_n^r)$$

qui constituent un ensemble de points :  $S = \{x^r, c, \dots, c^{n-1}\}$   
dans lequel les points ne sont pas forcément différents l'un à l'autre. Alors on a la :

PROPOSITION 4

Pour que  $x^{r+1}$  soit une racine  $a$  de  $F$  pour  $x^r \in (Z/p)^n$ , il suffit que cette racine  $a$  appartienne à  $S$ .

Il n'est pas difficile de la prouver, à l'aide de la démonstration de la condition suffisante de la proposition 2 dans ce paragraphe.

II.4. LE COMPORTEMENT ITERATIF DE GAUSS-SEIDEL POUR  $F(x)$  DONNE PAR DES EXPRESSIONS POLYNOMIALES.

Dans ce paragraphe, on va donner une impression générale, en examinant quelques exemples pour des applications  $F$  données par des expressions polynomiales.

II.4.1. LES COMPOSANTES DE  $F(x)$  AYANT LA FORME TRIANGULAIRE INFÉRIEURE PAR RAPPORT AUX VARIABLES.

Soit  $F(x) = (f_1(x), \dots, f_n(x)) : (Z/p)^n \rightarrow (Z/p)^n$ .

d'où  $f_i(x) = f_i(x_1, x_2, \dots, x_i) : (Z/p)^n \rightarrow Z/p$ , ( $i=1, 2, \dots, n$ )

$$\text{ou bien } \begin{cases} f_1(x) = f_1(x_1) \\ f_2(x) = f_2(x_1, x_2) \\ \dots \\ f_n(x) = f_n(x_1, x_2, \dots, x_{n-1}, x_n) \end{cases}$$

$$\text{par exemple } \begin{cases} f_1(x) = x_1 + 1 \\ f_2(x) = x_1 + x_1 x_2 \\ f_3(x) = x_1 x_3 + x_2 x_3 + x_3 + 2 \end{cases} \quad (p=n=3)$$

Dans ce cas, expérimentalement l'itération de (4) (Gauss-Seidel) nous donne toujours de bons résultats au sens de convergence à la fois locale et globale.

Pour exprimer ce phénomène, il suffit de montrer que parmi des polynômes de ce genre, il est relativement facile d'en trouver certains qui satisfont les conditions suffisantes de la proposition 3 de II.3, surtout pour  $p$  assez petit.

Quelques exemples se présentent dans la Fig. 19, dans laquelle on peut aussi trouver les comparaisons avec le mode parallèle.

#### II.4.2. $\bar{F}(x)$ OBTENU PAR PERMUTATION DES COMPOSANTES DE $F(x)$

Notant  $F(x) = (f_1(x), \dots, f_i(x), \dots, f_n(x)) : (Z/p)^n \rightarrow (Z/p)^n$   
 $f_i(x) : (Z/p)^n \rightarrow Z/p, \quad (i=1, 2, \dots, n)$

Soit  $\bar{F}(x) = (f_{i_1}(x), \dots, f_{i_j}(x), \dots, f_{i_n}(x)) : (Z/p)^n \rightarrow (Z/p)^n$   
 $(i_1, \dots, i_j, \dots, i_n)$  représente une permutation de  $(1, 2, \dots, n)$

Résoudre  $F(x) = 0$ , c'est résoudre  $\bar{F}(x) = 0$ , l'itération parallèle reste inchangée. Par contre on s'apercevrait qu'en méthode de Gauss-Seidel, les configurations d'itération obtenues pour  $F$  et pour  $\bar{F}$  sont bien différentes.

Cela est en contraste frappant avec la méthode de Newton standard dans laquelle il n'y a aucune différence entre les graphes obtenus pour  $F$  et pour  $\bar{F}$  en considérant que le système

$F'_d(x^r) \otimes z = F(x^r)$  et le système  $\bar{F}'_d(x^r) \otimes z = \bar{F}(x^r)$  ont les mêmes solutions.

Cette remarque nous amène à rechercher un rangement relativement rationnel de composantes de  $F(x)$ , pour obtenir une meilleure  $\bar{F}(x)$  sur laquelle on pourrait obtenir un meilleur graphe d'itération de Gauss-Seidel.

\* Expérimentalement, si la matrice de  $F'_d(a)$  (ou  $F'_g(a)$ ) possède une diagonale pleine de 0, cela entraîne toujours de mauvais résultats, c'est-à-dire que la convergence vers cette racine a est toujours mauvaise. Dans ce cas, s'il n'y a pas d'autre racine,

- de nombreux cycles ou des cycles de grande longueur paraissent éventuellement dans le graphe d'itération (cf. Fig. 20.4, Fig. 21.1).

Pour éviter le phénomène précédent, on pourrait faire certaines permutations de composantes de  $F(x)$ , telles que la matrice de  $F'_d(a)$  (ou  $F'_g(a)$ ) soit une matrice dont les éléments distincts avec ceux correspondant de la matrice ayant la forme triangulaire inférieure et une diagonale pleine de 1, soient les moins nombreux possible.

On peut vérifier cette évolution de la Fig. 20.4 à la Fig. 20.1, de la Fig. 21.1 à la Fig. 21.3.

Bien entendu, réarranger les composantes de  $F(x)$ , revient à choisir un mode série particulier sur  $F$  (cf. r11).

II.4.3.  $F(x) : (\mathbb{Z}/p)^n \longrightarrow (\mathbb{Z}/p)^n$  avec  $p$  assez grand.

Quelques exemples avec  $p = 11$ ,  $n = 3$ , se présentent dans les figs 23.1 ~ 23.3. On y voit les graphes partiels représentant des configurations globales d'itération.



C H A P I T R E · III

COMPARAISONS DE MÉTHODES

Dans les deux chapitres précédents, on a présenté trois méthodes d'itérations discrètes que l'on rappelle ci-dessous :

Newton simplifiée : (2) :  $x^{r+1} = x^r \ominus A^{-1} \otimes F(x^r)$

(A, matrice à éléments dans  $Z/p$ , non singulière)

dont le cas particulier (A=I) est appelé : le mode purement

parallèle : (5) :  $x^{r+1} = x^r \ominus F(x^r)$

Newton standard :

$$(3) : \begin{cases} F(x^r) \otimes z = F(x^r) \\ x^{r+1} = x^r \ominus z \end{cases}$$

Gauss-Seidel (mode purement série) :

$$(4) : \begin{cases} x_1^{r+1} = x_1^r \ominus f_1(x_1^r, \dots, x_n^r) \\ x_2^{r+1} = x_2^r \ominus f_2(x_1^{r+1}, x_2^r, \dots, x_n^r) \\ \dots \\ x_n^{r+1} = x_n^r \ominus f_n(x_1^{r+1}, \dots, x_{n-1}^{r+1}, x_n^r) \end{cases}$$

(où  $F(x) = (f_1(x), \dots, f_n(x))$ ,  $f_i(x) : (Z/p)^n \longrightarrow Z/p$ ,  $(i=1, 2, \dots, n)$ ).

Dans ce chapitre on va faire des comparaisons sur la convergence, la configuration et le temps de calcul.

### III.1. COMPARAISON DES CONFIGURATIONS.

\* On voit bien que dans la méthode de Newton-simplifiée le successeur d'un point  $x^r$  quelconque dans  $(\mathbb{Z}/p)^n$  est uniquement dépendant de  $x^r$  et  $F(x^r)$ , lorsque la matrice  $A$  a été choisie.

Dans la méthode de Newton-standard, celui-ci est déterminé non seulement de  $x^r$  et  $F(x^r)$ , mais aussi des valeurs de  $F$  dans le voisinage (à droite ou à gauche) immédiat de  $x^r$ . En remplaçant ce voisinage par l'ensemble  $S$  associé à ce point ( $S$  défini dans la proposition de II.3), on pourrait dire la même chose pour la méthode de Gauss-Seidel.

\* Il existe un et seulement un successeur de  $x^r$  dans Newton-simplifiée et dans Gauss-Seidel. Il en existe éventuellement plusieurs ou il peut n'en exister aucun ( $x^r$  est alors un puits) dans Newton-standard.

\* Une fois la dimension  $n$  est fixée, le changement de  $p$  ne pourrait pas influencer sur les caractéristiques de la configurations d'itération de Newton-simplifiée ou de Gauss-Seidel dans  $(\mathbb{Z}/p)^n$ . Par contre, l'augmentation de  $p$  peut énormément faire décroître la quantité de puits et les cas où il existe plusieurs successeurs pour un point : le taux de systèmes singuliers décroît fortement (cf. l'annexe 3).

Expérimentalement, dans le graphe d'itération de Gauss-Seidel ou de Newton-standard, il existe parfois certains points ayant plusieurs flèches entrant (cela signifie que ces points pourraient être appelés attractifs) dont le nombre, semble-il, est beaucoup plus grand que dans celui de Newton-simplifiée. Cela pourrait être une des explications pour le fait que les pas d'itération de Newton-simplifiée sont plus nombreux que ceux de Newton standard et de Gauss-Seidel.

Cette impression se reflète fortement quand  $F$  possède au moins une racine.

### III.2. COMPARAISON DES CONVERGENCES

Soit  $F$  une application dans  $(\mathbb{Z}/p)^n$  dans lui-même, ayant au moins une racine : les itérations considérées ont au moins un point fixe ; on constate que le cadre de la convergence, surtout locale, paraît différemment dans les graphes de ces trois méthodes.

Soit  $a$  une racine de  $F$ .

Inconditionnellement, les points du voisinage à gauche (ou à droite) correspondant à la dérivée à droite (ou à gauche) de  $a$  convergent sur  $a$  en un seul coup, si l'on effectue l'itération de Newton-standard.

Eventuellement, les points de l'ensemble  $S$  associé à  $a$ , ainsi que ceux de son voisinage convergent sur  $a$  en un seul coup, si l'on effectue l'itération de Gauss-Seidel ou de Newton-simplifiée.

Précisément, si  $F(x)$  possède un caractère tel que la  $j$ ème colonne de la matrice de  $F'_d(a)$  (ou  $F'_g(a)$  resp.) ait la forme suivante :  $(0 \dots 0 \ 1 \ x \ x \dots x)^T$  ( $x$  désigne n'importe quel élément de  $\mathbb{Z}/p$ ), alors la  $j$ ème méthode Gauss-Seidel permet que le  $j$ ème voisin à droite (ou à gauche) de  $a$  converge sur  $a$  en un seul coup ; si la  $j$ ème colonne de  $F'_d(a)$  (ou  $F'_g(a)$ ) est identique à celle de  $A$ , alors méthode de Newton simplifiée permet que le  $j$ ème voisin à droite (ou à gauche) converge sur  $a$  en un seul coup.

Evidemment, la restriction pour satisfaire la condition de convergence en méthode de Newton-simplifiée est plus forte que celle en méthode Gauss-Seidel.

\* Quant à la convergence globale, sur le plan théorique elle ne peut pas être garantie par une condition suffisante dans mon texte. D'après ce que j'ai expérimenté, je pourrais présenter quelques intuitions suivantes :

a) L'accroissement de quantité de racines de  $F$  dans  $(\mathbb{Z}/p)^n$ , peut évidemment améliorer la situation de convergence globale, pour chacune de ces trois méthodes. Par ailleurs, ce qu'il faut souligner, est que cet effet est beaucoup plus évident sur la méthode de Newton-standard. De plus, dans ce cas, il

existe éventuellement quelques points pouvant conduire à plusieurs racines de  $F$ .

- b) Le nombre de cycles peut beaucoup détériorer la convergence globale pour chacune de ces trois méthodes : c'est-à-dire que le mauvais état de la convergence globale parait souvent lorsqu'il y a relativement de nombreux cycles.

Expérimentalement, le nombre de cycles dans Newton-standard est moindre que dans Gauss-Seidel qui est lui-même moindre que dans Newton-simplifiée.

- c) Bien entendu, le nombre de puits pour la méthode de Newton standard peut beaucoup intervenir sur la convergence globale.

- d) Quand  $p$  et  $n$  sont assez petits, où les points ne sont pas nombreux, l'état de la convergence locale peut jouer un rôle remarquable dans la globale. Mais en cas de points nombreux de  $(\mathbb{Z}/p)^n$ , cet effet va beaucoup diminuer.

Pour bien comparer, j'ai effectué beaucoup d'exemples qui permettent d'établir le tableau comparatif suivant.

( $F_i$  signifie que  $F(x)$  possède  $i$  racines ;  
 $F(x)$  obtenu au hasard).

Exemples	nombre de points pouvant conduire à une racine			nombre de points ne conduisant pas à une racine			nombre de puits			nombre de cycles			longueur maximum des cycles			le pas maximum du transitoire aboutissant à un point fixe			le pas maximum du transitoire aboutissant à un cycle			le pas maximum aboutissant à un puits			nombre de points pouvant conduire à deux racines			temps de calcul x			total	
	I	II	III	I	II	III	I	II	III	I	II	III	I	II	III	I	II	III	I	II	III	I	II	III	I	II	III	I	II	III		
I : Méthode de Newton-standard II : Méthode de Gauss-Setdel III : Méthode de Newton-simplifiée	1	6	1	1	19	24	24	5	1	2	1	2	4	9	3	0	0	7	7	5	0	/	0.337	0.281	0.375	F <sub>1</sub> (une racine)	p=5 n=2	nombre de points dans (Z/p) <sup>n</sup>	25	0.335	0.284	0.393
	2	16	25	1	9	0	24	4	0	0	1	/	5	5	8	0	/	/	/	8	3	/	0.386	0.302	0.417							
	3	7	25	3	16	0	22	3	1	0	1	5	/	9	4	8	1	5	/	5	3	/	0.340	0.279	0.377							
	4	11	1	4	14	24	20	4	1	1	2	4	5	3	4	0	3	3	5	6	0	/	0.332	0.281	0.374							
I : Méthode de Newton-standard II : Méthode de Gauss-Setdel III : Méthode de Newton-simplifiée	5	10	25	2	15	0	23	2	1	0	2	4	/	3	3	9	0	5	/	5	0	0	0.335	0.284	0.393	F <sub>2</sub> (deux racines)	p=5 n=2	nombre de points dans (Z/p) <sup>n</sup>	25	0.335	0.284	0.393
	6	23	25	5	2	0	20	2	0	0	2	/	5	7	7	2	/	/	/	3	0	0	0.368	0.311	0.382							
	7	8	9	2	17	16	23	3	1	1	2	3	5	3	2	4	0	5	4	8	3	1	0.339	0.289	0.375							
	8	23	15	22	2	10	3	2	0	1	1	1	5	3	5	3	5	/	1	0	0	1	0.333	0.281	0.373							
I : Méthode de Newton-standard II : Méthode de Gauss-Setdel III : Méthode de Newton-simplifiée	9	19	25	4	6	0	21	3	0	0	3	/	5	4	4	1	/	/	/	4	2	1	0.331	0.281	0.373	F <sub>3</sub> (trois racines)	p=2 n=5	nombre de points dans (Z/p) <sup>n</sup>	32	0.692	0.401	0.539
	10	20	25	11	5	0	14	4	0	0	1	/	2	4	7	4	/	/	/	8	1	0	0.339	0.285	0.372							
	11	10	32	13	22	0	9	14	1	0	2	2	/	2	3	5	8	0	/	8	4	/	0.692	0.401	0.539							
	12	10	1	1	22	31	31	14	1	1	1	2	4	2	2	0	0	0	3	13	4	/	0.677	0.401	0.504							
I : Méthode de Newton-standard II : Méthode de Gauss-Setdel III : Méthode de Newton-simplifiée	13	7	2	29	25	30	3	16	1	1	1	2	2	2	2	1	11	0	4	1	4	/	0.635	0.386	0.503	F <sub>1</sub> (une racine)	p=2 n=5	nombre de points dans (Z/p) <sup>n</sup>	32	0.616	0.384	0.516
	14	9	9	2	23	23	30	17	1	1	2	2	8	2	2	1	6	0	4	6	3	/	0.616	0.384	0.516							
	15	19	32	18	13	0	14	11	0	0	1	/	2	5	7	7	/	/	/	6	4	3	0.680	0.397	0.505							
	16	14	8	10	18	24	22	13	0	1	1	/	3	2	3	2	4	/	/	11	2	4	0.683	0.391	0.506							

### III.3. INDICATIONS PRATIQUES.

Etant donnée une application  $F$  dans  $(\mathbb{Z}/p)^n$ , nous allons donner quelques recommandations pour choisir l'une des trois méthodes étudiées dans le but de déterminer les racines de  $F$ .

Utiliser la méthode de Newton-standard pour  $F(x)$  linéaire ou fortement linéaire.

Dans le premier chapitre, on a prouvé à la fois théoriquement et expérimentalement que cette méthode entraîne toujours de très bons résultats (cf. Fig. 7.2). Mais en utilisant la méthode de Gauss-Seidel, il n'est pas sûr qu'on puisse obtenir le résultat désiré (cf. Fig. 24.3).

Utiliser la méthode de Gauss-Seidel pour  $F(x)$  ayant la forme triangulaire inférieure par rapport aux variables.

D'après ce qu'on a raconté dans II.4.1, la méthode de Gauss-Seidel entraîne toujours de bons résultats, car la forme de  $F(x)$  convient alors bien au caractère triangulaire de cette méthode (cf. Fig. 19.2). Mais sur le même  $F(x)$ , l'effet des autres méthodes n'est pas aussi brillant que le précédent.

Eventuellement, le résultat de Newton standard reste encore bon, (cf. Fig. 24.1, Fig. 24.2).

Utiliser la méthode de Newton-standard, au cas où il existe des composantes de  $F(x)$  étant identiques.

Bien que le graphe d'itération soit un peu compliqué (plusieurs flèches sortant d'un point), car la Jacobienne a toujours au moins 2 lignes identiques, donc est singulière, le nombre de puits est relativement petit, d'ailleurs, il existe beaucoup de points pouvant conduire vers une ou plusieurs racines, autrement dit, si l'on démarre à partir d'un point initial quelconque, on pourrait prévoir la grande probabilité de trouver une ou même toutes les racines de  $F$ , en quelques coups d'itérations (cf. Fig. 10.2). Mais la méthode de Newton-simplifiée et de Gauss-Seidel restent toujours insensibles à ce caractère de  $F$ .

Utiliser la méthode de Newton-standard pour  $F(x)$  ayant certains caractères symétriques.

Car, dans ce cas, en passant les résolutions du système (3), cette méthode peut refléter ces caractères symétriques dans le graphe d'itération beaucoup mieux qu'en utilisant les deux autres méthodes, (cf. Fig. 11.1).

#### III.4. COMPARAISON DES TEMPS DE CALCUL

Dans la méthode de Newton-standard, en partant d'un point  $x^r$  dans  $(\mathbb{Z}/p)^n$ , pour obtenir  $x^{r+1}$ , on doit résoudre un système linéaire. Généralement, cela va dépenser assez de temps de calcul. Dans la méthode de Newton simplifiée, il faudrait d'abord calculer l'inverse de la matrice  $A$  et puis au cours de l'itération, il s'agit toujours de multiplication de la matrice et le vecteur. Le temps de calcul ne peut pas être négligeable.

Dans la méthode de Gauss-Seidel, pour un point  $x^r$  de  $(\mathbb{Z}/p)^n$ , il s'agit que de la modification de ses composantes avec laquelle on cherche le successeur de  $x^r$ .

Effectivement, toute fois que  $p$  et  $n$  sont choisis, pour obtenir le graphe d'itération global, la dépense de temps en méthode de Gauss-Seidel reste toujours la moindre par rapport à celles en méthode de Newton-simplifiée et de Newton-standard. Cet effet deviendrait plus frappant lorsque  $p^n$  croît. (Cf. le tableau de ce chapitre).

### III.5. CONCLUSION

J'ai ainsi pu obtenir une connaissance empirique relativement globale sur chacune de ces trois méthodes itératives dans  $(\mathbb{Z}/p)^n$ . Dans ce qui suit, je voudrais présenter quelques points de vue pour conclure ce travail.

- a) Il vaut mieux abandonner la méthode de Newton simplifiée, car dans la pratique, on n'en voit pas les avantages, quelque soit le point de vue adopté.
- b) En ce qui concerne la méthode de Newton-standard et celle de Gauss-Seidel : chacune a sa propre caractéristique au cours de l'itération. On ne peut pas distinguer simplement ce qui est relativement la meilleure des deux.
- c) Expérimentalement, dans Newton-standard, il y a d'un tiers à la moitié des points de  $(\mathbb{Z}/p)^n$  pouvant conduire au moins vers une racine pour  $F(x)$  général. Dans Gauss-Seidel, on ne peut pas simplement donner une proportion de tels points, mais parmi de nombreux exemples pour  $F(x)$  toujours général, il y a à peu près la moitié des cas où les points conduisant vers une racine représentant une grande proportion des points de  $(\mathbb{Z}/p)^n$ .
- d) Expérimentalement, avant d'effectuer l'itération dans  $(\mathbb{Z}/p)^n$  sur une série de  $F_n(x)$  avec  $n$  assez grand, il vaut mieux d'abord prendre des exemples avec  $n$  assez petit. Car en examinant les graphes de ces exemples (plus faciles, plus économes), on pourrait découvrir les caractéristiques essentielles du graphe d'itération sur cette série de  $F_n(x)$ .
- e) Je n'arrive pas à trouver un moyen de savoir si toutes les racines de  $F(x)$  pourraient être trouvées en effectuant certaine itération partielle lors de  $p^n$  assez grand.

- f) Je n'arrive pas à trouver un moyen de pouvoir sûrement améliorer une mauvaise convergence de l'itération.
- g) Je ne sais pas s'il y a de la valeur pour chercher la racine de  $F(x)$  dans  $(\mathbb{Z}/p)^n$ , lorsqu'on utilise une méthode itérative combinant les caractéristiques à la fois de Newton-Standard et de Gauss-Seidel : on obtiendrait alors l'analogue des méthodes du type Quasi-Newton étudiées dans  $\mathbb{R}^n$  (cf. [5] et [7]).

A la fin, je voudrais souligner que ce travail est fait par un Oriental en Occident, cela nous fait rappeler un proverbe chinois qui disait

*" C'est le même soleil qui se lève à l'Orient  
et se couche à l'Occident ".*



ANNEXE 1 : ALGORITHMES ET PROGRAMMES

Algorithme.

1. Un programme principal pour réaliser l'itération sur  $(Z/p)^n$  en méthode de Newton-standard, nommé itezp, va se présenter ci-dessous en langage 'fortran'

$m$  (entier positive) - désigne le numéro du point présent

$b(i)$  (tableau) - conservateur des points passés

$nn(i)$  (tableau) - les traces de l'itération de points  
(d'où, 888, 999 sont deux signaux séparant les points sectionnés.

$r(i,j)$  (tableau avec deux dimensions - conservateur des nouveaux points de départ provenus des solutions des systèmes  $F'(x^r) \otimes z = F(x^r) \dots (3')$

- (1) S'il ne reste plus de point initial, aller à (10) sinon faire entrer un point  $x^r$  dont le numéro est  $m$
- (2) Faire comparer  $m$  avec le contenu de  $b(i)$   
Si  $m$  est déjà dans  $b(i)$  aller à (3), sinon faire marquer  $m$  dans  $b(i)$  et dans  $nn(i)$  et puis aller à (5).
- (3) Marquer  $m$  et 999 dans  $nn(i)$ . Si  $m$  vient de (1) sans calcul retourner à (1).
- (4) Si  $r(i,j)$  non vide, prendre un point dont le numéro est le nouveau  $m$  retourner à (2), sinon retourner à (1)
- (5) En utilisant  $m$  former le vecteur  $x^r$  avec lequel procurer  $F(x^r)$  soit par une table, soit par un tableau calculé en certaine formule, soit par appeler un autre sous-programme (surtout lors de  $p^n$  assez grand), si  $F(x^r)$  est un vecteur nul, marquer  $x^r$ , un point fixe, ou bien une racine trouvée de  $F(x)$
- (6) En utilisant  $x^r$  et  $F(x^r)$ , former la dérivée  $F'(x^r)$  (pour obtenir les vecteurs des voisins des  $x^r$ , faire le même que  $F(x^r)$ )
- (7) Appeler le sous-programme, nommé respn, pour résoudre le système  $F'(x^r) \otimes z = F(x^r) \dots (3')$
- (8) Si (3') n'a pas de solution, marquer 888 dans  $nn(i)$   
aller à (4)

- (9) Si (3') a de plusieurs solutions d'après (3''), on obtiendra plusieurs nouveaux points de départ. Conserver-les dans  $r(i,j)$ , en prendre un dont le numéro est nouveau  $m$ , alors, aller à (2)  
Sinon (solution unique), prendre ce nouveau point de départ dont le numéro est nouveau  $m$ , aller à (2)
- (10) La fin de l'itération totale.

2. Un des sous-programmes nommé respn pour résoudre (3').  
En prenant une manière de creuser une matrice par colonne ,  
On déroule le schémas de ce sous-programme.

$i, j$  (entiers positifs) - désignent respectivement les numéros de lignes et colonnes  
 $a(i, j)$  (tableau) - désigne une matrice  $(n \times (n+1))$  dont la dernière colonne est  $F(x^r)$  ou bien  $\bar{f}_i$   
 $I, J$  désignent deux ensembles de lignes et colonnes respectivement

Tout d'abord on donne 1 à  $j$

- (1) si  $j=n$  aller à (5)  
(2) dans  $j$ ème colonne , chercher un certain élément non nul qui est situé dans  $i$ ème ligne  
Si  $i \notin b(j)$  , et  $a(i, j) \neq 0$  , faire  $j \Rightarrow I$  ,  $i \Rightarrow b(j)$  aller à  
sinon ( $\forall i \notin b(j)$  ,  $a(i, j) = 0$ ) faire  $j \Rightarrow J$  ,  $j \Leftarrow j+1$   
retourner à (1)  
(3) dans  $i$ ème ligne faire la division ( $\oplus$ ) telle que ,  
 $a(i, j) = 1$   
(4) Faire l'élimination de ligne telle que  $a(u, j) = 0$   
( $1 \leq u \leq n$  ,  $u \neq i$ ) ,  $j \Leftarrow j+1$  aller à (1)  
(5) Soit  $J = \{j_1, j_2, \dots, j_k\}$  ,  $I = \{i_1, i_2, \dots, i_k\}$  , ( $k+l = n$ )  
Si  $J$  est vide ou bien  $k = n$   
 $z(i) = a(b(i), n+1)$  (solution) , ( $i=1, \dots, n$ )  
aller à (9)

- (6) Si certain  $i_t \notin b(j)$  tel que  $\bar{f}_{i_t} \neq 0$   
marquer solution  $z$  impossible, aller à (9)  
Sinon supposer  $v = 1$
- (7) Prendre vème possibilité de combinaison de  $x_{j_1}, \dots, x_{j_l}$   
qui peuvent être n'importe quel nombre dans  $\mathbb{Z}/p$ , comme  
composantes de solutions  $z_v$ .
- (8) D'après le système évolué et  $x_{j_1}, \dots, x_{j_l}$  déjà fixés,  
calculer les autres composantes  $x_{i_1}, \dots, x_{i_k}$  de  $z_v$   
Si  $v \neq p^k$ , faire  $v \leftarrow v+1$ ,  
aller à (7)
- (9) La fin de ce sous-programme.

```

integer g,w,u,s,b,a,r,d,y,p,fzp
logical papop
dimension d(2,3),lx(2),y(49,4),lz(2),r(12,2),nn(300),u(17),u(17),a(49,2),b
lc(49),jj(49),g(2)
444 format(i4,3x,f5.3)
222 format(25i4)
111 format(1x,'vd :(',5(i3,',',')')')
200 format((6x,2i3,3x,2i3))
1200 format((4(1x,i1)))
600 format(100i4)
333 format((5(1x,i3)))
read(40,200)((y(1,j),j = 1,4),i = 1,49)
i1 = 0
kk = 0
ik = 0
n = 2
p = 7
do 23 mm = 1,p ** n
m = mm - 1
if(i1.eq.0) goto 63
42 do 41 i = 1,i1
if(m.eq.b(i)) goto 20
41 continue
63 i1 = i1 + 1
b(i1) = m
kk = kk + 1
nn(kk) = m
if(m.ne.mm-1) goto 31
k = 0
w(k) = 0
u(k) = 0
do 3 i = 1,n
lx(i) = y(mm,i)
3 continue
31 ii = 0
do 16 i = 1,n
d(1,n+1) = y(n+1,n+1)
if(d(i,n+1).ne.0) ii = ii + 1
16 continue
do 4 i = 1,n
if(lx(i).eq.p-1) goto 5
g(i) = m + p ** (n - i)
EOP goto 4
5 g(i) = m - (p-1) * p ** (n-i)
4 continue
if(ii.ne.0) goto 30
write(6,333)lx
write(6,111) g
write(6,333)((y(g(i)+1,n+j),i = 1,5),j = 1,5)
30 do 7 i = 1,n
do 8 j = 1,n
ii = y(g(i)+1,n+1) - y(n+1,n+j)
d(j,i) = fzp(ii)
8 continue
7 continue
call rezpn(d,lz,p,n,papop,nl,a,fzp)
if(papop) goto 77
if(nl.ne.0) goto 88
ik = ik + 1
go to 13
88 k = k + 1
ii(k) = m
w(k) = n1
u(k) = 1
s = 0
if(k.eq.1) goto 54
do 2 i = 1,k - 1
s = s + w(i)
2 continue
54 do 51 i = 1,n1
do 52 j = 1,n
ii = lx(i) - a(i,j)
r(s+1,i) = fzp(ii)
52 continue
51 continue
27 i = s + u(k)
do 11 i = 1,n
lx(i) = r(j,i)
11 continue
if(u(k).eq.1) goto 14
kk = kk + 1
nn(kk) = jj(k)
goto 14
13 do 17 i = 1,n
ii = lx(i) - lz(1)
lx(1) = fzp(ii)
17 continue
14 n = 0
do 15 i = 1,n
m = m + lx(i) * p ** (n-i)
15 continue
if(.not.papop) goto 42
papop = .false.
77 kk = kk + 1
nn(kk) = 888
goto 43
20 if(nn(kk).gt.125) goto 2
kk = kk + 1
nn(kk) = m
kk = kk + 1
nn(kk) = 999
43 if(k.eq.0) goto 23
29 if(u(k).eq.w(k)) goto 28
u(k) = u(k) + 1
goto 27
28 if(k.eq.1) goto 23
k = k - 1
s = s - w(k)
goto 29
23 continue
write(6,600) nn
EOP ss = p ** n
write(6,444) ik ,ik/ss
write(6,222) b
stop

```

```

subroutine rezpna(x,ip,n,imp,ll,r,zpf)
logical imp
integer a,x,r,b,q,s1,zpf
dimension a(2,3),x(2),r(49,2),b(2),k1(2),k2(2),iy(2)
imp = .false.
n1 = 0
n2 = 0
l1 = 0
do 11 k = 1,n
  do 12 i = 1,n
    if(a(i,k).eq.0) goto 12
    if(n1.eq.0) goto 17
    do 18 j = 1,n1
      if(i.eq.b(j)) goto 12
18      continue
17      l1 = i
      n1 = n1 + 1
      k1(n1) = k
      b(n1) = l1
      goto 13
12      continue
      n2 = n2 + 1
      k2(n2) = k
      if(k.eq.n) goto 15
      goto 11
15      if(a(l1,k).eq.1) goto 19
      l2 = nzp(a(l1,k))
      do 22 j = k+1,n+1
        a(l1,j) = a(l1,j) + l2
        a(l1,j) = zpf(a(l1,j))
22      continue
19      do 23 i = 1,n
        if((i.eq.l1).or.(a(i,k).eq.0)) goto 23
        do 24 j = k+1,n+1
          if(a(l1,j).eq.0) goto 24
          a(i,j) = a(i,j) - a(i,k) + a(l1,j)
          a(i,j) = zpf(a(i,j))
24          continue
23          continue
11          continue
15          if(n2.ne.0) goto 25
          do 26 i = 1,n1
            x(i) = a(b(i),n+1)
26          continue
          goto 35
25          if(n1.ne.0) goto 27
          do 28 i = 1,..
            if(a(i,n+1).eq.0) goto 28
            goto 14
28          continue
27          do 29 i = 1,n
            do 30 j = 1,n1
              if(i.eq.b(j)) goto 29
30          continue
              if(a(i,n+1).eq.0) goto 29
              goto 14
29          continue
16          l1 = l1 ** n2
          do 31 i = 1,l1

```

```

do 32 j = 1,n2
  r(i,k2(n2-j+1)) = iy(n-j+1)
32  continue
  if(n2.eq.n) goto 31
  do 33 j = 1,n1
    il = 0
    do 34 k = 1,n2
      il = il + a(b(j),k2(k)) * r(i,k2(k))
34      continue
      r(i,k1(j)) = a(b(j),n+1) - il
33      continue
31      continue
      goto 35
14      imp = .true.
35      return
end

```

fzp.fortran

```

integer function fzp(l)
ip = 7
fzp = 1 - ip + (1/ip)
if(l.lt.0) fzp = ip + fzp
if(fzp.eq.ip) fzp = 0
return
end

```

chervp.fortran

```

subroutine chervp(nn,ip,nn,ix)
dimension ix(2)
im = nn
do 11 i = 1,nn-1
  ii = ip + (nn-1)
  do 12 j = 1,ip
    kk = j + ii
    if(im.gt.kk) goto 12
    if(im.lt.kk) goto 13
    ix(i) = j
    do 14 k = i+1,nn
      ix(k) = 0
14      continue
      goto 15
13      ix(i) = j - 1
      im = im - ix(i) * ii
      goto 11
12      continue
11      continue
EOP      ix(nn) = im
15      return
end

```

ANNEXE 2 : QUELQUES TABLEAUX THEORIQUES ET EXPERIMENTAUX

Etant donné un système d'équations linéaire dans  $(Z/p)^n$  dont la matrice de coefficients A, le vecteur de variables X, le vecteur de constantes B, sont ceux à éléments quelconques dans  $Z/p$ , peut s'écrire comme ci-dessous :

$$A \cdot X = B \quad (6)$$

Une fois que p et n sont choisis, cela va fixer le nombre de toutes les formations possibles de former le système (6), noté S, dont l'une partie serait celui des systèmes solubles, noté S1, l'autre serait celui des systèmes impossibles.

On peut aussi diviser S1 en deux parties, celle avec A régulière notée S11, celle avec A singulière, notée S12 où on note R pour le nombre de formations possibles de A singulière,  $R_r$  pour le nombre de formations possibles avec A possédant le rang r ( $r = 0, 1, \dots, n-1$ ). En brève, on a des relations suivantes :

$$S = p^{n^2} \cdot p^n$$

$$S1 = S11 + S12$$

$$S11 = p^n (p^n - 1) (p^n - p) \dots (p^n - p^{n-1})$$

$$R = \sum_{r=0}^{n-1} R_r = p^{n^2} - (p^{n-1} - 1) (p^n - p) \dots (p^n - p^{n-1})$$

$$S12 = \sum_{r=0}^{n-1} R_r \cdot p^r$$

Pour obtenir la proportion des systèmes solubles,  $\lambda_n^p (= \frac{S1}{S})$ , il faudrait procurer S12 qui dépend de la détermination de chaque  $R_r$ .

Dans ce but, je voudrais introduire un moyen d'écrire toutes les formations possibles de A à rang r avec les rangements des r vecteurs indépendants dans A dont le nombre est noté  $Tr$ , dans lequel il y a  $Lr$  répétitions de formations qui doivent être soustraits.

Voilà une série de formules pour calculer  $R_r$  :

$$R_r = T_r - L_r$$

$$T_r = p^{r(n-r)} \cdot C_n^r \cdot Q_r$$

$$Q_r = (p^n - 1)(p^n - p) \dots (p^n - p^{r-1})$$

$$L_r = \sum_{j=1}^{S_r} \frac{C_n^r \cdot Q_r \cdot j \cdot m_j}{j+1}$$

$$S_r = \sum_{i=1}^k C_{n-r}^i \cdot C_r^{r-i}, \quad (k = \min(r, n-r))$$

pour calculer  $L_r$ , j'obtiens un tableau des valeurs de  $m_j$  divers qui se présente ci-dessous. Ainsi, on pourrait obtenir un tableau de  $R_r$  et celui de  $\lambda_n^p$ .

$\frac{P}{\lambda_n}$	1	2	3	4	5	6	$\infty$
2	0.7500	0.6719	0.6394	0.6254	0.6173	0.6125	0.608
3	0.7778	0.7257	0.7100	0.7049	0.7031		0.702
5	0.8400	0.8141	0.8092	0.8081			0.808
7	0.8776	0.8625	0.8604	0.8601			0.860
11	0.9174	0.9105	0.9099				0.910
13	0.9290	0.9240					0.924
17	0.9446	0.9416					0.942
19	0.950	0.949					0.949
97	0.990						0.990
103	0.990						0.990

TABLEAU DE  $\lambda_n^p$

\* pour tout  $p$ ,  $P_n$  converge vers une limite quand  $n$  croît, le rythme s'accélère plus vite quand  $p$  croît.

\* pour  $p$  assez grand, la proportion des systèmes solubles se rapproche rapidement de 1.

\* En comparant avec l'annexe 2 de [1], on peut en trouver, lors de  $p$  assez petit, la différence évidente entre la proportion des systèmes solubles et celle de leurs matrices de coefficients qui sont réguliers. Surtout quand  $p=2$ , celle-ci paraît beaucoup plus frappante.

R <sub>r</sub> P	2		3			4				5				
	0	1	0	1	2	0	1	2	3	0	1	2	3	4
2	1	9	1	49	294	1	225	7602	37800	1	961	144150	4036200	19373760
	R = 10		R = 344			R = 45628				R = 23555072				
3	1	32	1	338	8112	1	3200	811200	17971200					
	R = 33		R = 8451			R = 18785601								
5	1	144	1	3844	461280	1	97344	311825280	36211968000					
	R = 145		R = 465125			R = 36523890625								
7	1	384	1	19494	6549984									
	R = 385		R = 6569479											
11	1	1440												
	R = 1441													
13	1	2352												
	R = 2353													

TABEAU DE R<sub>r</sub>



P	1		2		3		4		5	
	TT	TE	TT	TE	TT	TE	TT	TE	TT	TE
2	0.500	A0.500 B0.500 C 1.000	0.375	A0.500 B0.250 C 0.500	0.328	A0.375 B0.250 C 0.500	0.307	A0.375 B0.313 *0.625	0.298	A0.281 B0.344 *0.617
3	0.666	A0.667 B0.333 C 0.667	0.592	A0.333 B0.556 0.667	0.570	A0.593 B0.444 C 0.444	0.563	A0.588 B0.492 *0.705	0.561	A0.426 B0.551 *0.703
5	0.800	A0.800 B1.000 C 0.600	0.768	A0.760 B0.800 C0.720 D0.840	0.761	A0.639 B0.589 C 0.753	0.760	A0.763 B0.556 *0.808	0.760	A0.712 B0.582 *0.808
7	0.857	A1.000 B0.857 C 0.857	0.839	A0.716 B0.816 C 0.796	0.837	A0.830 B0.856 C 0.790	0.836	A0.842 B0.817 *0.860	0.836	A0.789 B0.810 *0.860
11	0.909	A0.909 B1.000 C 0.893	0.901	A0.818 B0.909 C 0.893	0.900	A0.869 B0.890	0.900	A0.866 B0.925 *0.910	0.900	A0.878 B0.917 *0.910

ANNEXE 3 : COLLEXION DES FIGURES

Finalement, je voudrais dans ces dernières pages, collectionner quelques exemples que j'ai effectué avec lesquelles j'ai dessiné beaucoup de graphes d'itérations de ces trois méthodes, qui ont été choisis selon les raisons suivantes :

1) pouvant refléter les caractéristiques générales pour  $F(x)$  donnée par une table ou des polynômes généraux.

2) pouvant présenter quelques particularités pour certains types de  $F(x)$  bien caractérisée.

3) pouvant s'exprimer quelques évolutions d'itérations pour  $F(x)$  ou ce qui associé à l'itération, ayant certaines transformations de structure.









x	F(x)
0	1
1	4
2	1
3	2
4	1
5	0
6	4
7	1
8	3
9	0
10	4
11	1
12	1
13	3
14	1
15	4
16	0
17	1
18	4
19	0
20	1
21	1
22	2
23	3
24	1
25	2
26	4
27	2
28	4
29	2
30	4
31	4
32	4
33	4
34	4
35	4

Newton simplifiée sur  $F_1$

$p=5, n=2, A = \begin{pmatrix} 3 & 1 \\ 4 & 2 \end{pmatrix}$

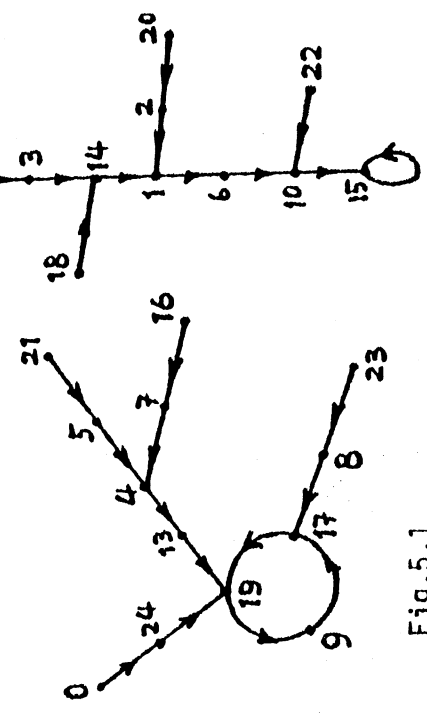


Fig.5.1

Newton standard sur  $F_1$

$p=5, n=2$

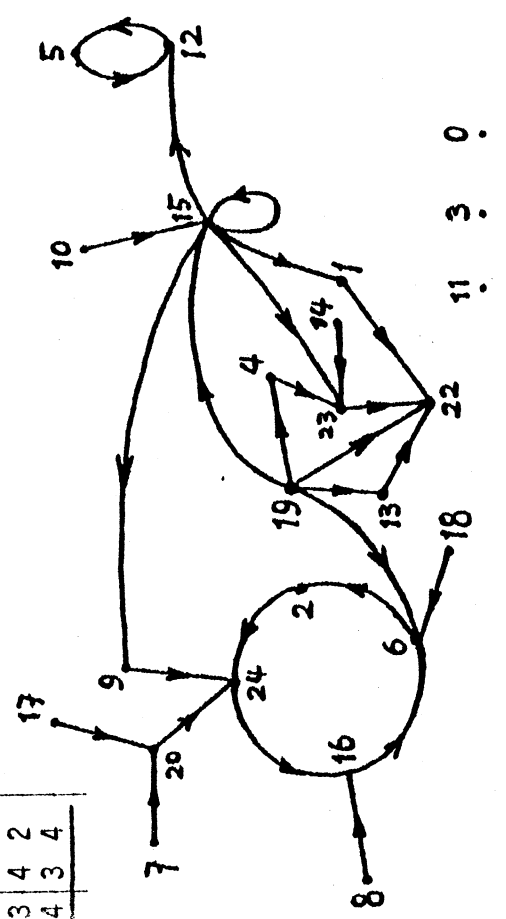


Fig.5.2

Newton simplifiée  $p=5, n=2$

Dans la table on remplace  $F(8), F(15), F(22), F(7), F(13), F(9)$  par  $(0 \ 0), (3 \ 1), (3 \ 1), (1 \ 2), (2 \ 0), (4 \ 3)$  respectivement, on donc

$A = F'_d(8) = F'_g(8) = \begin{pmatrix} 2 & 4 \\ 0 & 3 \end{pmatrix}$

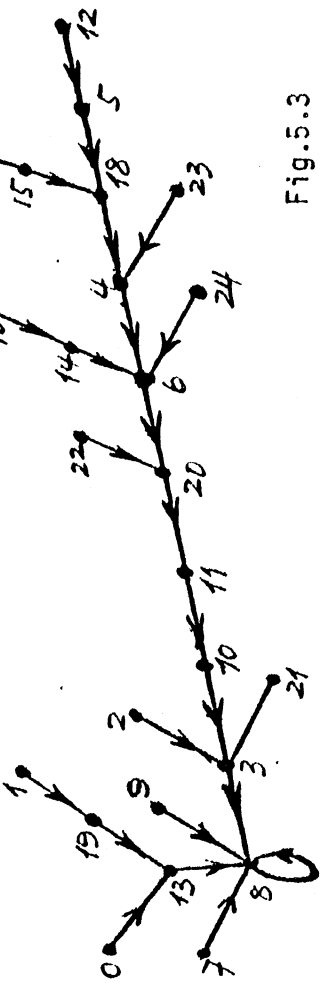


Fig.5.3

Newton standard  $p=5, n=2$   
même table que celle de fig 5-3

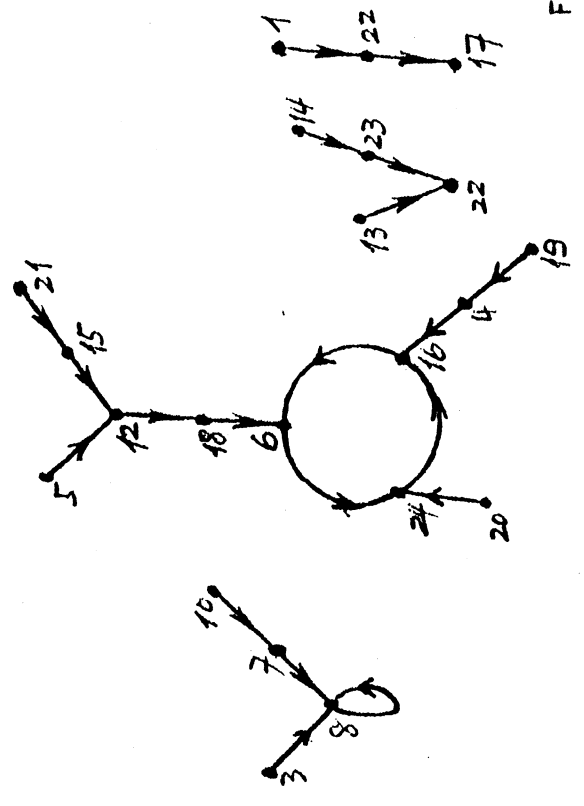


Fig.5.4

$$F(x) = \begin{cases} f_1 = x_1^2 + x_2x_3 \\ f_2 = x_2^2 + x_3x_1 \\ f_3 = x_3^2 + x_1x_2 \end{cases}$$

$$F(x) : (Z/p)^n \longrightarrow (Z/p)^n$$

$$p = n = 3$$

Newton standard

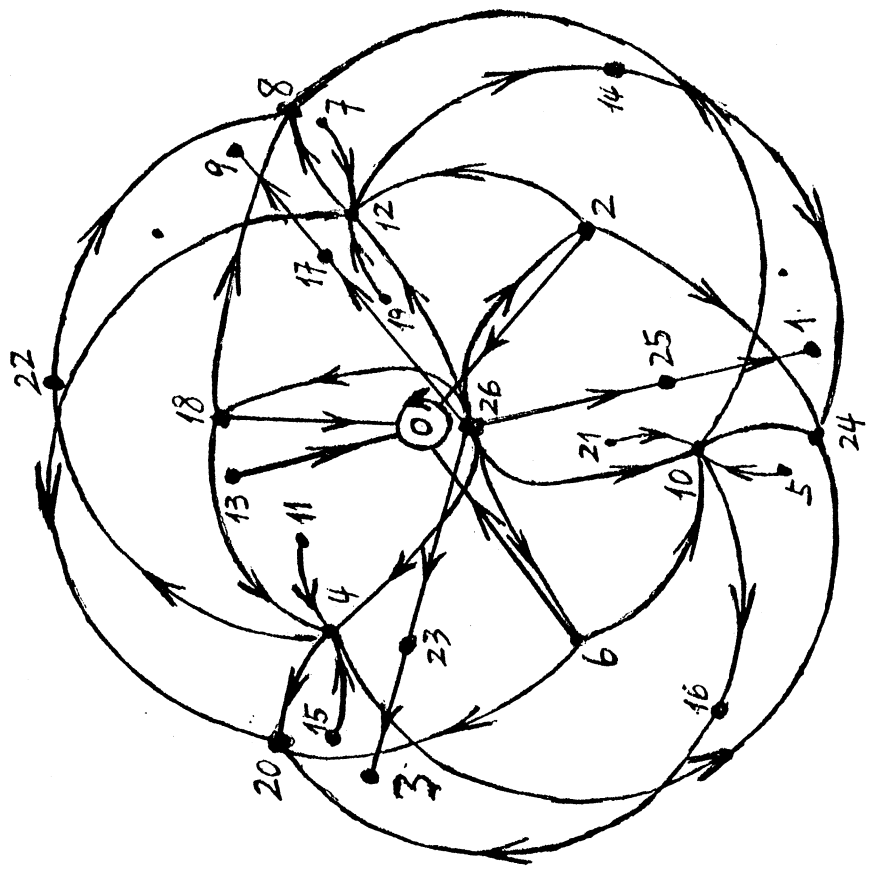
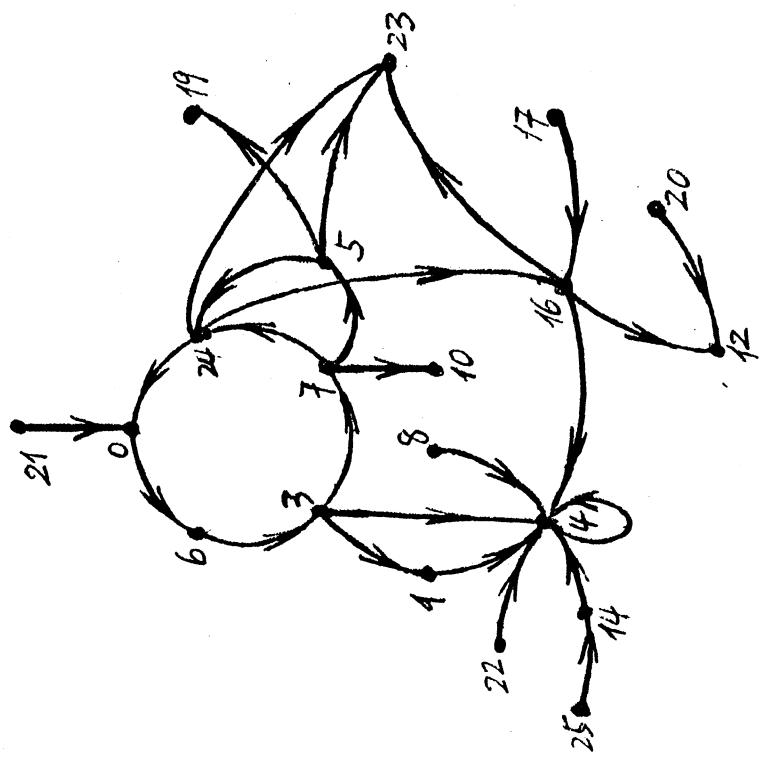


Fig.6.1

$$F(x) = \begin{cases} f_1 = x_1^2 + x_1x_2x_3 \\ f_2 = x_1x_2 + x_2^2 + x_2x_3 + 1 \\ f_3 = x_1x_3 + x_2x_3 + x_3^2 + x_3 \end{cases}$$

$$F(x) : (Z/p)^n \longrightarrow (Z/p)^n \quad p = n = 3$$

Newton standard



- 2
- 9
- 11
- 15
- 18
- 26

Fig.6.2

$$F(x) = \begin{cases} f_1 = 2x_1 + x_3 \\ f_2 = x_1 + x_2 + 2x_3 + x_1x_2 \\ f_3 = 2x_2 + 2x_3 + x_1x_2x_3 \end{cases}$$

$$A = B = \begin{pmatrix} 2 & 0 & 1 \\ 1 & 1 & 2 \\ 0 & 2 & 2 \end{pmatrix} \quad F(x) = Bx + C + U(x)$$

$$C = \begin{pmatrix} 0 \\ 0 \\ 0 \end{pmatrix} \quad U(x) = \begin{pmatrix} 0 \\ x_1x_2 \\ x_1x_2x_3 \end{pmatrix} \quad p = n = 3$$

Newton simplifiée

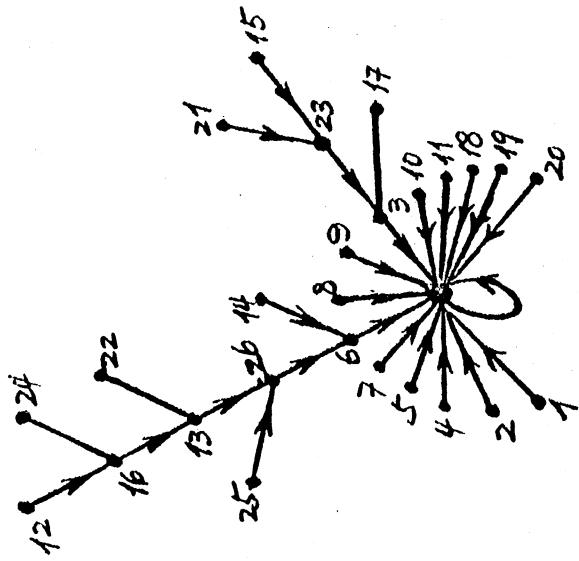


Fig.7.1

$$F(x) = \begin{cases} f_1 = x_2 + x_3 + x_4 + x_5 \\ f_2 = x_2 + x_3 + x_4 + x_5 + x_1x_2 \\ f_3 = x_3 + x_4 + x_5 + x_1x_2x_3 \\ f_4 = x_4 + x_5 + x_1x_2x_3x_4 + 1 \\ f_5 = x_5 + x_1x_2x_3x_4x_5 \end{cases} \quad p = 2, n = 5$$

Newton standard

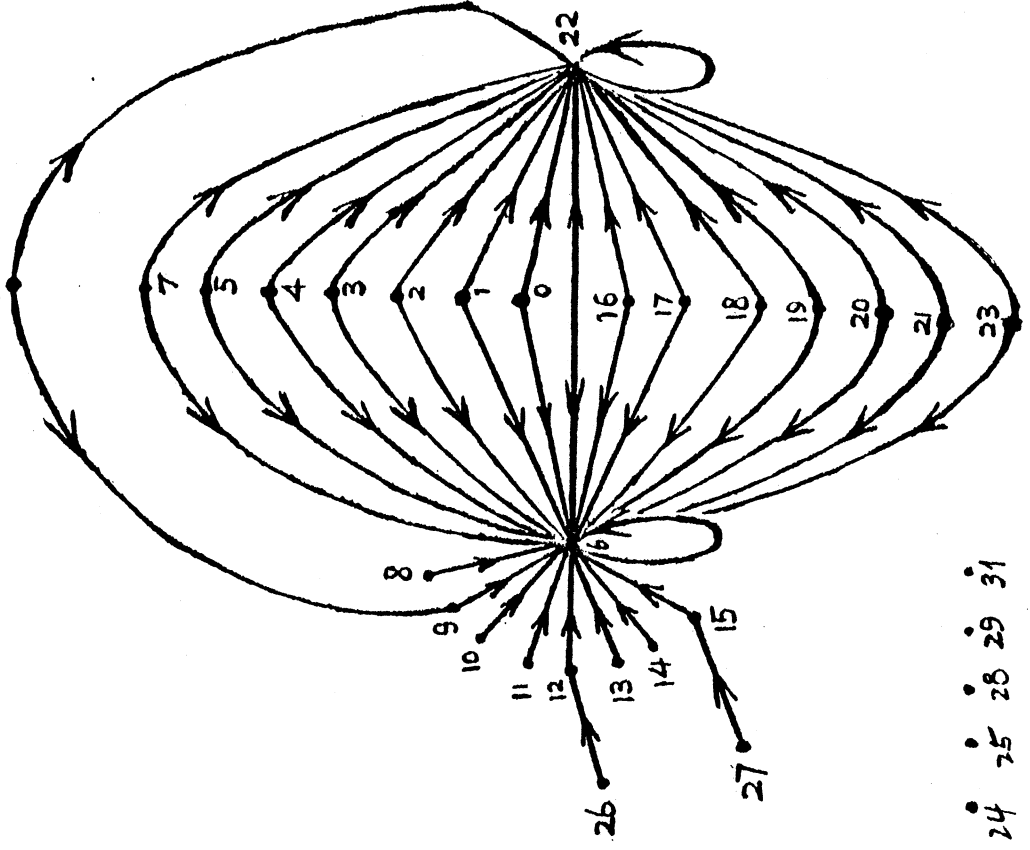


Fig.7.2

$$F(x) = \begin{cases} f_1 = x_1(x_1 + \dots + x_n) \\ f_2 = x_2(x_1 + \dots + x_n) \\ \dots \\ f_n = x_n(x_1 + \dots + x_n) \end{cases}$$

$$F(x) : (Z/p)^n \rightarrow (Z/p)^n$$

On note R représentant l'ensemble de racines

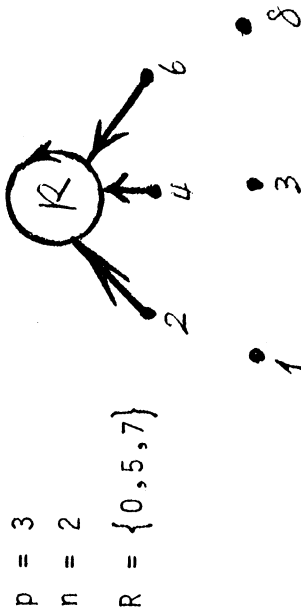
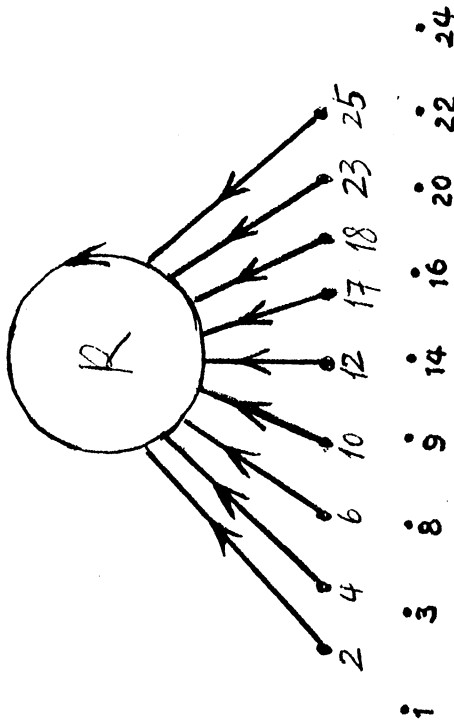


Fig. 8.1

$$p = n = 3, R = \{0, 5, 7, 11, 13, 15, 19, 21, 26\}$$

Fig. 8.2



$$p = 11, n = 2, R = \{0, 21, 31, 41, 51, 61, 71, 81, 91, 101, 111\}$$

$$p = 7, n = 2, R = \{0, 13, 19, 25, 31, 37, 43\}$$

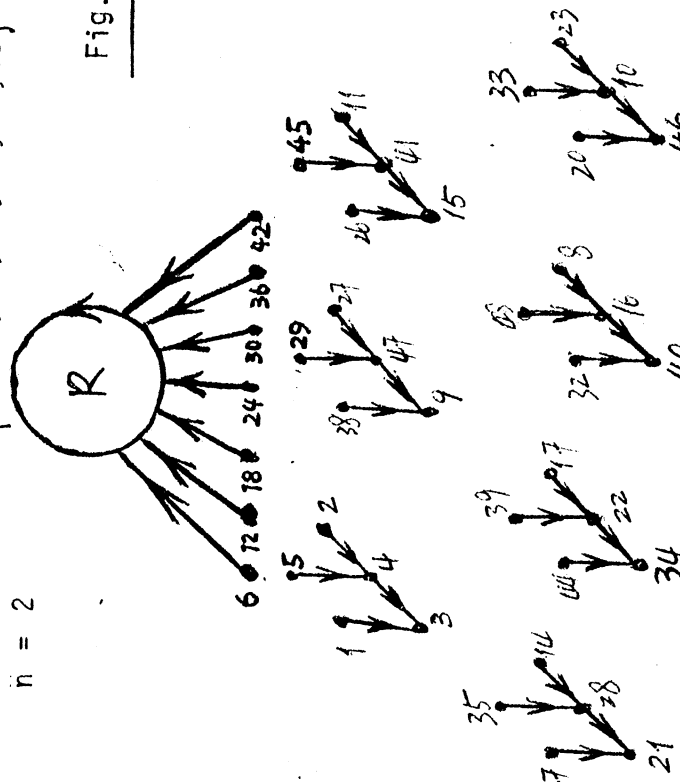


Fig. 8.2

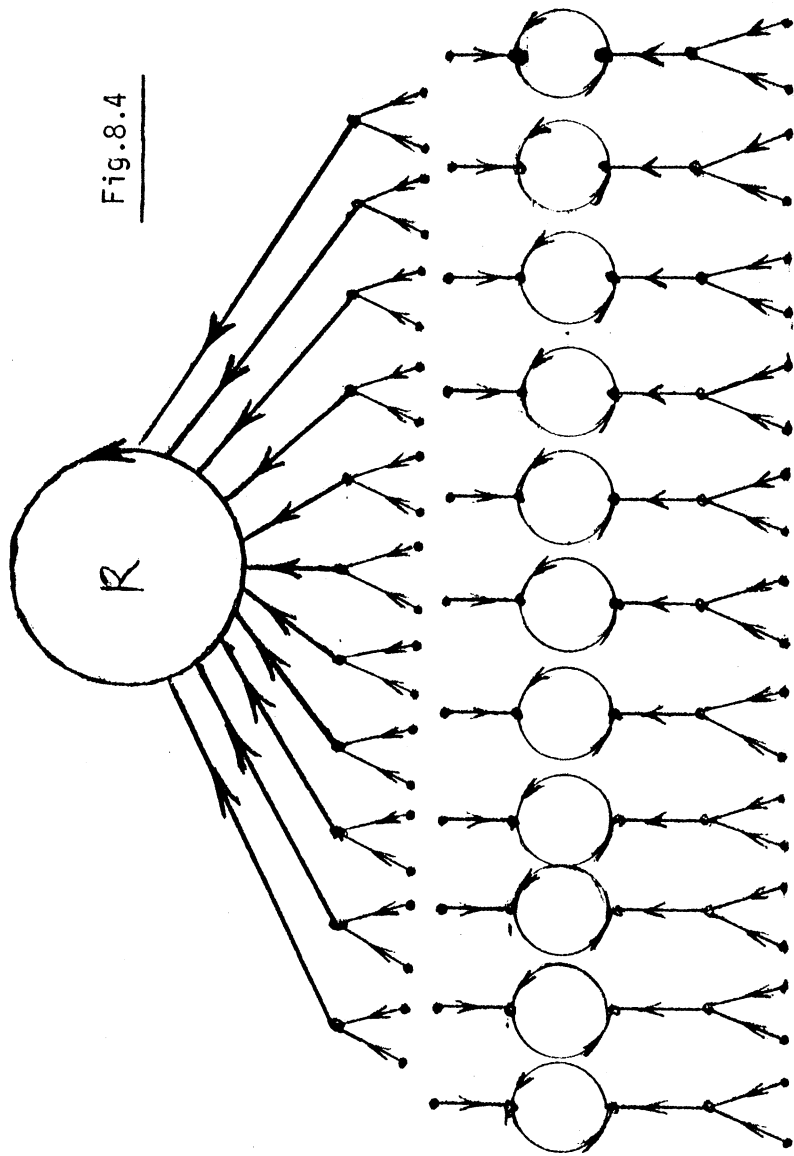


Fig. 8.4

$$F(x) = \begin{cases} f_1 = x_2^2 + x_4x_3 + x_3 + p - 1 \\ f_2 = x_3^2 + x_1x_2 + x_3 + x_4 + p - 1 \\ f_3 = x_1^2 + x_4^2 + x_1x_3 + x_2x_3 + x_2 \\ f_4 = x_2^2 + x_1x_3 + x_4 + 1 \end{cases}$$

$$F(x): (Z/p)^n \rightarrow (Z/p)^n, \quad p = 2, \quad n = 4$$

Newton standard

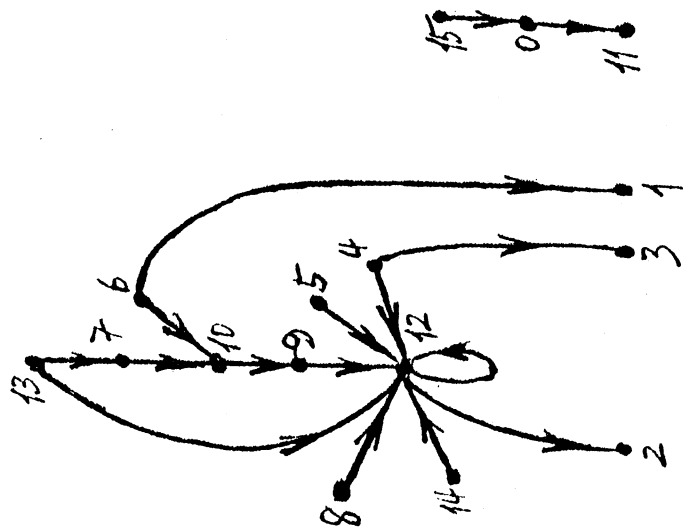


Fig.9.1

Fig.9.2

$$F(x) = \begin{cases} f_1 = x_1^2 + x_2^2 + x_3^2 + x_2 + p - 1 \\ f_2 = x_1x_2 + x_1x_3 + x_2x_3 + (p-2)x_1 + x_3 \\ f_3 = x_1^2 + x_1x_2 + x_2^2 + (p-1)x_3 + 1 \end{cases}$$

$$F(x): (Z/p)^n \rightarrow (Z/p)^n, \quad p = n = 3, \text{ Newton standard}$$

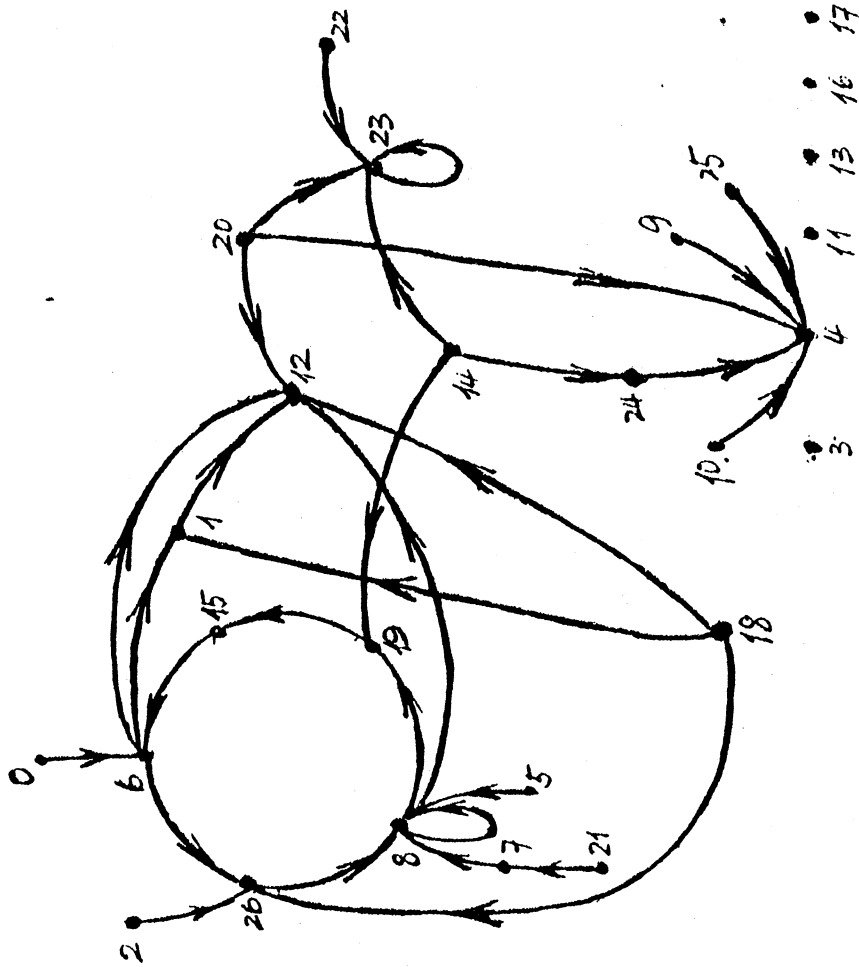
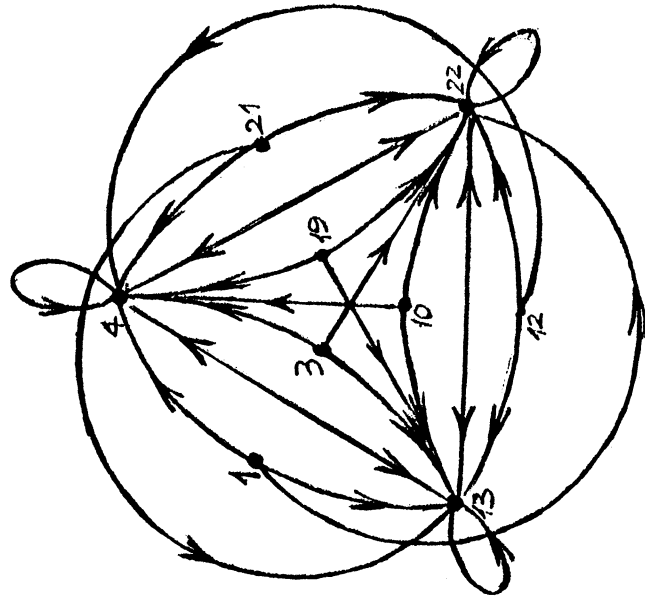


Fig.9.2

$$F(x) = \begin{cases} f_1 = x_2^2 + x_2 + x_3 \\ f_2 = x_2x_3 + p - 1 \\ f_3 = x_2 + x_3^2 + p - 2 \end{cases}$$

$$F(x) : (Z/p)^n \rightarrow (Z/p)^n, \quad p = n = 3$$

Newton standard



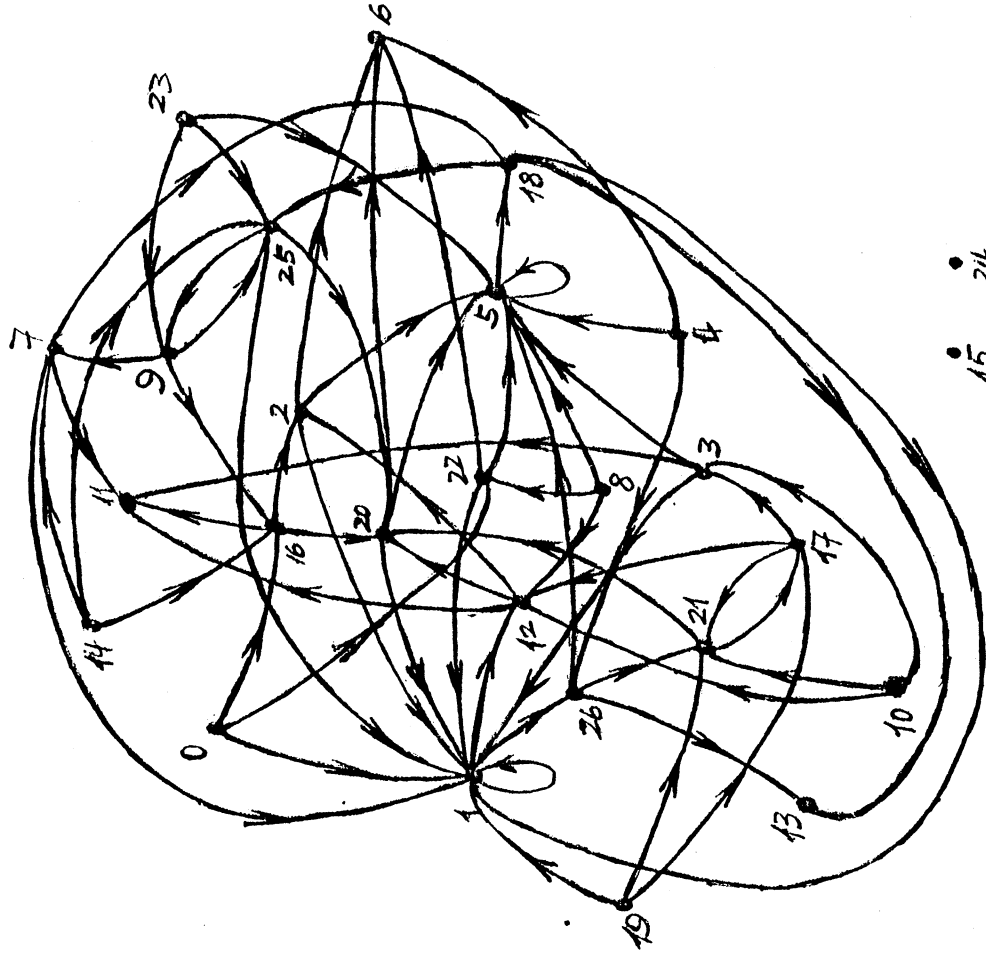
- 0
- 1
- 2
- 3
- 4
- 5
- 6
- 7
- 8
- 9
- 10
- 11
- 12
- 13
- 14
- 15
- 16
- 17
- 18
- 19
- 20
- 21
- 22
- 23
- 24
- 25
- 26

Fig.10.1

$$F(x) = \begin{cases} f_1 = x_1^2 + x_2x_3 + x_3 \\ f_2 = x_2x_3 + x_3 + p - 1 \\ f_3 = f_1 \end{cases}$$

$$F(x) : (Z/p)^n \rightarrow (Z/p)^n, \quad p = n = 3$$

Newton standard



- 15
- 24

Fig.10.2

$$F(x) = \begin{cases} f_1 = x_2 + 1 \\ f_2 = x_2x_3 + x_3x_4 + x_3 + 1 \\ f_3 = f_2 \\ f_4 = f_1 \end{cases}$$

$$F(x) : (Z/p)^n \rightarrow (Z/p)^n, p = 2, n = 4$$

Newton standard

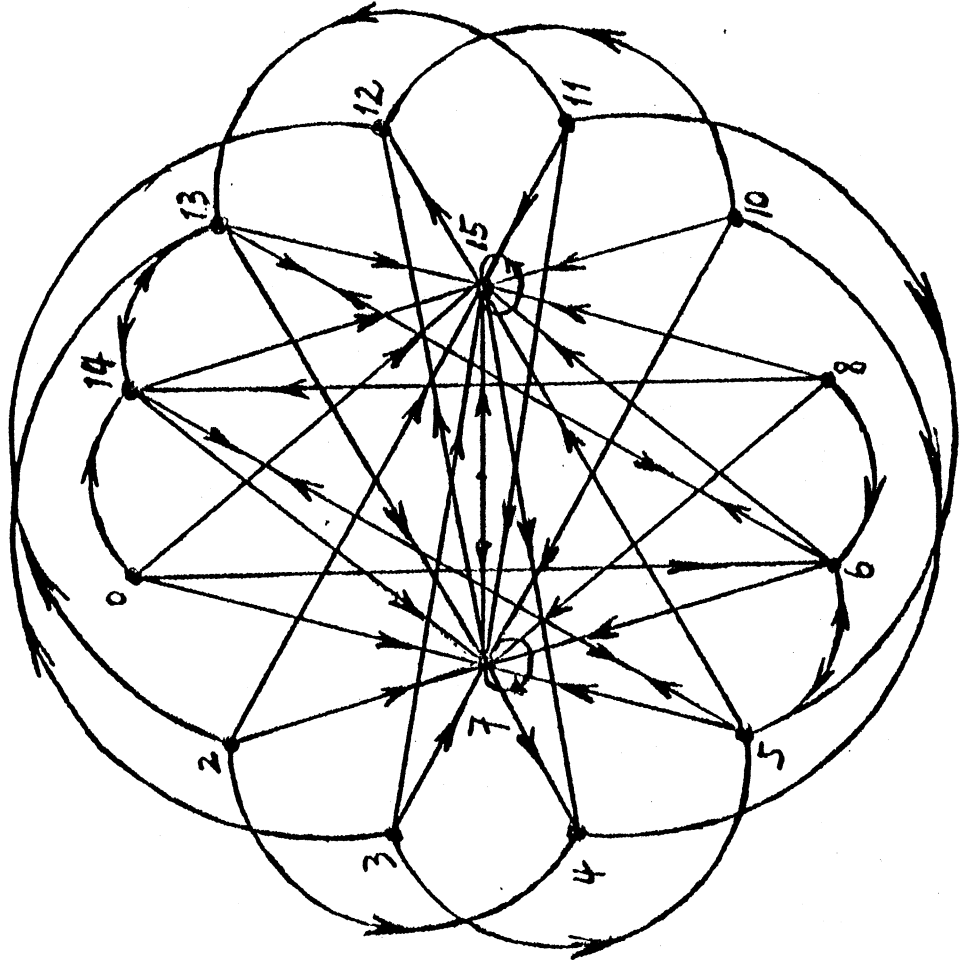


Fig. 11.1 1 •

$$F(x) = \begin{cases} f_1 = x_2 + 1 \\ f_2 = x_2x_3 + x_3x_4 + x_3 + 1 \\ f_3 = x_1 + x_2x_4 + x_3 \\ f_4 = f_1 \end{cases}$$

$$F(x) : (Z/p)^n \rightarrow (Z/p)^n, p = 2, n = 4$$

Newton standard

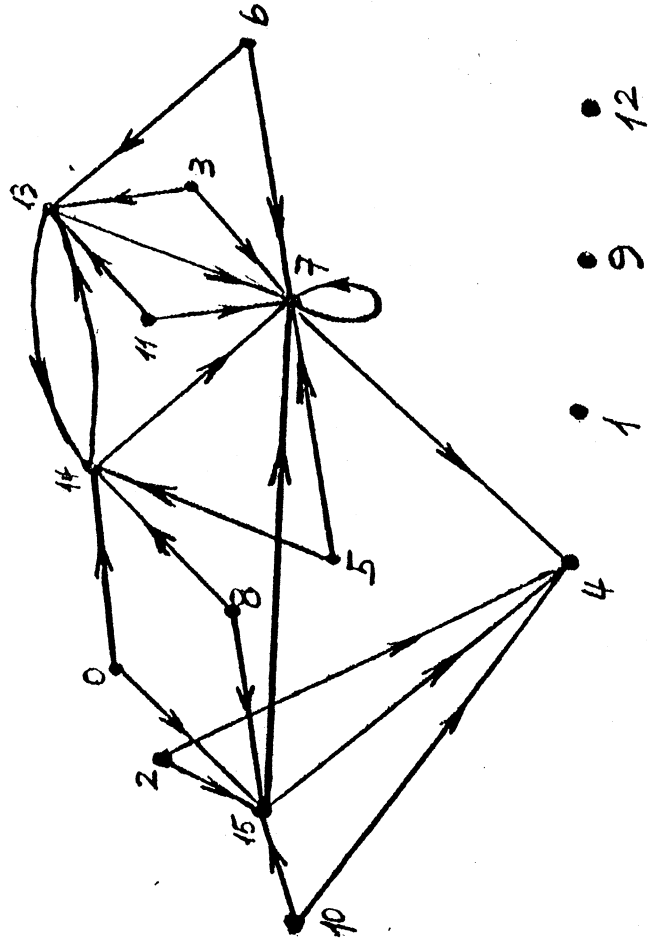


Fig. 11.2





Newton standard  $p = 2, n = 20$

$$F = \begin{cases} f_1 = x_1 x_2 + x_3 x_4 + \dots + x_{19} x_{20} + x_1 \\ f_2 = x_2 x_3 + x_4 x_5 + \dots + x_{20} x_1 + x_2 + 1 \\ \dots \\ f_{19} = x_{19} x_{20} + x_1 x_2 + \dots + x_{17} x_{18} + x_{19} \\ f_{20} = x_{20} x_1 + x_2 x_3 + \dots + x_{18} x_{19} + x_{20} + 1 \end{cases}$$

une racine dans le graphe partiel

$a = (0\ 1\ 0\ 1\ 0\ 1\ 0\ 1\ 0\ 1\ 0\ 1\ 0\ 1\ 0\ 1\ 0\ 1\ 0\ 1)$

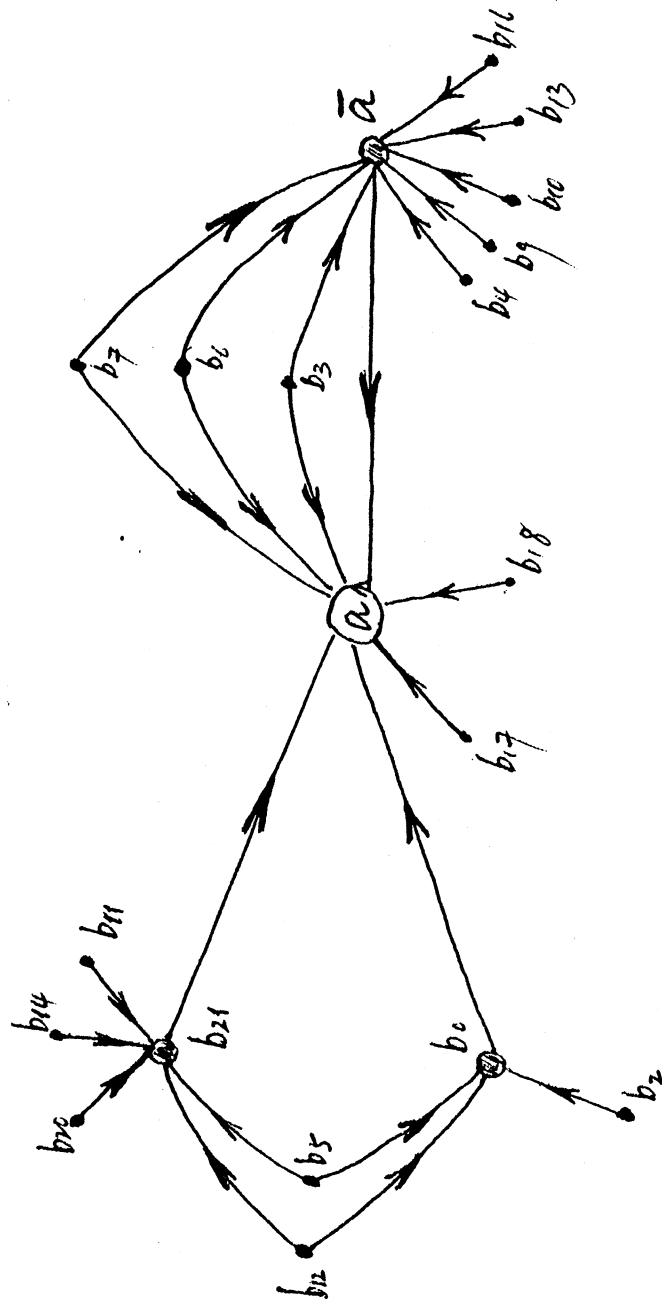


Fig.12.3

$b_1$   $b_8$   $b_{15}$   $b_{19}$

Newton standard,  $p = 2, n = 20$

$$\begin{cases}
 f_1 = x_1 x_2 + \dots + x_5 x_6 + \dots + x_{19} x_{20} + x_1 + 1 \\
 f_2 = x_2 x_3 + \dots + x_6 x_7 + \dots + x_{20} x_1 + x_2 + 1 \\
 f_3 = x_3 x_4 + \dots + x_7 x_8 + \dots + x_1 x_2 + x_3 + 1 \\
 \dots \\
 f_{19} = x_{19} x_{20} + x_1 x_2 + \dots + x_{16} x_{17} + x_{18} + 1 \\
 f_{20} = x_{20} x_1 + x_2 x_3 + \dots + x_{18} x_{19} + x_{20} + 1
 \end{cases}$$

Dans le graphe partiel on a trouvé

deux racines suivantes

$$\begin{aligned}
 a_1 &= (1 \ 0 \ 0 \ 1 \ 1 \ 1 \ 0 \ 0 \ 1 \ 1 \ 1 \ 0 \ 0 \ 1 \ 1 \ 1 \ 0 \ 0 \ 1 \ 1) \\
 a_2 &= (0 \ 0 \ 1 \ 1 \ 1 \ 0 \ 0 \ 1 \ 1 \ 1 \ 0 \ 0 \ 1 \ 1 \ 1 \ 0 \ 0 \ 1 \ 1)
 \end{aligned}$$

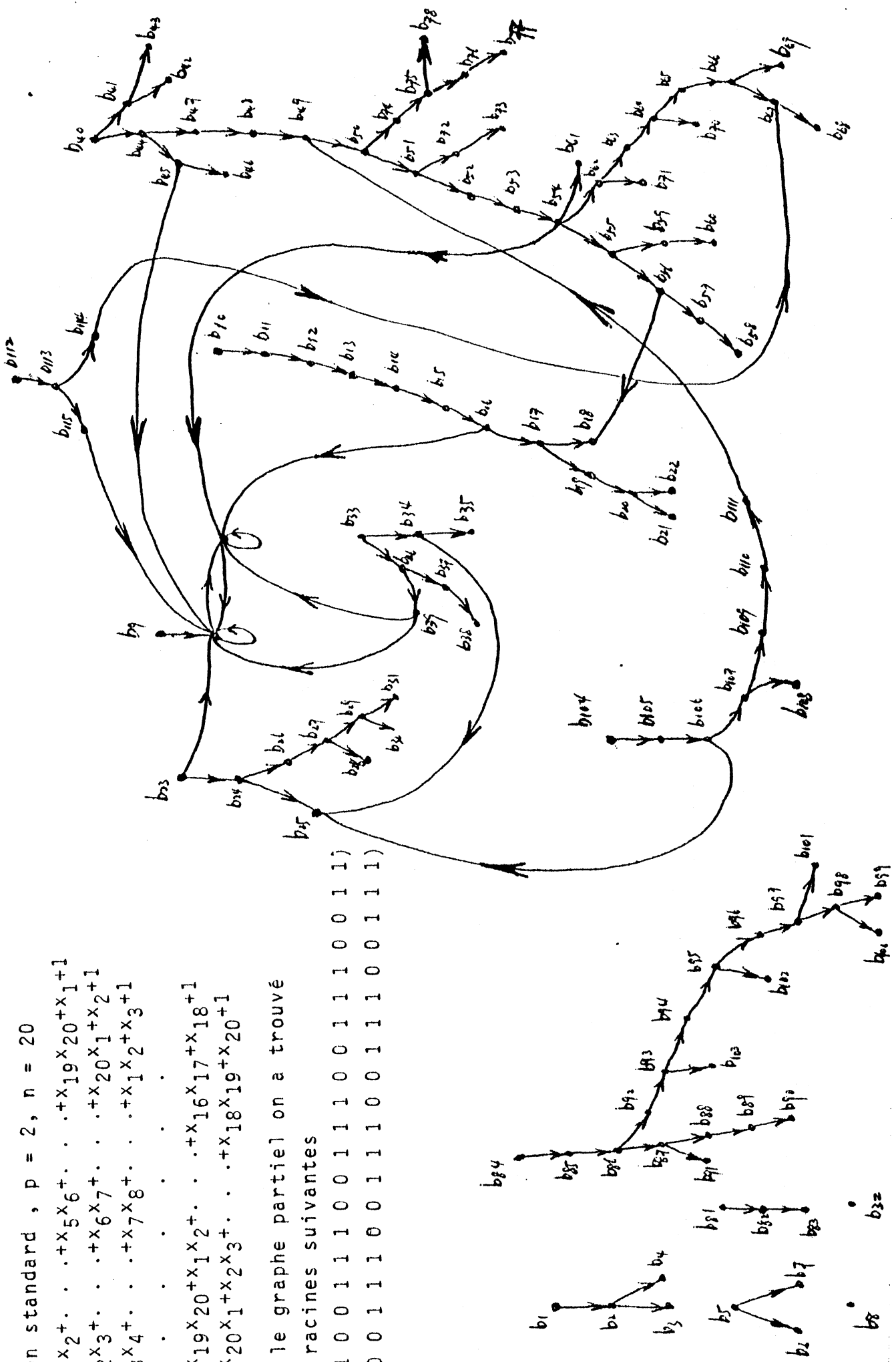


Fig.13.1

Newton standard  $p = 2, n = 20$ .

$$\begin{aligned}
 F(x) = \left\{ \begin{aligned}
 & f_1 = x_1 x_{11} + x_2 x_{13} + \dots + x_5 x_{19} + x_{19} \\
 & f_2 = x_2 x_{12} + x_3 x_{14} + \dots + x_6 x_{20} + x_2 \\
 & \dots \\
 & f_{10} = x_{10} x_{20} + x_{11} x_{12} + \dots + x_{14} x_8 + x_{10} \\
 & \dots \\
 & f_{19} = x_{19} x_9 + x_{20} x_{11} + \dots + x_3 x_{17} + x_1 \\
 & f_{20} = x_{20} x_{10} + x_1 x_{12} + \dots + x_4 x_{18} + x_{20}
 \end{aligned} \right.
 \end{aligned}$$

deux racines  $a_1$  et  $a_2$  dans le graphe  
partiel

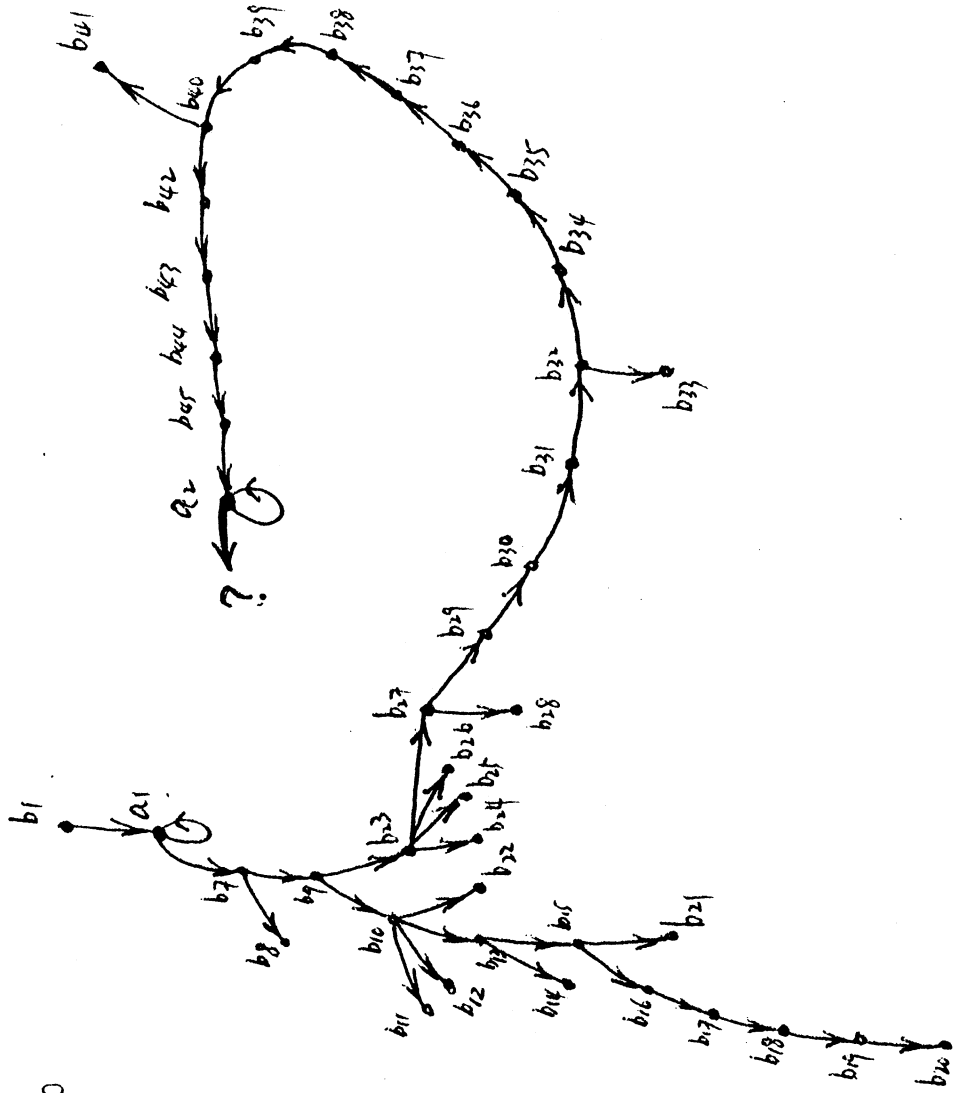


Fig.13.2

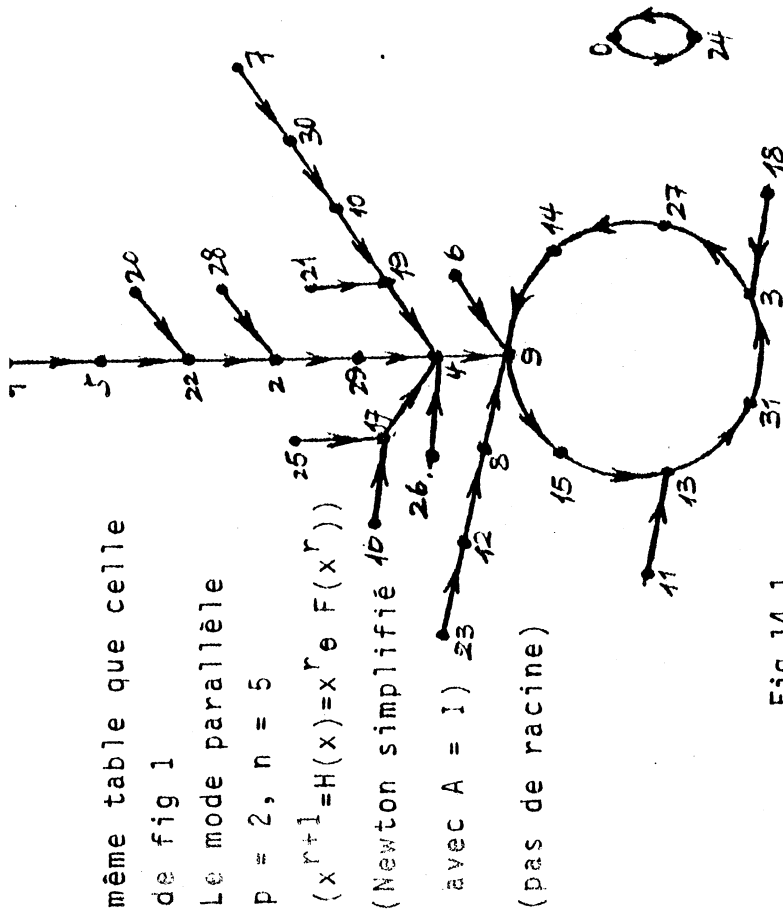


Fig. 14.1

même table que celle

de fig 1

Le mode parallèle

$p = 2, n = 5$

$(x^{r+1} = H(x) = x^r \circ F(x^r))$

(Newton simplifié)

avec  $A = I$

(pas de racine)

(pas de racine)

Dans la table de fig 1

$F_1$  a été obtenu en imposant

la racine  $2 = (0 0 0 1 0)$

$F(18), F(10), F(6), F(0), F(3)$

remplacées par  $(1 1 0 0 0)$ ,

$(0 1 1 0 0), (0 0 1 0 1)$

$(1 0 0 1 0), (0 0 0 0 1)$ ,

alors,

$$H'(2) = \begin{pmatrix} 0 & 0 & 0 & 1 & 0 \\ 1 & 0 & 0 & 0 & 0 \\ 0 & 1 & 0 & 0 & 0 \\ 0 & 0 & 0 & 0 & 0 \\ 0 & 0 & 1 & 0 & 0 \end{pmatrix}$$

2 est attractif dans son

voisinage immédiat

$V_x(2) = \{18, 10, 6, 0, 3, 2\}$

Fig. 14.3

même indication pour  $F(x)$

Gauss Seidel,  $p=2, n=5$

(mode série) sur H

associé à  $F_0$  (pas de

racine)

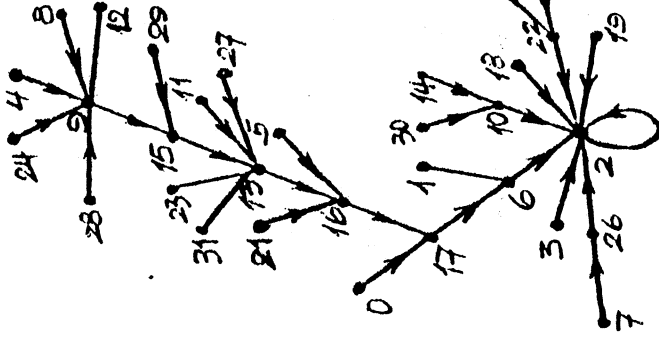


Fig. 14.2

même indication que fig 14-3

Gauss Seidel sur H associé à

$F_1, p = 2, n = 5$

$$G'(2) = \begin{pmatrix} 0 & 0 & 0 & 1 & 0 \\ 0 & 0 & 0 & 0 & 0 \\ 0 & 0 & 0 & 0 & 0 \\ 0 & 0 & 0 & 1 & 0 \\ 0 & 0 & 0 & 0 & 1 \end{pmatrix}$$

2 n'est pas attractif, mais

globalement le graphe est

encore plus contractant que

fig 14-3.

Fig. 14.4

La table de  $F(x)$  se trouve dans fig 2

le mode parallèle sur H associé à  $F_0$

$$p = 2, n = 5$$

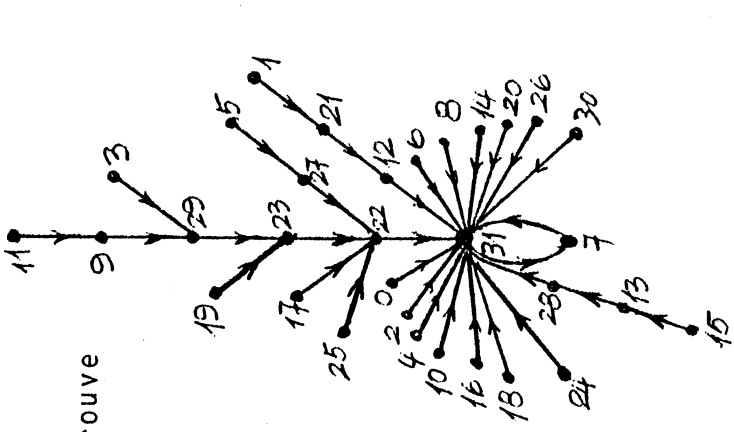


Fig.15.1

même indication que fig 15\_1

Gauss Seidel sur H associé à  $F_0$

$$p = 2, n = 5$$

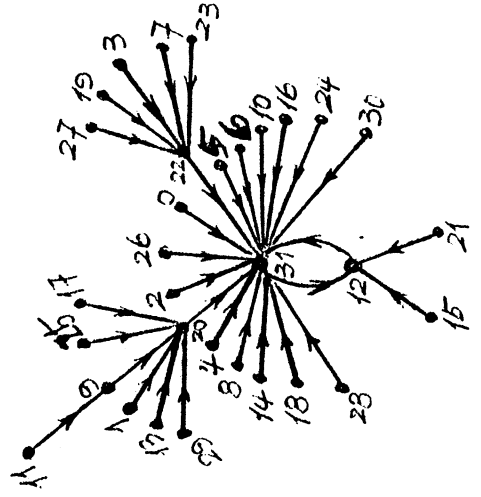


Fig.15.2

même table de  $F(x)$

que celle de fig 2

$F_2$  a été obtenu en

imposant la racine

$$1 = (0 \ 0 \ 0 \ 0 \ 1) \text{ et}$$

la racine  $15 = (0 \ 1 \ 1 \ 1 \ 1)$

le mode parallèle sur H

associé à  $F_2$

$$p = 2, n = 5$$

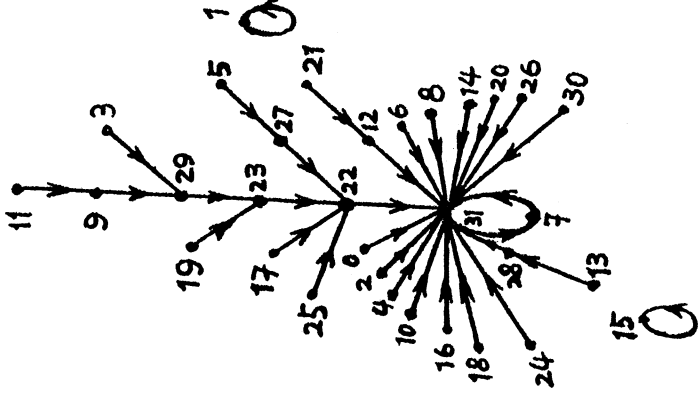


Fig.15.3

même indication que

fig 15\_3

Gauss Seidel sur H

associé à  $F_2$

$$p = 2, n = 5$$

(31 est le 1er voisin

de la racine 15)

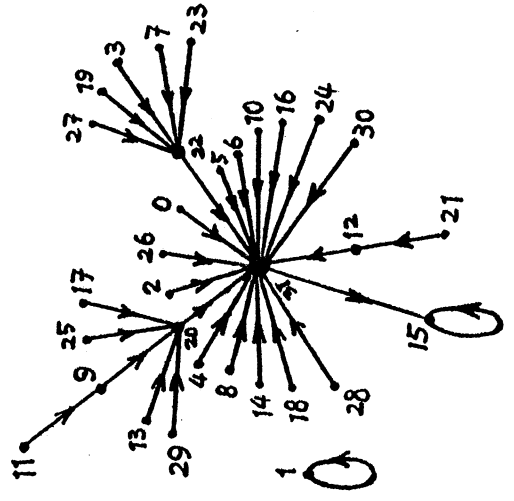


Fig.15.4

même table de  $F(x)$  que celle de fig 1; même indication pour  $F_3$   
 Le mode parallèle,  $p=2, n=5$   
 sur H associé à  $F_3$

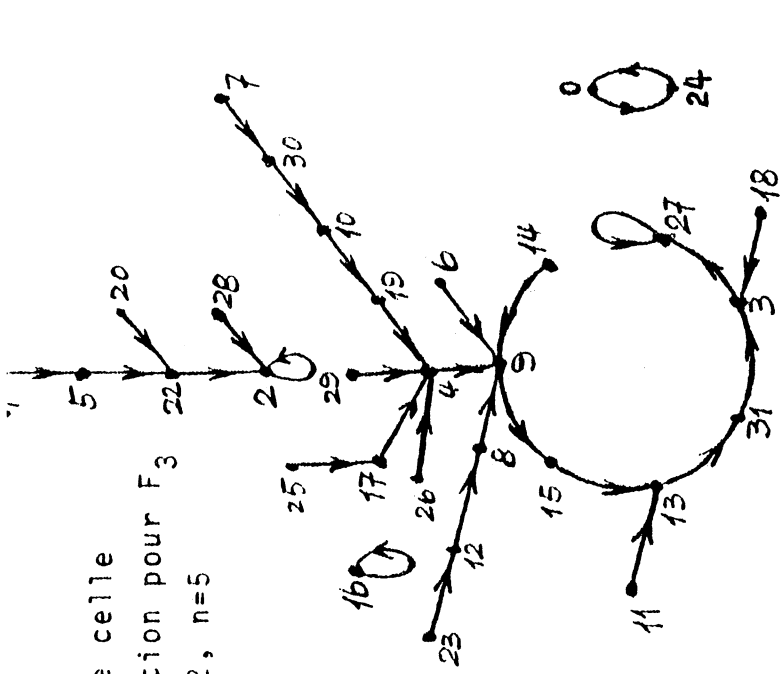


Fig.16.1

même indication pour  $F_3$   
 Gauss Seidel,  $p=2, n=5$ , sur H associé à  $F_3$   
 18 est le 1<sup>er</sup> voisin de 2;  
 0 est le 1<sup>er</sup> voisin de 16

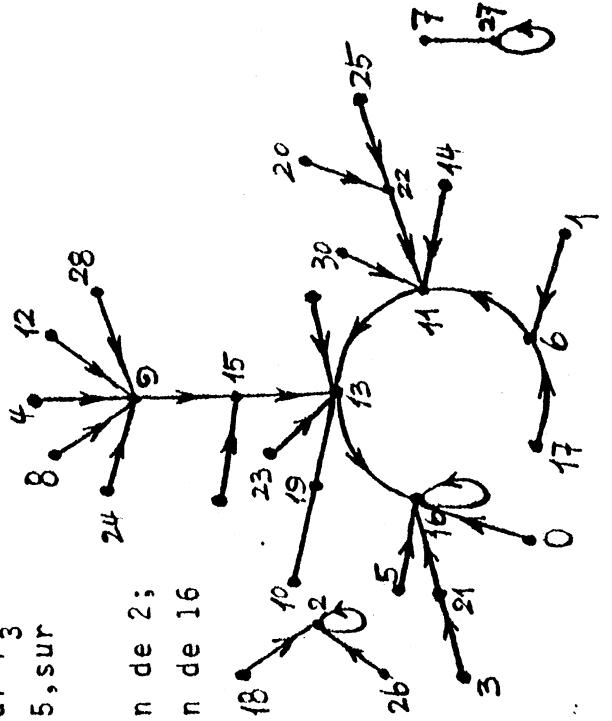


Fig.16.2

même indication que fig 16-1  
 Le mode parallèle,  $p=2, n=5$   
 sur H associé à  $F_1$   
 $F_1$  a été obtenu en imposant la racine  $2(0\ 0\ 0\ 1\ 0)$   
 $F(18), F(10), F(6), F(0), F(3)$   
 remplacées par  $(1\ 0\ 0\ 0\ 0)$   
 $(0\ 1\ 0\ 0\ 0), (0\ 0\ 1\ 0\ 0),$   
 $(0\ 0\ 0\ 1\ 0), (0\ 0\ 0\ 0\ 1)$   
 $F'(2) = 1$   
 $V_x(2) = \{18, 10, 6, 0, 3, 2\}$

Fig.16.3

même indication que fig 16-3  
 Gauss Seidel,  $p=2, n=5$   
 $F(18), F(10), F(6), F(0), F(3)$   
 remplacées par  $(1\ 0\ 0\ 0\ 0)$   
 $(* * * * 1\ 0), (* * * * 1\ 0)$   
 $(* * * * 1\ 0), (* * * * 1)$   
 \* peut être n'importe quel élément de  $Z/2$ .

$$F'(2) = \begin{pmatrix} 1 & 0 & 0 & 0 & 0 \\ * & 1 & 0 & 0 & 0 \\ * & * & 1 & 0 & 0 \\ * & * & * & 1 & 0 \\ * & * & * & * & 1 \end{pmatrix}$$

Fig.16.4

x	F(x)
0	0 0 0 0 1 1 1 1
1	0 0 0 1 0 1 1 1
2	0 0 1 0 0 1 0 1
3	0 0 1 1 0 0 0 0
4	0 1 0 0 0 1 1 0
5	0 1 0 1 1 0 0 1
6	0 1 1 0 1 0 1 1
7	0 1 1 0 0 1 0 0
8	1 0 0 0 1 0 1 0
9	1 0 0 1 1 0 1 0
10	1 0 1 0 1 0 1 1
11	1 1 0 1 0 1 1 0
12	1 1 0 0 1 1 1 0
13	1 1 1 0 0 1 1 0
14	1 1 1 0 0 1 0 0
15	1 1 1 1 1 0 0 0

$$F'(f(3)) = \begin{pmatrix} 1 & 0 & 0 & 0 \\ 0 & 1 & 1 & 1 \\ 1 & 0 & 1 & 0 \\ 1 & 0 & 1 & 1 \end{pmatrix}$$

x	F(x)
0	0 0 0 0 1 0 1 0
1	0 0 1 0 0 0 1 0
2	0 0 1 0 0 0 1 0
3	0 0 1 1 0 0 0 0
4	0 1 0 0 1 0 0 0
5	0 1 0 1 0 1 0 0
6	0 1 1 0 1 0 1 0
7	0 1 1 0 1 0 1 1
8	1 0 0 1 0 0 1 0
9	1 0 0 1 1 0 1 1
10	1 0 1 0 1 1 0 1
11	1 0 1 0 1 1 0 1
12	1 1 0 1 0 1 0 0
13	1 1 0 1 0 1 0 0
14	1 1 1 0 1 0 0 0
15	1 1 1 1 1 0 1 1

$$F'(3) = \begin{pmatrix} 1 & 1 & 1 & 0 \\ 1 & 0 & 0 & 0 \\ 0 & 1 & 0 & 0 \\ 1 & 1 & 0 & 1 \end{pmatrix}$$

Gauss Seidel, p=2, n=4  
11 et 7 sont le 1<sup>er</sup>  
et 2<sup>ème</sup> voisins resp.  
de la racine 3

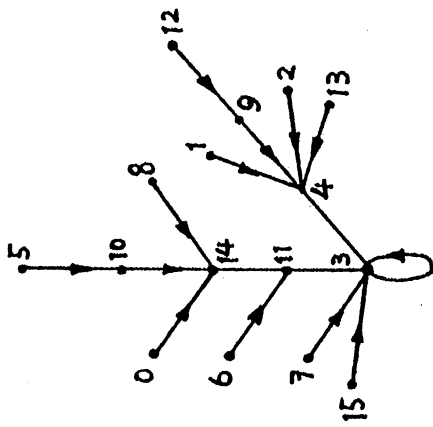


Fig. 17.1.1

Gauss. Seidel, p=2, n=4

11 et 2 sont le 1<sup>er</sup>  
et le 2<sup>ème</sup> voisin

de la racine 3

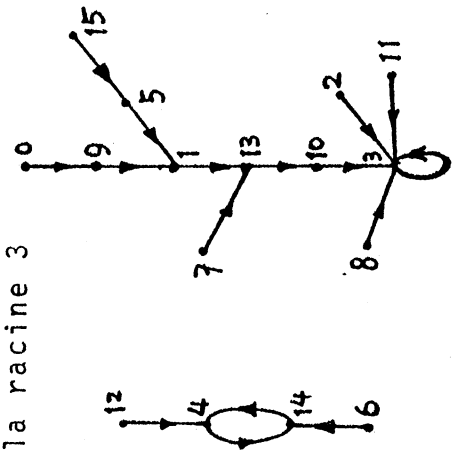


Fig. 17.2

Vérifications de la  
proposition 2 de II 3

Gauss Seidel p=n=3

même table que celle de fig 4  
26 est le 1<sup>er</sup> voisin de 17

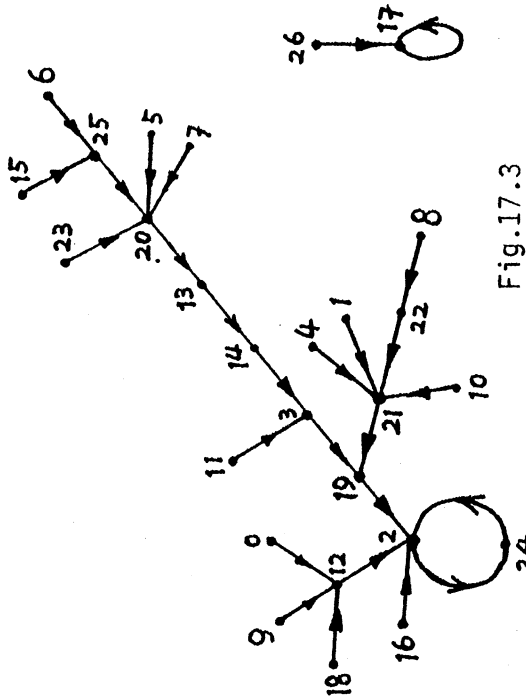


Fig. 17.3

Dans la table de fig 4

F<sub>2</sub> a été obtenu en imposant

la racine 6=(0 2 0)

Gauss Seidel, p=n=3

24 est le 1<sup>er</sup> voisin à

gauch de la racine 6

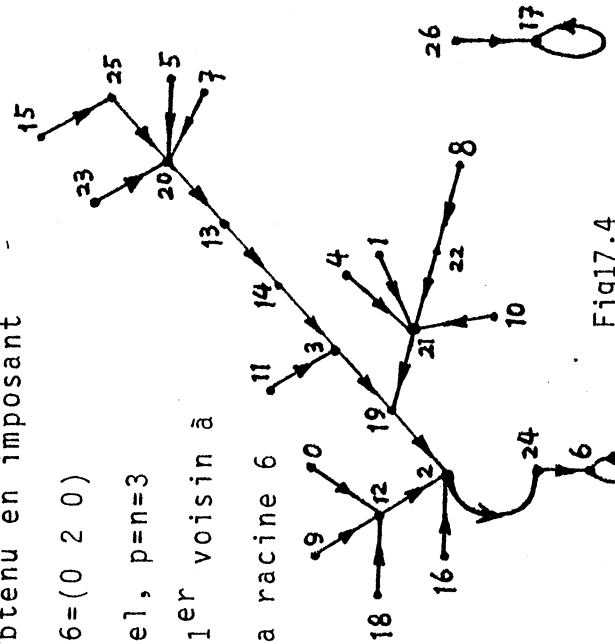


Fig. 17.4



$$F(x) = \begin{cases} f_1 = x_1 + 1 \\ f_2 = x_1 + x_1 x_2 + 1 \\ f_3 = x_1 x_2 + x_3 \\ f_4 = x_1 x_3 + x_2 x_3 + x_4 \end{cases}$$

$$F'_d(a) = \begin{pmatrix} 1 & 0 & 0 & 0 \\ 1 & 1 & 0 & 0 \\ 0 & 1 & 1 & 0 \\ 0 & 0 & 1 & 1 \end{pmatrix}$$

$$G'_d(a) = \begin{pmatrix} 0 & 0 & 0 & 0 \\ 0 & 0 & 0 & 0 \\ 0 & 0 & 0 & 0 \\ 0 & 0 & 0 & 0 \end{pmatrix}$$

$$a=8=(1,0,0,0)$$

$$p=2, n=4$$

racine de F.

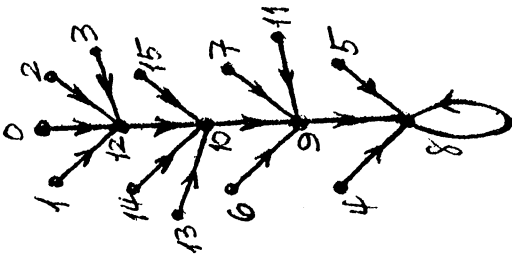


Fig. 19.1

Le mode parallèle

$$x^{r+1} = H(x^r) = X^r \theta F(x^r)$$

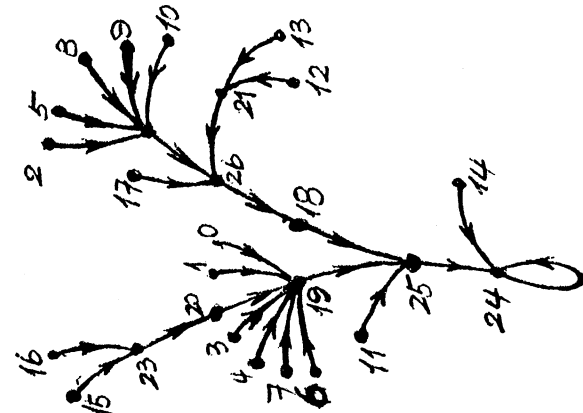


Fig. 19.3

$$F(x) = \begin{cases} f_1 = x_1 + 1 \\ f_2 = 2x_1 + x_2 + 2x_3 + x_3^2 \\ f_3 = x_1 x_2 + x_3 + 2 \end{cases}$$

$$p=n=3$$

$$F'_d(a) = \begin{pmatrix} 1 & 0 & 0 \\ 2 & 1 & 0 \\ 2 & 2 & 1 \end{pmatrix}$$

$$G'_d(a) = \begin{pmatrix} 0 & 0 & 0 \\ 0 & 0 & 0 \\ 0 & 0 & 0 \end{pmatrix}$$

$$a=24=(2,2,0)$$

racine de F

Le mode parallèle

$$x^{r+1} = H = x^r \theta F(x^r)$$

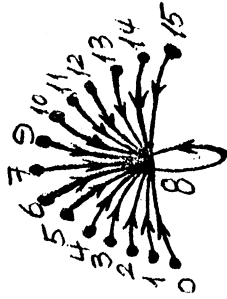


Fig. 19.2

Gauss-Seidel  
sur H associé à F

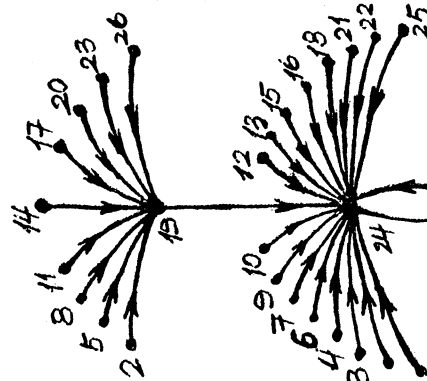


Fig. 19.4

$$F(x) = \begin{cases} f_1 = x_1 + 2 \\ f_2 = x_1 x_2 + x_1 + 2 \\ f_3 = x_1 x_2 + x_3 \end{cases}$$

$$p=n=3$$

$$F'_d(a) = \begin{pmatrix} 0 & 0 & 0 \\ 2 & 1 & 0 \\ 1 & 1 & 1 \end{pmatrix}; \quad F'_d(a) = \begin{pmatrix} 2 & 0 & 0 \\ 1 & 2 & 0 \\ 0 & 2 & 1 \end{pmatrix}$$

$$G'_d(a) = \begin{pmatrix} 1 & 0 & 0 \\ 1 & 0 & 0 \\ 0 & 0 & 0 \end{pmatrix}; \quad G'_d(a) = \begin{pmatrix} 2 & 0 & 0 \\ 1 & 2 & 0 \\ 2 & 2 & 0 \end{pmatrix}$$

$$a = 14 = (1, 1, 2)$$

$$a = 18 = (2, 0, 0)$$

Le mode parallèle

$$x^{T+1} = H = x^T \theta F(x^T)$$

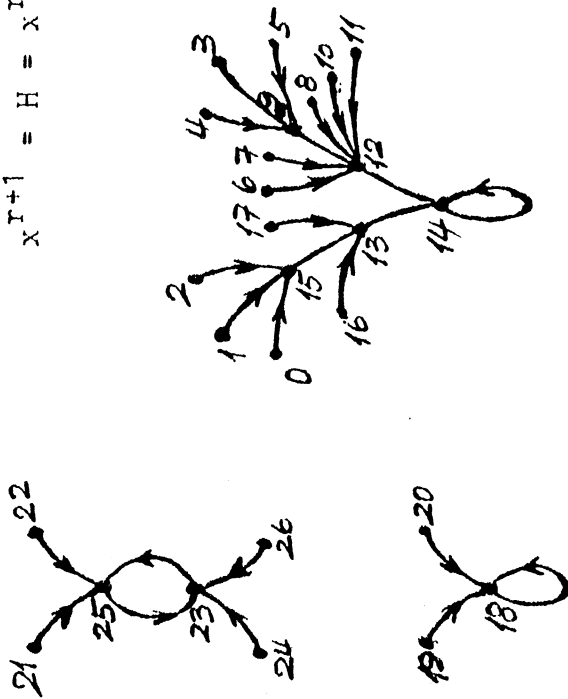


Fig.19.5

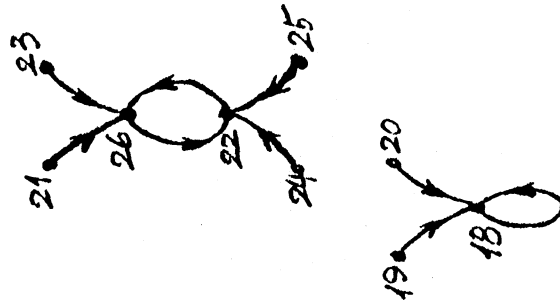


Fig.19.6

Gauss-Seidel  
sur H associé à F

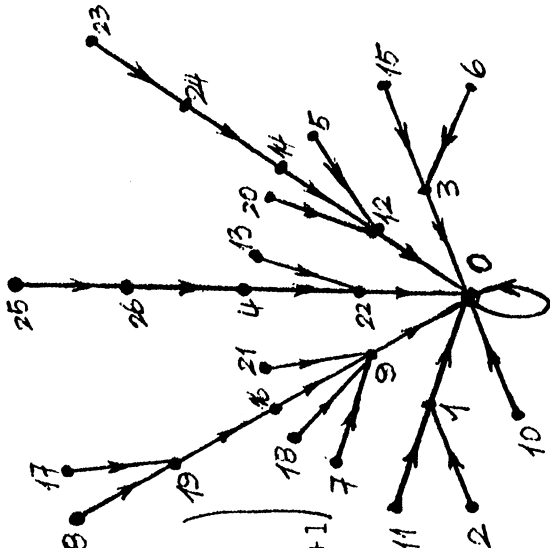
$$F(x) = \begin{cases} f_1 = x_1^2 + x_2 x_3 \\ f_2 = x_2^2 + x_1 x_3 \\ f_3 = x_3^2 + x_1 x_2 \end{cases}$$

$$F'_d(x) = \begin{pmatrix} 2x_1 + 1 & x_3 & x_2 \\ x_3 & 2x_2 + 1 & x_1 \\ x & x & 2x + 1 \end{pmatrix}$$

$$F'_d(0) = \begin{pmatrix} 1 & 0 & 0 \\ 0 & 1 & 0 \\ 0 & 0 & 1 \end{pmatrix}$$

Fig.20.1

Gauss Seidel, p=n=3



Au dessus, en effectuant les permutations de composantes de  $F(x)$ , on obtient les figures ci-dessous (fig20-2 ~ fig20-4)

$$F(x) = \begin{cases} f_1 = x_1^2 + x_2 x_3 \\ f_2 = x_3^2 + x_1 x_2 \\ f_3 = x_2^2 + x_1 x_3 \end{cases}$$

$$F'_d(0) = \begin{pmatrix} 1 & 0 & 0 \\ 0 & 0 & 1 \\ 0 & 1 & 0 \end{pmatrix}$$

Fig.20.2

Gauss Seidel, p=n=3

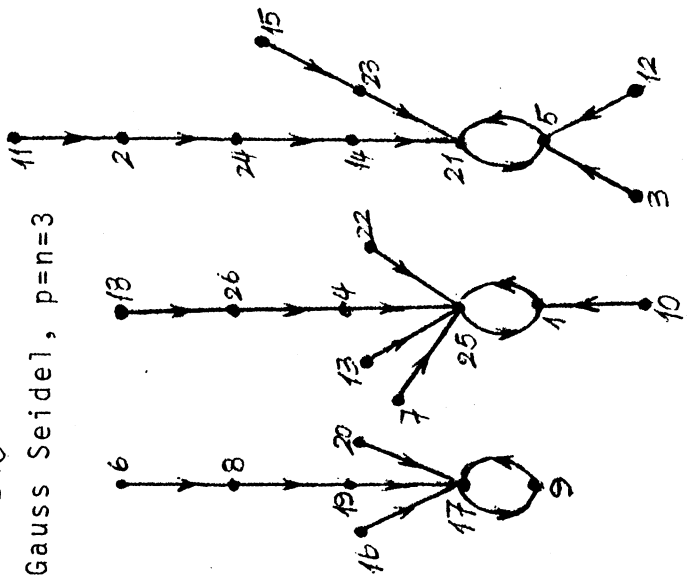


Fig.20.3

$$F(x) = \begin{cases} f_1 = x_3^2 + x_1 x_2 \\ f_2 = x_2^2 + x_1 x_3 \\ f_3 = x_1^2 + x_2 x_3 \end{cases}$$

$$F'_d(0) = \begin{pmatrix} 0 & 0 & 1 \\ 0 & 1 & 0 \\ 1 & 0 & 0 \end{pmatrix}$$

Fig.20.3

$$F(x) = \begin{cases} f_1 = x_3^2 + x_1 x_2 \\ f_2 = x_1^2 + x_2 x_3 \\ f_3 = x_2^2 + x_1 x_3 \end{cases}$$

$$F'_d(0) = \begin{pmatrix} 0 & 0 & 1 \\ 1 & 0 & 0 \\ 0 & 1 & 0 \end{pmatrix}$$

Fig.20.4

$$F(x) = \begin{cases} f_1 = (x_2 + x_3)^2 \\ f_2 = (x_1 + x_3)^2 \\ f_3 = (x_1 + x_2)^2 \end{cases}$$

$$p=n=3$$

$$F'(x) = \begin{pmatrix} 0 & 2(x_2 + x_3) + 1 & 2(x_2 + x_3) + 1 \\ 2(x_1 + x_3) + 1 & 0 & 2(x_1 + x_3) + 1 \\ 2(x_1 + x_2) + 1 & 2(x_1 + x_2) + 1 & 0 \end{pmatrix}$$

$$F'_D(a) = F'_D(0) = \begin{pmatrix} 0 & 1 & 1 \\ 1 & 0 & 1 \\ 1 & 1 & 0 \end{pmatrix}$$

Gauss-Seidel sur H associé à F

$a=0=(0,0,0)$ , racine de F

$$V_D(0) = \{9, 5, 1\}$$

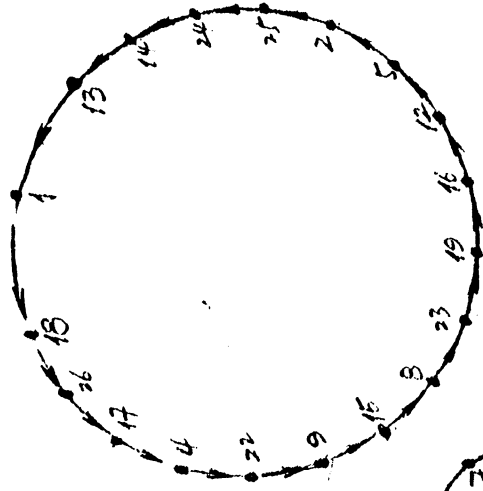
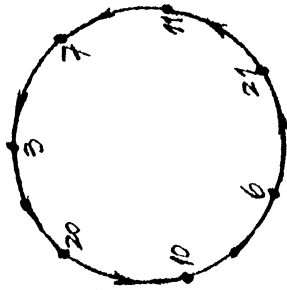


Fig. 21.1



$$F(x) = \begin{cases} f_1 = x_2^2 + x_3^2 \\ f_2 = x_1^2 + x_3^2 \\ f_3 = x_1^2 + x_2^2 \end{cases}$$

$$p=n=3$$

$$F'_D(x) = \begin{pmatrix} 0 & 2x_2 + 1 & 2x_3 + 1 \\ 2x_1 + 1 & 0 & 2x_3 + 1 \\ 3x_1 + 1 & 2x_2 + 1 & 0 \end{pmatrix}$$

$a=0=(0,0,0)$

racine de F

$$F'_D(a) = F'_D(0) = \begin{pmatrix} 0 & 1 & 1 \\ 1 & 0 & 1 \\ 1 & 1 & 0 \end{pmatrix}$$

(même matrice que celle de Fig. 21.1)

$V_D(0) = \{9, 5, 1\}$ ; même graphe que Fig. 21.1.

$$F(x) = \begin{cases} f_1 = (x_1 + x_3)^2 \\ f_2 = (x_1 + x_2)^2 \\ f_3 = (x_2 + x_3)^2 \end{cases}$$

$$F'_D(0) = \begin{pmatrix} 1 & 0 & 1 \\ 1 & 1 & 0 \\ 0 & 1 & 1 \end{pmatrix}$$

Gauss-Seidel

sur H associé à F

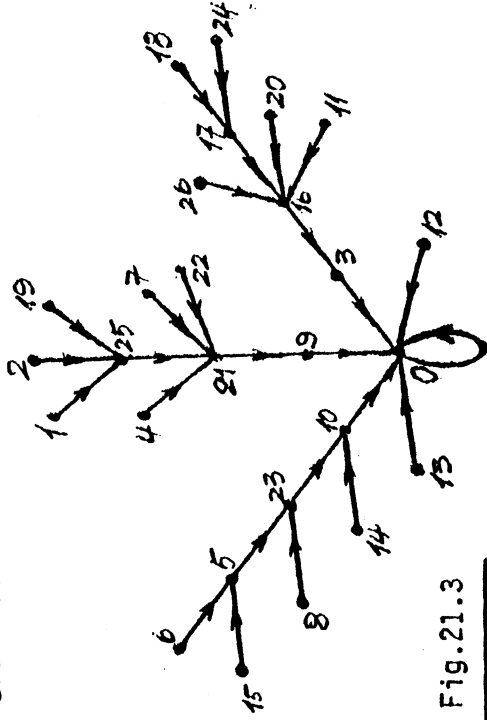


Fig. 21.3

Au-dessus, en effectuant les permutations de composantes de  $F(x)$ , on obtient les figures ci-dessous

(Fig. 21.2 fig. 21.3)

$$F(x) = \begin{cases} f_1 = (x_1 + x_3)^2 \\ f_2 = (x_2 + x_3)^2 \\ f_3 = (x_1 + x_2)^2 \end{cases}$$

$$F'_D(0) = \begin{pmatrix} 1 & 0 & 1 \\ 0 & 1 & 1 \\ 1 & 1 & 0 \end{pmatrix}$$

Gauss-Seidel sur H associé à F.

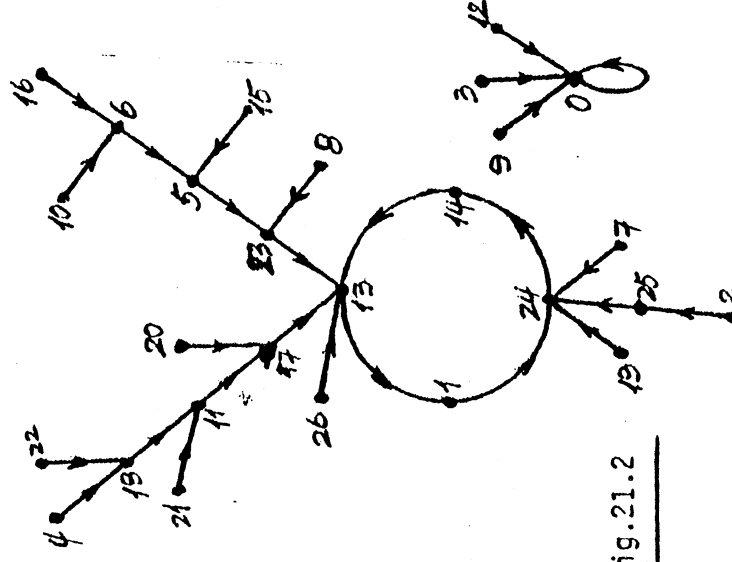


Fig. 21.2

$p=2$ ,  $F(x) = (f_1(x) \dots f_2(x) \dots f_n(x))$

$(Z/2)^n \rightarrow (Z/2)^n$

$f_i(x) = \sum_{j=1}^n x_j + \sum_{i,j=1}^n x_i x_j + C_i : (Z/2)^n \rightarrow (Z/2)$

d'où  $C_i = \begin{cases} 1 & \text{si } i \text{ impair} \\ 0 & \text{sinon} \end{cases}$

Gauss-Seidel sur H associé à F

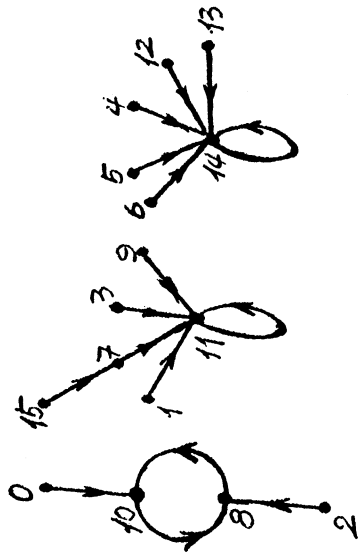


Fig. 22.1

$n=5$

$a = 23 = (1, 0, 1, 1, 1)$ ,  $a = 29 = (1, 1, 0, 1, 1)$ ; racines de F

$F'(a) = \begin{pmatrix} 1 & 1 & 0 & 0 & 0 \\ 0 & 1 & 0 & 0 & 0 \\ 1 & 1 & 1 & 1 & 1 \\ 1 & 1 & 1 & 0 & 1 \\ 1 & 1 & 1 & 1 & 1 \end{pmatrix}$ ,  $F'(a) = \begin{pmatrix} 1 & 0 & 0 & 1 & 0 \\ 1 & 0 & 0 & 1 & 0 \\ 1 & 1 & 1 & 1 & 0 \\ 0 & 0 & 0 & 1 & 0 \\ 1 & 1 & 1 & 1 & 1 \end{pmatrix}$

$V(a) = \{7, 31, 19, 21, 22\}$ ;  $V(a) = \{13, 21, 25, 31, 28\}$

$n=6$

$a_1 = 47 = (1, 0, 1, 1, 1, 1)$

$a_2 = 59 = (1, 1, 1, 0, 1, 1)$

$a_3 = 62 = (1, 1, 1, 1, 1, 0)$

$V(a_1) = \{15, 65, 39, 43, 45, 46\}$

$V(a_2) = \{27, 43, 51, 63, 57, 58\}$

$V(a_3) = \{30, 46, 54, 58, 60, 63\}$

racines de F

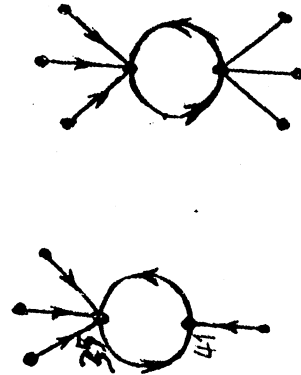


Fig. 22.2

$n=4$   
 $F'_d(x) = \begin{pmatrix} 1+x_2^2 x_3^4 & x_1 x_3^4 & x_1 x_3^4 & x_1 x_2^2 x_3 \\ x_2 & 1+x_1+x_3^4 & x_2^2 x_4 & x_1 x_2^2 x_3 \\ x_3 & x_3 & 1+x_1+x_2^2 x_4 & x_2^2 x_3 \\ x_4 & x_4 & x_4 & x_3 \\ & & & x_1+x_2+x_3 \end{pmatrix}$

$F'(a_4) = \begin{pmatrix} 1 & 1 & 0 & 0 \\ 0 & 1 & 0 & 0 \\ 1 & 1 & 1 & 1 \\ 1 & 1 & 1 & 0 \end{pmatrix}$ ;  $F'(a_2) = \begin{pmatrix} 1 & 0 & 0 & 1 \\ 1 & 0 & 0 & 1 \\ 1 & 1 & 1 & 1 \\ 0 & 0 & 0 & 1 \end{pmatrix}$

$a_4 = 11 = (1, 0, 1, 1)$ ,  $a_2 = 14 = (1, 1, 1, 0)$ ; racines de F.

$V(11) = \{3, 15, 9, 10\}$ ,  $V(14) = \{6, 10, 12, 15\}$

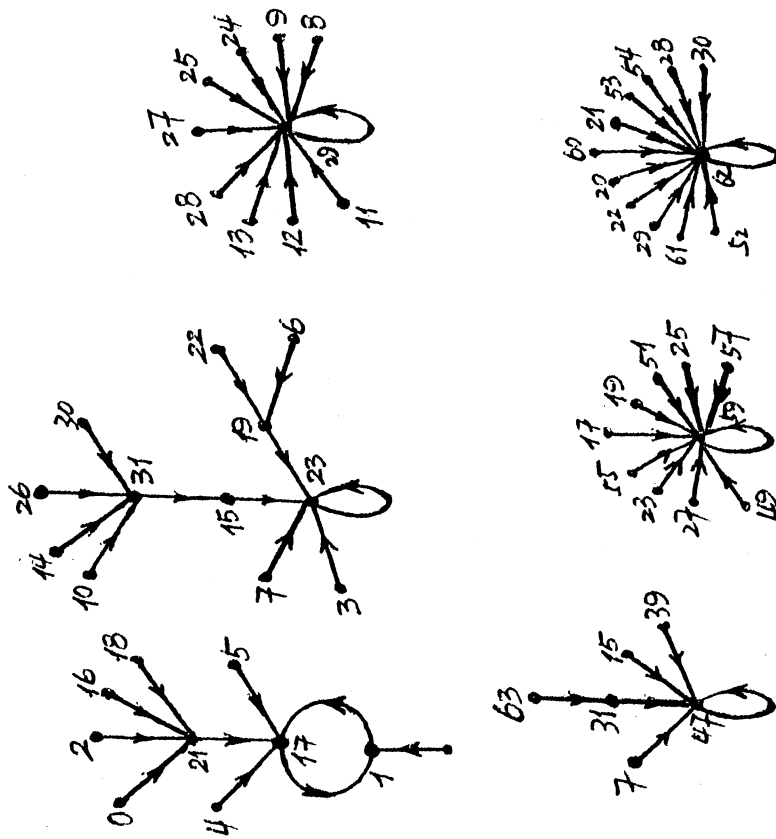


Fig. 22.3

$$F(x) = \begin{cases} f_1 = x_1 + 1 \\ f_2 = 2x_1 + x_1x_2 + 2x_3 + x_3^2 \\ f_3 = x_1x_2 + x_3 + 2 \end{cases}$$

$F(x) : (Z/p)^n \rightarrow (Z/p)^n$ ,  $p = 11$ ,  $n = 3$   
 Gauss Seidel, sur H, associé à F  
 graph partiel

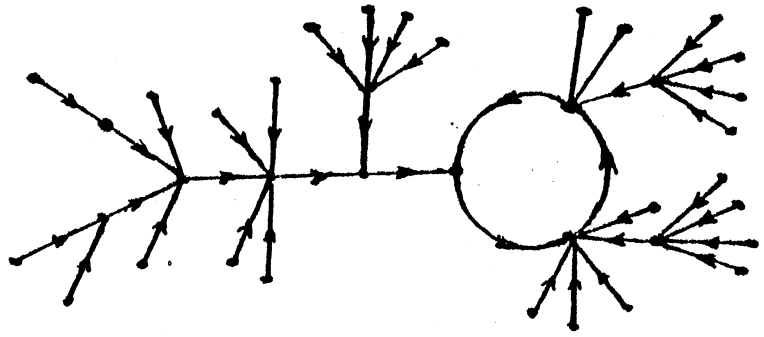


Fig.23.1

$$F(x) = \begin{cases} f_1 = x_1 + 1 \\ f_2 = 2x_1 + x_1x_2 + 3x_3 + x_1x_3 \\ f_3 = x_1x_2 + x_3 + 2 \end{cases}$$

$F(x) : (Z/p)^n \rightarrow (Z/p)^n$ ,  $p = 11$ ,  $n = 3$   
 Gauss Seidel, sur H, associé à F  
 graph partiel

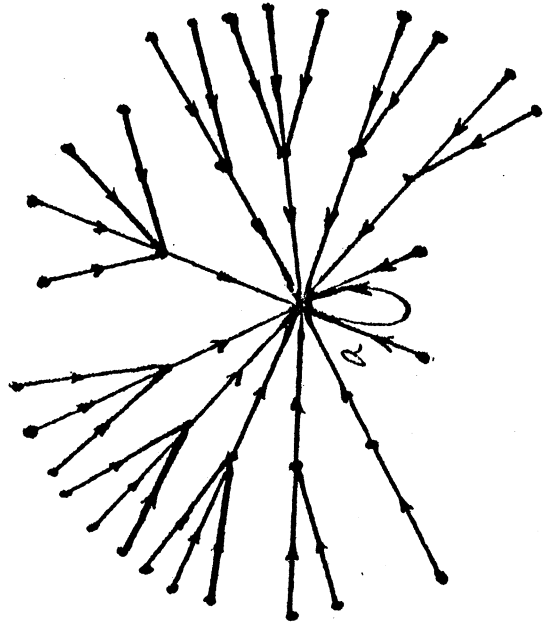


Fig.23.2

$$F(x) = \begin{cases} f_1 = x_1 + 1 \\ f_2 = 2x_1 + x_2 + 2x_3 + x_3^2 \\ f_3 = x_1x_2 + x_3 + 2 \end{cases}$$

$F(x) : (Z/p)^n \rightarrow (Z/p)^n$ ,  $p = 11$ ,  $n = 3$   
 Gauss Seidel, sur H, associé à F  
 graph partiel

a: une racine de  $F(x)$

(mêmes polynômes que fig19-3)

$a_1, a_2$ : deux racines de  $F(x)$

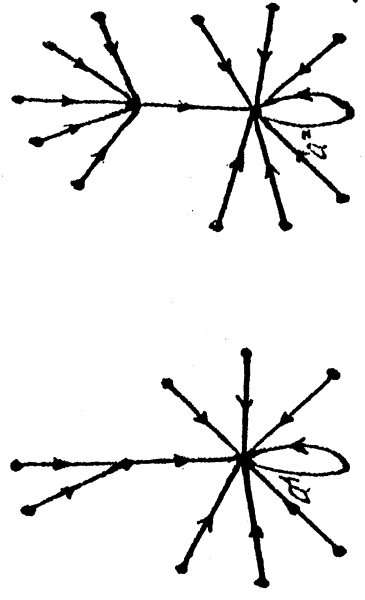
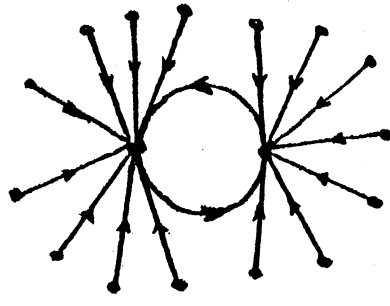


Fig.23.3

Newton standard sur  $F_1$

$p = 2, n = 4$

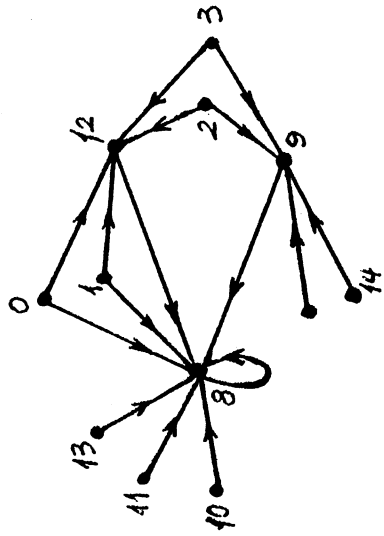


Fig.24.1

$$f_1 = x_1 + 1$$

$$f_2 = x_1 + x_1 x_2 + 1$$

$$f_3 = x_1 x_2 + x_3$$

$$f_4 = x_1 x_3 + x_2 x_3 + x_4$$

$F(x) =$

- 4
- 5
- 6
- 7

Newton simplifié,  $p=2, n=4$

$$A = \begin{pmatrix} 1 & 0 & 1 & 0 \\ 0 & 1 & 0 & 0 \\ 0 & 0 & 1 & 1 \\ 0 & 1 & 0 & 1 \end{pmatrix}$$

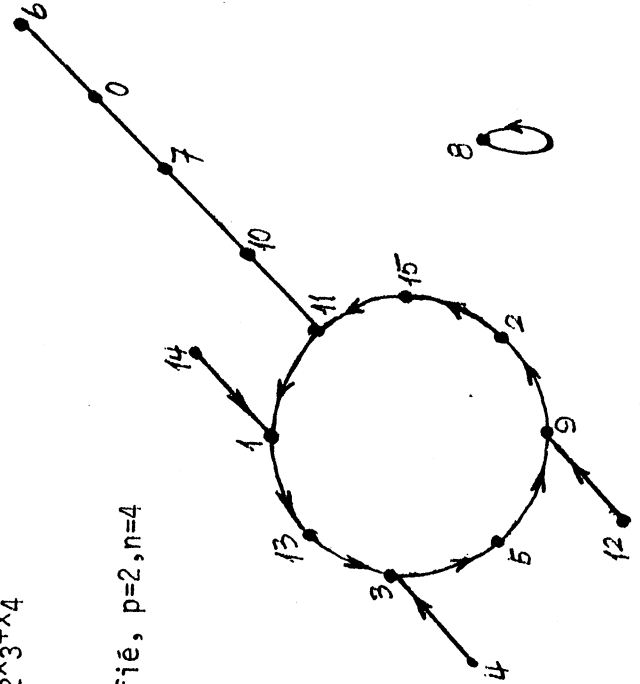


Fig.24.2

Gauss Seidel,  $p=2, n=3$

$$f_1 = x_3 + 1$$

$$f_2 = x_1 + x_2 + x_3$$

$$f_3 = x_2 + x_3$$

$F(x) =$

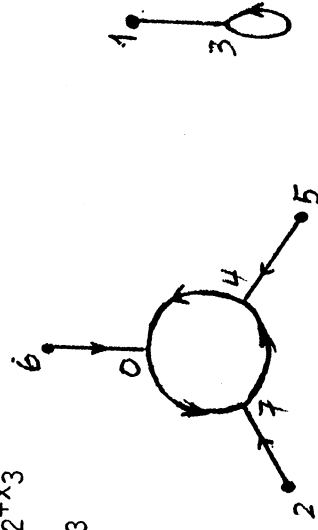


Fig.24.3

Gauss Seidel,  $p=2, n=4$

$$f_1 = x_2 + x_4 + 1$$

$$f_2 = x_3 + x_5$$

$$f_3 = x_1 + x_2 + 1$$

$$f_4 = x_1 + x_2 + x_3$$

$F(x) =$

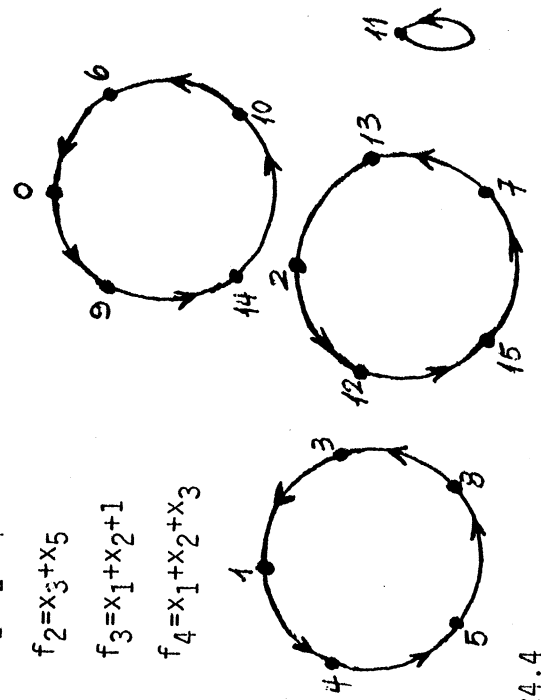


Fig.24.4

REFERENCES

- [1] F. ROBERT : "Itérations discrètes". Polycopié de l'U.S.M.G. et l'I.N.P.G. (1981).
- [2] B. DEMIDOVITCH et I. MARON : "Eléments de calcul numérique". traduit du russe par Valentin Polonski traduction française Edition Mir. (1973).
- [3] S.EL BERNOUSSI:"Analyse et comparaison d'itérations discrètes; La méthode de Newton dans  $(Z/p)^n$  " thèse I.M.A.G (1982)
- [4] N. GASTINEL : "Analyse numérique linéaire". Hermann, Paris (1966).
- [5] M. COSNARD : "Sur quelques méthodes Newton Like de résolution de systèmes d'équations non linéaires". Séminaire d'Analyse Numérique, I.M.A.G. n° 239 (1975).
- [6] HAROLD STONE : "Discrete mathematical structures and their applications". (c 1973), Science Research Associates. Inc. Printed in U.S.A.
- [7] M. COSNARD : "Numerical Solution of Nonlinear Equations". ACM Transaction on Mathematical Software. Vol. 5. N° 1, March 1979, page 84-85.



Dernière page d'une thèse

---

VU

Grenoble, le 8 mars

Le Président de la thèse



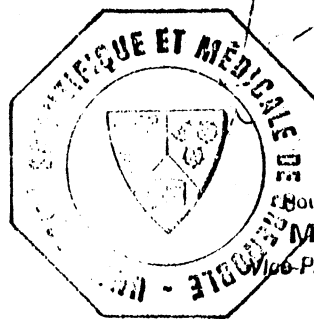
M. GASTINEL

M. ZEQU JIANG

Vu, et permis d'imprimer,

Grenoble, le 9 mars 1982

Le Président de l'Université Scientifique et Médicale



*M. Tanche*  
Pour le Président,  
M. TANCHE  
Vice-Président Assesseur

